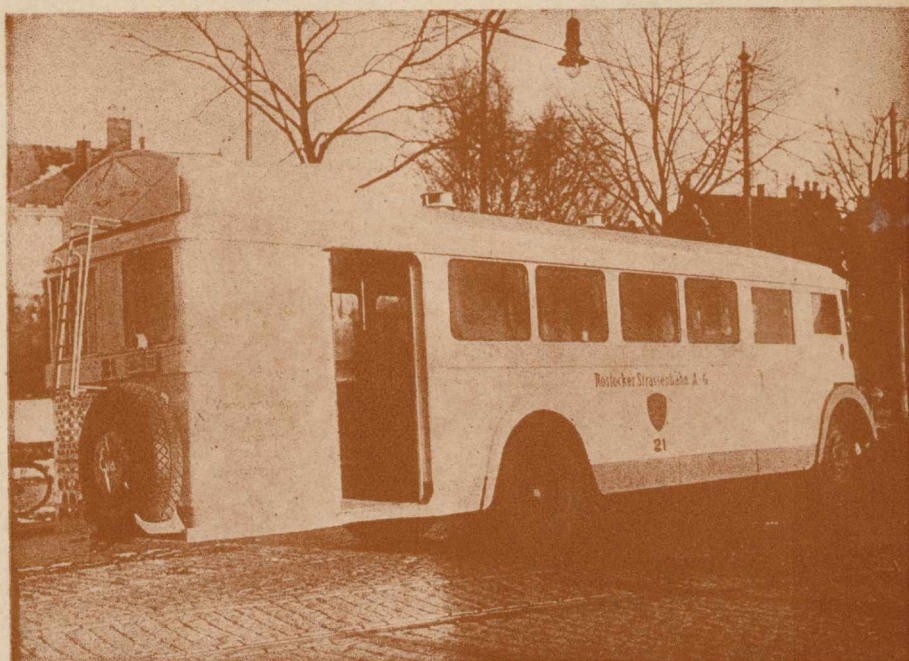


PRZEGLĄD MECHANICZNY

DAWNIEJ „MECHANIK”



Autobus o napędzie gazem generatorowym, wytwarzanym z drewna odpadkowego. Generator i zbiornik paliwa mieszczą się w tylnej części wozu. Autobus mieści 50 podróżnych. Szybkość jazdy 60 km/godz.

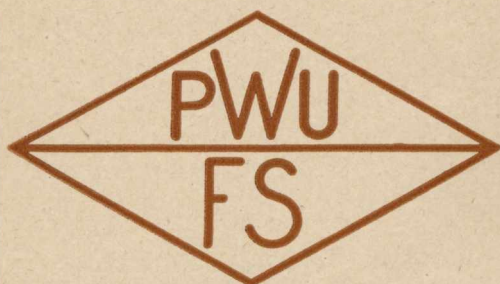
ENERGETYKA

KONSTRUKCJA

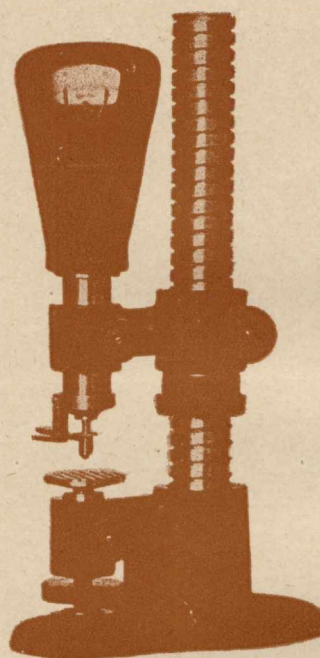
OBROBKA METALI

METALOZNAWSTWO

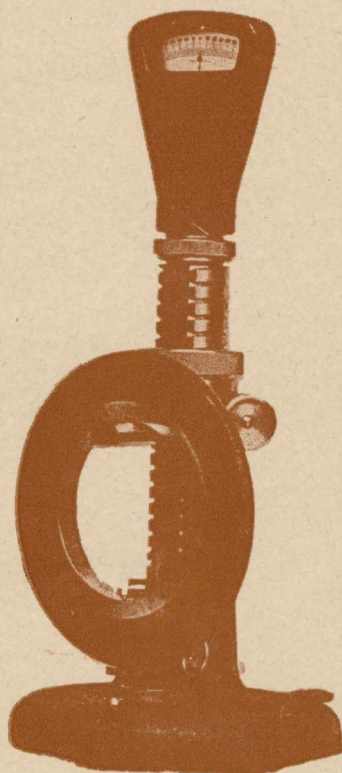
ORGAN STOWARZYSZENIA INŻYNIERÓW MECHANIKÓW POLSKICH



PAŃSTWOWE
WYTWÓRNIĘ UZBROJENIA
FABRYKA SPRAWDZIANÓW
WARSZAWA



M - 630



M - 640

Precyzyjne
podstawy do mikroczytników

M - 630

Podstawa do pomiarów zewnętrznych

M - 640

Podstawa do pomiarów pierścieni

WYŁĄCZNE PRZEDSTAWICIELSTWO NA SPRZEDAŻ NARZĘDZI POMIAROWYCH
„Be-Te-Ha” — BIURO TECHNICZNO-HANDLOWE i SKŁAD MASZYN
WARSZAWA, MARSZAŁKOWSKA 17.



Rozważania teoretyczne nad analizą spalin

Doc. Dr. inż. B. Szczeniowski, SIMP

Temat pracy i jej podział na rozdziały, dotyczące: 1) spalania w silnikach paliwa płynnego, 2) takiegoż spalania paliwa gazowego i 3) spalania paliwa stałego w paleniskach przemysłowych. — Spalanie paliw płynnych w silnikach spalinowych; związki pomiędzy zawartościami poszczególnych składników spalin; ich ujęcie wykreślne; współczynnik nadmiaru powietrza; ujęcie wykreślne; straty wydechowe. — Wypadki uproszczone.

ZAGADNIENIE analizy spalin, mimo że już przez wielu, zwłaszcza niemieckich badaczy opracowywane, nie jest jeszcze w tej mierze wyjaśnione, w jakiej byłoby dla potrzeb technicznych wystarczające. Seufert¹⁾ i Wa. Ostwald²⁾ biorą pod uwagę spalanie zupełne lub takie, w którym jedynie węgiel może się spalać częściowo niezupełnie na CO. Wśród licznych prac na ten temat³⁾ tylko niektóre biorą pod uwagę obecność w spalinach wodoru i metanu, pomijając takie składniki, jak etylen, aldehydy i in. Obecność w spalinach tych składników, będąca wynikiem złożonego i mało dotychczas, zwłaszcza w silni-

kach spalinowych, wyjaśnionego procesu spalania, jakkolwiek niejednokrotnie w pracach techniczno-badawczych poruszana, dotąd nie została potraktowana rachunkowo w sposób wyczerpujący i dostatecznie przejrzysty. To skłoniło mnie do podjęcia próby teoretycznego ujęcia związków, jakie zachodzą między składem i rodzajem paliwa z jednej, a składem spalin i rodzajem spalania z drugiej strony.

Obecność i wielkość udziału każdego z wymienionych składników palnych w spalinach zależy nie tylko od rodzaju paliwa i nadmiaru powietrza, ale również od innych warunków spalania, jak np. temperatura i in., i nie da się zgóry przewidzieć, natomiast można ustalić pewne związki ogólne, niejako ramowe, jakie zachodzą między poszczególnymi składnikami spalin i paliwa oraz współczynnikiem nadmiaru powietrza, co pozwoli na większą dozę przewidywania oraz na pewne uproszczenie analizy i potrzebnych obliczeń. Nasuwa się tu konieczność podziału rozważań teoretycznych na kilka grup, zależnie od rodzaju paliwa i spalania. Tak więc osobno rozważyć należy spalanie w silnikach i osobno w paleniskach przemysłowych, wypada przytem rozróżnić paliwa stałe i płynne od gazowych. Przy rozważaniu spalania w paleniskach okaże się również konieczne rozbitcie paliw stałych na parę grup, zależnie od ich składu chemicznego, co również ma na celu sklasyfikowanie tych paliw zależnie od największej zawartości ($\text{CO}_2 + \text{O}_2$), która, jak wykazał Arbatsky, w pewnych wypadkach może być większa od 21%. Rozważaniu podlegają zarówno paliwa stałe, płynne, jak i gazowe, przytem przy rozważaniu spalania w paleniskach kotłowych uwzględniamy obecność wodoru, metanu i etylenu, zaś pomijamy uwzględnienie sadzy i strat w popielniku, które zatem muszą być wyznaczone osobno. Pozatem zakładamy, że powietrze doprowadzone do spalania jest suche, a jego skład objętościowy: tlenu 21%, azotu 79%.

Poza związkami, zachodzącymi między składnikami spalin, rozważam również straty, zarówno kominową, jak i stratę przez niezupełne spalanie. W tym ostatnim wypadku nie uwzględniam strat w popielniku i sadzy; strata ta musi więc być wyznaczona osobno.

¹⁾ F. Seufert. *Verbrennungslehre und Feuerungstechnik*. Springer, Berlin, 1923.

²⁾ Wa. Ostwald. *Beiträge zur graphischen Feuerungstechnik*. Spamer, Leipzig, 1920.

³⁾ R. Witkiewicz. *Z techniki kontroli spalania. Wykłady o gospodarce cieplnej*, Lwów, 1923.

M. Wierz. *Theorie der stofflichen Umsetzung bei Verbrennungsvorgängen*. „*Feuerungstechnik*”, 1926/27, zes. 19.

E. Abolin. *Zur Bestimmung der Verluste durch unvollkommene Verbrennung in Dampfkesselfeuerungen*. „*Archiv für Wärmewirtschaft*”, 1926, zes. 12.

Prace „*Hauptstelle für Wärmewirtschaft in Darmstadt*”. „*Archiv für Wärmewirtschaft*”, 1926, str. 287.

Inż. B. Szczeniowski. *O wyznaczaniu strat wydechowych metodą wykreślną*. „*Przegląd Techniczny*”, 1926.

Dipl. Ing. R. Selikin. *Verbrennungstemperatur und Rauchgaszusammensetzung*. „*Die Wärme*”, 1931, str. 51.

Dipl. Ing. J. W. Arbatsky. *Zur Frage des $\text{CO}_2 + \text{O}_2$ — Gehalts der Feurgase*. „*Die Wärme*”, 1931, str. 156.

Dipl. Ing. A. Nahoczky. *Graphische Prüfung des Verbrennungsvorgang*. „*Die Wärme*”, 1931, str. 231.

Dr. inż. B. Szczeniowski. *Obliczanie wykresów składu spalin*. „*Przegląd Techniczny*”, 1931.

Inż. H. Krakowiak. *Równanie spalania*. „*Przegląd Techniczny*”, 1932.

Dr. Ing. W. Benz. *Neuere Verbrennungsschaubilder für Feurgase*. „*Die Wärme*”, 1932, str. 193.

Dr. Ing. A. Zinnen. *Erst- und Zweitluft nach neueren Verbrennungsdreiecken*. „*Die Wärme*”, 1932, str. 285.

Dr. Ing. A. Zinnen. *Erfahrungsgleichungen für die Verbrennung fester und flüssiger Brennstoffe*. „*Die Wärme*”, 1932, str. 611.

Inż. H. Krakowiak. *O zawartości $\text{CO}_2 + \text{O}_2$ w spalinach*. „*Technika cieplna*”, 1932.

Dipl. Ing. Hellmann. *Rechnerische und graphische Bestimmung von Kohlenstoffverlusten in Feuerungen*. „*Die Wärme*”, 1933, zes. 1.

P. Meyer. *Z. V. d. I.* (1929), str. 824.

Inż. St. Ochęduszkó. *Kwadrat Buntego*. „*Czasopismo Techniczne*”, Lwów, 1934.

**1. Paliwa płynne
w zastosowaniu do silników spalinowych.**

Według najnowszych badań ⁴⁾, okazuje się prawdopodobne, że przy spalaniu w silnikach spalinowych, poza dwutlenkiem i tlenkiem węgla, tlenem, azotem i parą wodną, występuje w uchwytnych ilościach jedynie wolny wodór. Wydaje mi się więc celowe opracowanie metody budowy wykresów składu spalin przy uwzględnieniu jedynie tych sześciu składników.

Z tych sześciu składników para wodna, jak wiadomo, nie wchodzi do analizy aparatem Orsata, zaś azot liczymy jako resztę do 100%, pozostają więc do uwzględnienia cztery składniki. Jeżeli zatem ustalimy na podstawie wiadomego zgóry składu paliwa związek, zachodzący między procentowymi „orsatowymi” (z wyłączeniem pary wodnej i SO₂) zawartościami poszczególnych produktów spalania, wystarczy określenie drogą analizy chemicznej jedynie trzech składników, zaś czwarty da się określić z wymienionego związku. Określamy więc przedewszystkiem dwutlenek węgla i tlen, jako łatwe do wykrycia drogą analizy chemicznej. Z pozostałych składników zazwyczaj określa się drogą analizy chemicznej tlenek węgla. Z dotychczas znanych technicznych metod określania CO wygodniejsza i celowsza okazuje się metoda, oparta na użyciu pięciotlenku jodu ⁵⁾, jakkolwiek posiada szereg wad, jak kłopotliwe przygotowanie odczynnika, osadzanie się z czasem pięciotlenku jodu, co pociąga za sobą konieczność ponownego wstrząśnięcia, oraz trudniejsze, jakkolwiek szybsze, wykonanie analizy, wymagające uwagi, aby nie przelać wody z miernicy do odczynnika; przestrzeganie tej zasady w warunkach ruchowych, przy nieuniknionym pośpiechu, jest dosyć uciążliwe, a jednak konieczne, gdyż woda psuje odczynnik, powodując wytwarzanie się kwasu jodowego.

W celu wyznaczenia wspomnianego związku między zawartościami poszczególnych produktów spalania weźmy pod uwagę paliwo o pierwiastkowym wagowym składzie procentowym: węgla C%, wodoru H%, tlenu O%; występującą czasem domieszkę azotu i siarki dla uproszczenia pomijam.

Procentowy „orsatowy” skład objętościowy spalin oznaczmy jak następuje: dwutlenku węgla k₁%, tlenku węgla k₂%, tlenu o%, azotu n%, wodoru h%, razem 100%, zatem

$$k_1 + k_2 + o + h + n = 100. \dots (1)$$

Po spalaniu 1 kg paliwa otrzymujemy, oznaczając przez V_m objętość jednego mola:

$$\frac{k_1 C \cdot 44 \cdot V_m}{(k_1 + k_2) 100 \cdot 12 \cdot 44} \text{ m}^3 \text{CO}_2,$$

⁴⁾ Dr. Ing. O. Lindner. Entzündung und Verbrennung von Gas- und Brennstoffdampf-Gemischen. Berlin, V. D. I Verlag, 1931.

⁵⁾ Gautier i Clausmann. Bull. Soc. chim, Paris, 1906, str. 11 i 513.

P. Schlöpfer i E. Hofmann. Monats-Bull. d. Schweiz. Ver. v. Gas- u. Wasserfachm. (1927), zes. 11, 12.

P. Schlöpfer i E. Hofmann. Eidgenössische Materialprüfungsanstalt der E. T. H., Zurich, Ber. Nr. 25, 1928.

P. Schlöpfer i E. Hofmann. Kritische Untersuchungen über die Bestimmung des Kohlenoxyds. Zürich, 1930.

Sumienny opis podał również Inż. H. Krakowiak: Odczynniki do aparatu Orsata. „Technika Ciepła”, 1932.

$$\frac{k_2 C \cdot 28 \cdot V_m}{(k_1 + k_2) 100 \cdot 12 \cdot 28} \text{ m}^3 \text{CO},$$

$$\frac{o C V_m}{(k_1 + k_2) 1200} \text{ m}^3 \text{O}_2,$$

$$\frac{h C V_m}{(k_1 + k_2) 1200} \text{ m}^3 \text{H}_2,$$

$$\left[\frac{H}{100} - \frac{C h}{600 (k_1 + k_2)} \right] \frac{9 V_m}{18} \text{ m}^3 \text{H}_2\text{O}, \dots (2)$$

$$\left\{ \frac{(k_1 + 0,5 k_2 + o) C}{1200 (k_1 + k_2)} + 2 \cdot 18 \left[\frac{H - 0,125 O}{100} - \frac{C h}{600 (k_1 + k_2)} \right] \right\} \frac{79 V_m}{21} \text{ m}^3 \text{N}_2,$$

gdzie przyjęliśmy skład objętościowy powietrza: tlenu 21%, azotu 79%.

Możemy teraz napisać, że np. 100 CO₂ = k₁ (CO₂ + CO + O₂ + H₂ + N₂), skąd po uproszczeniu otrzymujemy:

$$(1 + \alpha) k_1 + (0,605 + \alpha) k_2 + o - 0,185 h = 21, \dots (3)$$

gdzie oznaczyliśmy

$$\alpha = 2,37 \frac{(H - 0,125 O)}{C} \dots (4)$$

Z r. (2), oznaczając

$$1,11 \frac{H}{C} = \beta, \dots (5)$$

oraz zakładając, że H₂O = zero, otrzymujemy maksymalną zawartość wodoru w spalinach:

$$h_{\max} = \frac{\beta}{0,185} (k_1 + k_2)_{\max} \dots (6)$$

Podstawiając tę wartość do r. (3), otrzymamy:

$$(1 + \alpha - \beta) k_1 + (0,605 + \alpha - \beta) k_2 + o = 21, (3')$$

skąd, zakładając o = k₂ = zero, otrzymamy maksymalną zawartość dwutlenku węgla w spalinach:

$$k_{1 \max} = \frac{21}{(1 + \alpha - \beta)}, \dots (7)$$

zaś przy założeniu o = k₁ = zero otrzymujemy maksymalną zawartość tlenku węgla:

$$k_{2 \max} = \frac{21}{(0,605 + \alpha - \beta)} \dots (8)$$

Największą zawartość tlenu otrzymamy, zakładając k₁ = k₂ = zero:

$$o_{\max} = 21\% \dots (9)$$

Oznaczając k₁ + k₂ = k i podstawiając stąd k₁ = k - k₂ do r. (3'), otrzymamy

$$(1 + \alpha - \beta) k + o = 21 + 0,395 k_2, \dots (10)$$

skąd wynika, że największą wartość k otrzymujemy, gdy o = zero, zaś k₂ = k_{2max}, czyli

$$k_{\max} = (k_1 + k_2)_{\max} = \frac{21}{(1 + \alpha - \beta)} +$$

$$\frac{21 \cdot 0,395}{(1 + \alpha - \beta)(0,605 + \alpha - \beta)} = \frac{21}{(0,605 + \alpha - \beta)} = k_{2 \max}, (11)$$

zatem ostatecznie

$$h_{\max} = \frac{\beta}{0,185} k_{2\max} = \frac{21\beta}{0,185(0,005 + \alpha - \beta)} \quad (12)$$

Maksymalną zawartość azotu otrzymujemy, zakładając $k_2 = 0 = h = \text{zeru}$; wówczas otrzymaną z r. (3) wartość $k_1 = \frac{21}{1 + \alpha}$ podstawiamy do r. (1) i otrzymujemy:

$$n_{\max} = 100 - \frac{21}{1 + \alpha} = \frac{79 + 100\alpha}{1 + \alpha}; \quad (13)$$

wartość ta odpowiada więc idealnemu wypadkowi spalania zupełnego bez nadmiaru powietrza.

Jest oczywiste, że

$$k_{1\min} = k_{2\min} = o_{\min} = h_{\min} = \text{zeru} \quad (14)$$

Minimalną zawartość azotu otrzymamy zakładając $k_1 = 0 = \text{zeru}$ oraz $k_2 = k_{2\max}$; wówczas również $h = h_{\max}$, więc z r. (1):

$$n_{\min} = 100 - \frac{21(0,185 + \beta)}{0,185(0,605 + \alpha - \beta)} = \frac{(39,5 + 100\alpha - \frac{7900}{37}\beta)}{(0,605 + \alpha - \beta)} \quad (15)$$

Omawiając graniczne wartości zawartości poszczególnych składników w spalinach, wypada jeszcze omówić graniczną wartość sumy $(k_1 + o)_{\max}$. Sprawa ta była już w prasie technicznej omawiana. Arbatsky⁹⁾, rozważając możliwość $(k_1 + o) > 21$, podaje teoretycznie wystarczający warunek $\alpha < \text{zera}$, co dla pewnych związków organicznych (np. dla kwasu szczawowego) rzeczywiście może mieć miejsce, a następnie podaje inny przykład: uprzedni rozkład paliwa na inne związki palne, z których jednym jest metan. W świetle rozważań teoretycznych, zawartych w niniejszej pracy, okazuje się jednak, że objaw $(k_1 + o) > 21$ może być, przynajmniej teoretycznie, daleko powszechniejszy. Zakładając mianowicie $k_2 = \text{zeru}$ oraz możliwie największą w tych warunkach wartość h , otrzymamy z r. (3):

$$(k_1 + o)_{\max} = 21 - (\alpha - \beta)k_1,$$

skąd jest widoczne, że $(k_1 + o)_{\max} > 21$, o ile tylko jest spełniony warunek:

$$\beta > \alpha, \quad (16)$$

albo

$$O > \frac{16 \cdot 21}{79} H \approx 4,253 H. \quad (16')$$

Dla związku organicznego $C_m H_p O_s$ warunek ten wyrazi się:

$$79s > 21p. \quad (16'')$$

Wypada tu jednak z naciskiem podkreślić, że uzyskany wynik (16'') odnosi się jedynie do założenia, że w spalinach mamy, poza k_1, k_2, o, n i parą wodną, jeszcze tylko wolny wodór oraz że wyłączamy możliwość powstania sadzy.

*

Równanie (3) pozwala określić zawartość wolnego wodoru w spalinach, o ile określimy uprzed

nio drogą analizy chemicznej zawartości CO_2, O_2 i CO :

$$h = \frac{(1 + \alpha)k_1 + (0,605 + \alpha)k_2 + o - 21}{0,185} \% \quad (17)$$

Zależność tę można przedstawić przy pomocy nomogramu w sposób następujący: Oznaczmy

$$(1 + \alpha)k_1 + o = y, \quad (18)$$

czyli

$$y + (0,605 + \alpha)k_2 - 0,185h = 21. \quad (19)$$

Zależność (18) można przedstawić wykreślnie w prostokątnym układzie (y, o) jako linie stałej zawartości k_1 , przytem, jak łatwo zauważyć, linie te wypadają proste, wzajemnie równoległe, zaś ich podziałka — linjowa. Z r. (18) znajdujemy, w założeniu $k_1 = k_{1\max}$:

$$y_{\max} = \frac{(1 + \alpha)21}{(1 + \alpha - \beta)}, \quad (20)$$

zaś w założeniu $k_1 = 0 = \text{zeru}$:

$$y_{\min} = \text{zeru} \quad (21)$$

Linie stałej zawartości CO_2 przebiegają równoległe do prostej, łączącej punkty $o = \text{zeru}$, $y = \text{zeru}$ oraz $o = 21$, $y = 21$; prosta ta odpowiada warunkowi $k_1 = \text{zeru}$. Linjami ograniczającymi wykres są: odcinek osi y , odcinek prostej $o = y$ oraz odcinek prostej, której równanie odpowiada warunkowi $(y + o) = \max$, co ma miejsce gdy $k_2 = \text{zeru}$, zaś h osiąga wartość w danych warunkach możliwie największą, czyli $\frac{\beta}{0,185} k_1$; podstawiając te wartości do r. (18) i (19), otrzymujemy

$$(y + o)_{\max} = \frac{21(1 + \alpha) + (1 + \alpha - 2\beta)o}{(1 + \alpha - \beta)}, \quad (22)$$

oraz równanie prostej granicznej

$$y + \frac{\beta}{(1 + \alpha - \beta)} o = \frac{21(1 + \alpha)}{(1 + \alpha - \beta)}, \quad (23)$$

albo

$$(1 + \alpha - \beta)k_1 + o = 21. \quad (23')$$

Mając w ten sposób określoną wykreślnie wartość y , przedstawiamy następnie zależność (19) w układzie prostokątnym (y, h) jako linie stałej zawartości k_2 , przytem, jak łatwo zauważyć, linie te wypadają proste wzajemnie równoległe, zaś ich podziałka — linjowa. Linjami ograniczającymi wykres są: odcinki osi h i y , odcinek prostej $k_2 = \text{zeru}$

od $h = \text{zeru}$ do $h = \frac{21}{0,185(1 + \alpha - \beta)}$ oraz linja od-

powiadająca warunkowi, iżby h osiągało wartość możliwie największą, co ma miejsce, gdy $o = \text{zeru}$, czyli $y = (1 + \alpha)k_1$; podstawiając te wartości do r. (6) i (19), otrzymamy równanie tej prostej granicznej:

$$\frac{0,395}{(1 + \alpha)} y + \frac{0,185(0,605 + \alpha - \beta)}{\beta} h = 21, \quad (24)$$

albo

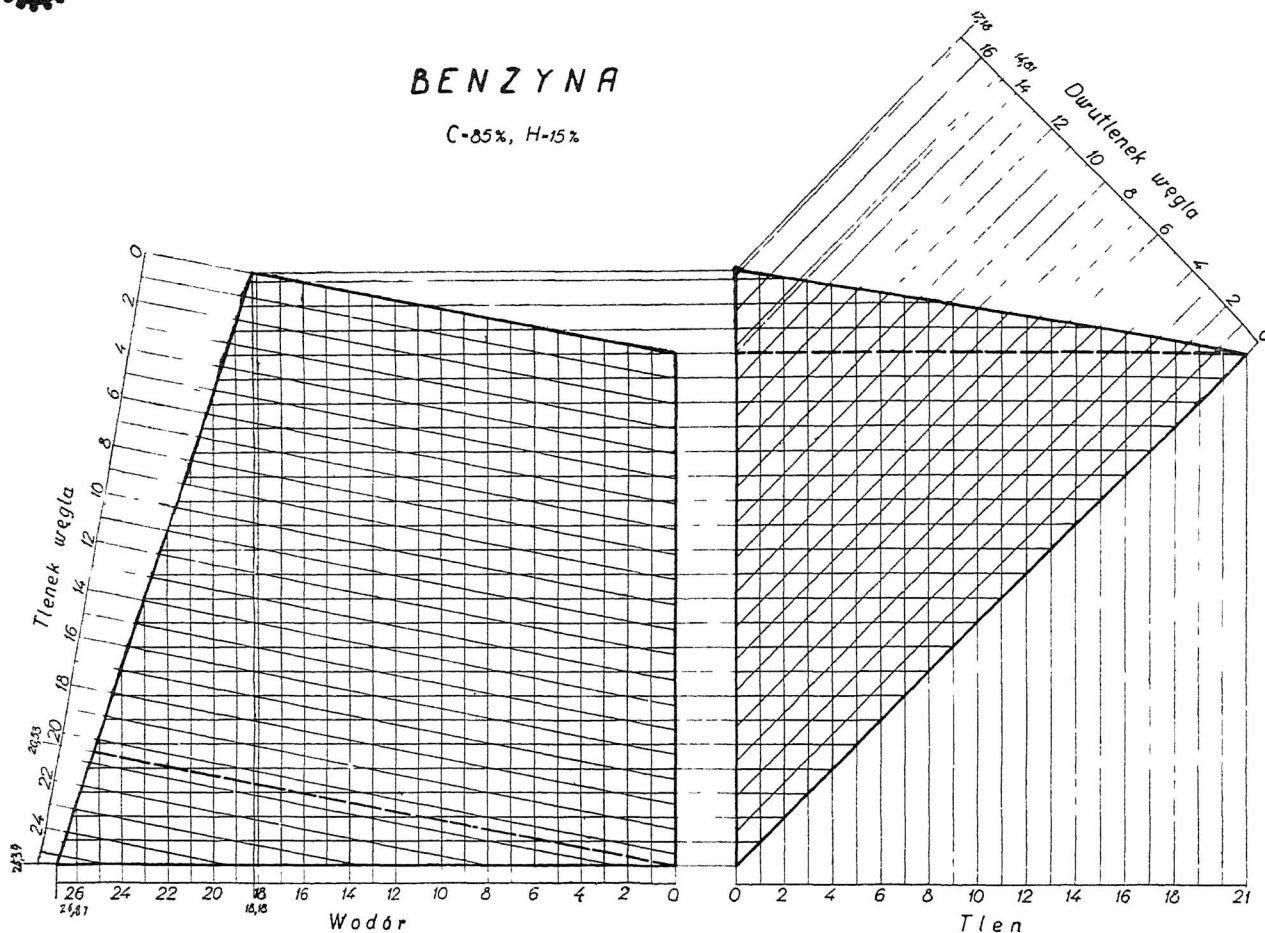
$$\frac{(1 + \alpha - \beta)}{(1 + \alpha)} y + (0,605 + \alpha - \beta)k_2 = 11. \quad (24')$$

Rys. 1 zawiera wykres odnoszący się do benzy-
ny, zbudowany według wyżej wyliczonych za-
sad.

⁹⁾ „Die Wärme“, zesz. 9, 1931, str. 156.

BENZYNA

C-85%, H-15%



Rys. 1. Wykres składu spalin benzyny.

Wykreślne ujęcie współczynnika nadmiaru powietrza na tym samym nomogramie nie jest możliwe, gdyż zagmatwałoby bardzo rysunek, zatem nieuniknione jest, w tym wypadku, zbudowanie osobnego nomogramu.

Współczynnik nadmiaru powietrza w rozważanym wypadku wyraża się wzorem:

$$\lambda = \frac{1}{1 - \frac{79}{21n} [o - 0,5(k_2 + h)]} \quad \dots (25)$$

który otrzymujemy w sposób zupełnie podobny, jak znany wzór klasyczny dla wypadku, gdy $h = 0$. Chcąc wyrazić λ w funkcji tych jedynych składników, które otrzymujemy bezpośrednio z analizy, rugujemy przy pomocy równań (1) i (3) wielkości n i h ; po uproszczeniu otrzymamy:

$$\lambda = \frac{21}{18,5} \left[\frac{0,395(100 - k_1 - 3 \cdot o)}{(0,79 + \alpha)(k_1 + k_2)} - 1 \right] \quad (26)$$

Związek ten można ująć wykreślnie w sposób następujący: Oznaczmy

$$\lambda = \frac{21 \cdot 0,79}{37(0,79 + \alpha)} x - \frac{42}{37}$$

czyli

$$\frac{(0,79 + \alpha)}{0,79} \left(\frac{37}{21} \lambda + 2 \right) = x, \quad \dots (27)$$

dalej

$$\begin{aligned} 100 - k_1 - 3o &= s, \quad \dots (28) \\ k_1 + k_2 &= z, \end{aligned}$$

to r. (26) przejdzie w:

$$x = \frac{s}{z} \quad \dots (30)$$

Opierając się na równaniach (7—15) możemy napisać:

$$s_{\max} = 100, \quad \dots (31)$$

$$s_{\min} = 37, \quad \dots (32)$$

o ile tylko $\beta < \alpha + \frac{2}{3}$, zaś gdy $\beta > \alpha + \frac{2}{3}$, to $s_{\min} = 100 - \frac{21}{1 + \alpha - \beta} = \frac{79 + 100(\alpha - \beta)}{1 + \alpha - \beta}$, co zresztą jest mało prawdopodobne.

$$z_{\max} = \frac{21}{(0,605 + \alpha - \beta)}, \quad \dots (33)$$

$$z_{\min} = \text{zeru}, \quad \dots (34)$$

$$\lambda_{\max} = x_{\max} = \dots (35)$$

Wyłączając możliwość powstawania sadzy, najmniejsze wartości λ i x wypadają, gdy $n = n_{\min}$, $k_2 = k_{2 \max}$, $k_1 = 0 = \text{zeru}$; wówczas

$$x_{\min} = \frac{(0,605 + \alpha - \beta)}{0,21}, \quad \dots (36)$$

$$\lambda_{\min} = \frac{(0,395 + \alpha - \frac{79}{37} \beta)}{(0,79 + \alpha)}, \quad \dots (37)$$

przytem

$$\left. \begin{aligned} s_{\lambda \min} &= s_{\max} = 100, \\ z_{\lambda \min} &= z_{\max} = \frac{21}{0,605 + \alpha - \beta} \end{aligned} \right\} \dots (38)$$

Zależność (28) można przedstawić wykreslnie w prostokątnym układzie (k_1, o) jako linie stałych wielkości s , przytem, jak łatwo zauważyć, linie te wypadają proste, wzajemnie równoległe, zaś ich podziałka — linjowa. Linjami granicznymi są tu odcinki osi k_1 i o oraz prosta, wyrażona równaniem (23').

Podobnie ująć można zależność (29) w prostokątnym układzie (k_1, k_2) , jako linie stałych wielkości z , przytem i te linie wypadają proste, wzajemnie równoległe, zaś ich podziałka — linjowa. Linjami granicznymi są odcinki osi k_1 i k_2 oraz prosta, wyrażona równaniem, które otrzymujemy, jako założenie $(k_1 + k_2) = \max$, z r. (3), zakładając $o = \text{zeru}$, oraz wartość h z r. (6):

$$(1 + \alpha - \beta) k_1 + (0,605 + \alpha - \beta) k_2 = 21 \dots (39)$$

Tak otrzymane wykresy zestawiamy w ten sposób, aby otrzymać wspólną podziałkę dla k_1 , czyli osi o i k_2 mają leżeć na jednej prostej poziomej, przytem wzajemną odległość obu wykresów dobieramy tak, aby punkty $s = \text{zeru}$ i $z = \text{zeru}$ zbiegły się w jeden. Otrzymujemy w ten sposób nowy ukośnokątny układ współrzędnych (s, z) , w którym już możemy, w myśl równania (30), wyrysować linie stałych wielkości x lub λ . Będą to proste, przechodzące przez początek współrzędnych. Otrzymany wykres w układzie (s, z) ograniczony jest odcinkami prostymi, których równania znajdziemy w sposób następujący:

Założmy $k_1 = o = \text{zeru}$, zaś k_2 możliwie największe, i zmieniamy h od h_{\max} do zera, wówczas otrzymamy odcinek, którego równanie w układzie (s, z) jest:

$$s = 100, \dots (40)$$

przytem

$$\frac{21}{(0,605 + \alpha - \beta)} \cdot z \cdot \frac{21}{(0,605 + \alpha)}$$

Założmy następnie $h = o = \text{zeru}$, zaś $(k_1 + k_2)$ możliwie największe i zmieniamy k_1 od zera do $\frac{21}{1 + \alpha}$, zaś k_2 od $\frac{21}{0,605 + \alpha}$ do zera, to otrzymamy odcinek, którego równanie w układzie (s, z) jest:

$$0,79 s = 2(0,605 + \alpha) z + 37, \dots (41)$$

$$\text{przytem } 100 \cdot s = \frac{100(0,79 + \alpha)}{(1 + \alpha)}$$

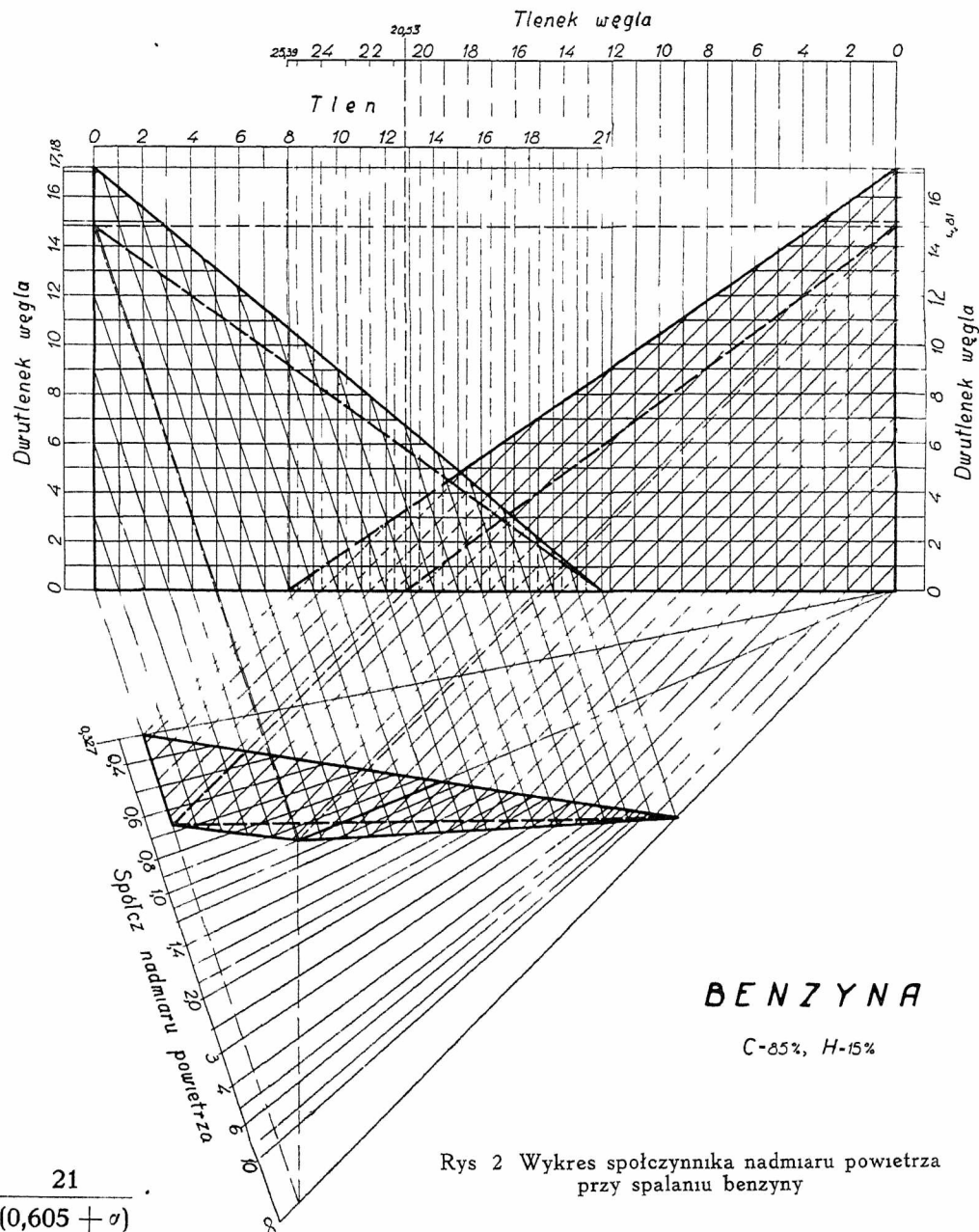
$$\text{oraz } \frac{21}{(0,605 + \alpha)} \cdot z = \frac{21}{(1 + \alpha)}$$

W dalszym ciągu zakładamy $k_2 = h = \text{zeru}$, zaś $(k_1 + o)$ możliwie największe i zmieniamy o od zera do 21; otrzymamy odcinek prosty, którego równanie jest:

$$s = (2 + 3\alpha) z + 37, \dots (42)$$

$$\text{przytem } \frac{100(0,79 + \alpha)}{(1 + \alpha)} \cdot s = 37 \text{ oraz } \frac{21}{(1 + \alpha)} \cdot z = \text{zeru.}$$

Wreszcie zakładamy $k_1 = \text{zeru}$, zaś h możliwie największe, czyli $h = \frac{\beta}{0,185} k_2$, i zmieniamy k_2, h



Rys 2 Wykres współczynnika nadmiaru powietrza przy spalaniu benzyna

od zera do maximum, zaś o od 21 do zera; otrzymujemy odcinek prosty o równaniu:

$$s = 3(0,605 + \alpha - \beta) z + 37, \dots (43)$$

$$\text{przytem } 37 \leq s \leq 100 \text{ oraz } \text{zeru} \leq z \leq \frac{21}{(0,605 + \alpha - \beta)}$$

Prosta $\lambda = 1$ przechodzi przez punkt przecięcia się prostych (41) i (42).

Pozostaje jeszcze obliczenie podziałki dla poszczególnych zmiennych. Załóżmy podziałkę dla k_1, k_2 , o jednakową, mianowicie a milimetrów na 1%, wówczas podziałka dla z , liczona wzdłuż linii $s = \text{Const}$, wyniesie:

$$\frac{\sqrt{10}}{4} a \text{ mm}, \dots \dots \dots (44)$$

zaś podziałka dla s , liczona wzdłuż linii $z = \text{Const}$:

$$\frac{\sqrt{2}}{4} a \text{ mm}. \dots \dots \dots (45)$$

Podziałka dla λ nie jest linjowa, lecz hyperboliczna. Uwzględniając r. (27) i kładąc $s = 100$, czyli $x = \frac{100}{z}$, otrzymamy $z = \frac{21.79}{(37\lambda + 42)(0.79 + \alpha)}$.

Wstawiając tu na miejsce z wartość podziałki, otrzymamy podziałkę dla λ wzdłuż linii $s = 100$:

$$\frac{79.21 \cdot \sqrt{10}}{4(0.79 + \alpha)(37\lambda + 42)} a \text{ mm}. \dots (46)$$

Gdyby zamiast podziałki dla λ zbudować podziałkę dla $\varphi = \frac{1}{\lambda}$, wówczas tak otrzymana podziałka, mimo że również hyperboliczna, byłaby zbliżona do linjowej.

Rys. 2 przedstawia wykres współczynnika λ dla benzyny, zbudowany według wyłuszczonej wyżej zasad.

*

Rozpatrzymy z kolei, jak wyrażą się w rozważanym wypadku straty wydechowe. Należy tu rozróżnić właściwą stratę wydechową oraz stratę przez niezupełne spalanie. Zajmiemy się najprzód stratą wydechową.

Oznaczmy przez:

- t_s — temperaturę spalin w °C,
- t_a — " otoczenia w °C,
- W_u — wartość opałową paliwa w Kal/kg,
- c_p' — średnie ciepło wł. 1 mola kilogramowego bezwodnika węglowego, w granicach od t_a do t_s , w Kal/Mol, °C,
- c_p'' — średnie ciepło wł. 1 mola tlenu, azotu, tlenku węgla i wodoru w Kal/Mol, °C,
- c_p''' — średnie ciepło wł. 1 mola pary wodnej w Kal/Mol, °C,

gdyż ciepła wł. 1 mola tlenu, azotu i tlenku węgla są jednakowe; wodór wykazuje pewną różnicę, jednakże w najgorszym wypadku, gdy $t_s = 800^\circ\text{C}$, różnica ta wynosi zaledwie 1,25%, może więc być pominięta, tembardziej że zawartości wodoru w spalinach są zwykle niewielkie.

Znaleźliśmy wyżej, że po spaleniu 1 kg paliwa, o składzie wagowym C, H, O otrzymujemy $\frac{C k_1}{1200(k_1 + k_2)}$ moli CO_2 i t. d., zatem strata wydechowa, liczona w procentach ciepła dostarczonego, wyniesie

$$Q = \frac{(t_s - t_a)}{W_u} \left[\frac{C}{12} \times \frac{k_1 \cdot c_p' + (k_2 + o + h + n) \cdot c_p'' - h c_p'''}{(k_1 + k_2)} + \frac{H}{2} c_p''' \right] \% \quad (47)$$

Uwzględniając r. (1), (3) i (5), otrzymamy:

$$Q = \frac{(t_s - t_a) C}{12 \cdot W_u} \left[\frac{100 c_p'' + (c_p' - c_p'') k_1 - c_p''' h}{(k_1 + k_2)} + \frac{\beta c_p'''}{0,185} \right] = \frac{(t_s - t_a) C}{2,22 W_u (k_1 + k_2)} \left\{ (18,5 c_p'' + 21 c_p''') - \left[(1 + \alpha - \beta) c_p''' - 0,185 (c_p' - c_p'') \right] k_1 - c_p''' \cdot o - (0,605 + \alpha - \beta) c_p''' k_2 \right\} \% \dots (48)$$

Obliczymy teraz stratę, wywołaną niezupełnym spalaniem. Po spaleniu 1 kg paliwa otrzymujemy $\frac{k_2 C \cdot 28}{1200(k_1 + k_2)}$ kg tlenku węgla, którego wartość opałowa wynosi 2 440 Kal/kg, zatem strata, wywołana niezupełnym spalaniem się węgla wyniesie w procentach

$$\frac{k_2 C \cdot 28 \cdot 2440 \cdot 100}{1200(k_1 + k_2) W_u} \approx 5690 \frac{k_2 C}{(k_1 + k_2) W_u} \%.$$

Podobnie znajdujemy, że po spaleniu 1 kg paliwa otrzymuje się $\frac{h C \cdot 2}{1200(k_1 + k_2)}$ kg wodoru o wartości opałowej 28 800 Kal/kg, zatem strata, powstała wskutek niezupełnego spalania się wodoru wyniesie w procentach

$$\frac{h C \cdot 2 \cdot 28800 \cdot 100}{1200(k_1 + k_2) W_u} = \frac{4800 h C}{(k_1 + k_2) W_u} \% ,$$

zaś całkowita strata przez niezupełne spalanie:

$$Q' = \frac{(5690 k_2 + 4800 h)}{(k_1 + k_2) W_u} C \% \dots (49)$$

*

Dotychczasowe rozważania dotyczyły ogólnego wypadku paliwa trójskładnikowego, przytem składnikami temi były węgiel, wodór i tlen. W wypadkach szczególnych zasadnicze równania upraszczają się. Tak więc, gdy $O = \text{zeru}$, zasadnicze równania spalania (1) i (3) nie ulegną zmianie, ale

$$\beta = \frac{37}{79} \alpha, \dots \dots \dots (50)$$

co powoduje uproszczenie wszystkich dalszych równań i związków.

Gdy $H = O = \text{zeru}$, czyli spalamy czysty chemicznie węgiel, wówczas

$$\alpha = \beta = \text{zeru}, \dots \dots \dots (51)$$

więc zasadnicze równania spalania przejdą w:

$$k_1 + k_2 + o + n = 100\% \dots \dots (52)$$

$$k_1 + 0,605 k_2 + o = 21\% \dots \dots (53)$$

Gdy tylko $H = \text{zeru}$ (czemu w praktyce odpowiadać może tlenek węgla i wówczas $C = \frac{12}{28} 100 \approx 42,86\%$, $O = 57,14\%$), to

$$\alpha = -0,375 \cdot 0,79 \frac{O}{C}, \dots \dots (54)$$

$$\beta = \text{zeru}, \dots \dots \dots (55)$$

np. dla tlenku węgla $\alpha = -0,395$. Jest to wypadek, w którym zarówno k_1 , jak i $(k_1 + o)$, mogą być większe od 21%. Dla tlenku węgla, jako paliwa największa teoretycznie możliwa zawartość k_2

wynosi 100%, zaś $k_{1,max} = \frac{21}{0,605} \approx 34,71\%$. Zasadnicze równania spalania wyrażają się tu następująco:

$$k_1 + k_2 + o + n = 100, \dots (52)$$

$$(1 + \alpha) k_1 + (0,605 + \alpha) k_2 + o = 21. \dots (56)$$

Należy jednak zaznaczyć, że wypadek ten nie ma technicznego znaczenia, gdyż czysty tlenek węgla wyprodukować można tylko sztucznie — w laboratorium. W gazach, otrzymanych z procesów przemysłowych, zawartość tlenu węgla jest zawsze mniejsza od 34,71%.

Wreszcie możliwy jest wypadek $C = O = 0$ zera, czemu odpowiada czysty wodór. W tym wypadku równanie (3) traci sens, pozostaje jedynie oczywisty warunek:

$$o + h + n = 100\%, \dots (57)$$

przytem zawartości h i n mogą się zmieniać od zera do 100%, zaś o od zera do 21%. Spółczynnik nadmiaru powietrza wyraża się w tym wypadku wzorem:

$$\lambda = \frac{1}{1 - \frac{79}{21} \cdot \frac{(o - 0,5h)}{n}} = \frac{0,21(100 - o - h)}{21 - o + 0,185h}. (58)$$

W ogólnym wypadku, dla paliwa trójskładnikowego (C, H_2, O_2) równania spalania (1) i (3) mogą się upraszczać zależnie od rodzaju spalania.

Jeżeli np. $h = 0$, wówczas otrzymujemy:

$$k_1 + k_2 + o + n = 100\%, \dots (52)$$

$$(1 + \alpha) k_1 + (0,605 + \alpha) k_2 + o = 21, \dots (56)$$

zatem

$$k_{1,max} = \frac{21}{(1 + \alpha)}, \dots (59)$$

$$k_{2,max} = \frac{21}{(0,605 + \alpha)}, \dots (60)$$

Strata wydechowa wynosi w tym wypadku:

$$Q = \frac{(t_s - t_a) C}{12 W_u} \left[\frac{100 c_p'' + (c_p' - c_p'') k_1}{(k_1 + k_2)} + \frac{\beta c_p''}{0,185} \right] =$$

$$= \frac{(t_s - t_a) C}{2,22 W_u (k_1 + k_2)} \left\{ 18,5 c_p'' + [0,185 (c_p' - c_p'') + \beta c_p'''] k_1 + \beta c_p''' k_2 \right\} \%, \dots (61)$$

zaś strata przez niezupełne spalanie

$$Q' = \frac{5690 k_2 C}{(k_1 + k_2) W_u} \%, \dots (62)$$

Tego rodzaju spalanie przyjął Wa. Ostwald przy budowie swych wykresów. (d. n.)

Considérations théoriques sur l'analyse des produits de la combustion

Résumé :

Le problème de l'analyse des produits de la combustion, quoique étudié depuis longtemps par de nombreux auteurs, n'est pas encore éclairci suffisamment pour les besoins techniques. Le plus souvent on considère seulement la combustion complète ou presque complète dégageant une quantité de CO; un nombre beaucoup plus restreint de travaux considèrent la présence du méthane et de l'hydrogène dans les produits de la combustion, mais laissent à côté les autres constituants.

L'auteur se pose pour but d'établir les relations générales entre les constituants de produits de la combustion, ainsi que du combustible et l'excès d'air. Il divise son travail en 3 chapitres concernant: la combustion des combustibles liquides dans les moteurs à combustion interne, la combustion des combustibles gazeux dans les mêmes moteurs et la combustion de la houille dans les foyers des chaudières et des fours industriels.

Dans la présente partie de son étude, l'auteur s'occupe de la combustion des combustibles liquides. Il donne les relations théoriques entre la teneur en différents constituants (CO, CO₂, O, N, H) des produits de la combustion d'un combustible composé de 3 éléments: carbone, hydrogène et oxygène et il les présente aussi sous la forme d'un diagramme. Il montre ensuite la représentation graphique du coefficient de l'excès d'air pour le cas en question. Enfin l'auteur examine les pertes d'échappement et calcule les pertes dues à la combustion incomplète du carbone (CO) et de l'hydrogène.

Dans la partie finale l'auteur montre comment les relations générales qu'il a établi se transforment pour les cas plus simples.

Własności kutych stopów lekkich w wyższych temperaturach

Inż. E. Perchorowicz, SIMP

Stopy poddane badaniom, warunki oraz metody badań. — Rozszerzalność. — Szybkość zrywania próbek. — Czas wygrzewania. — Wyniki badań wytrzymałościowych w temperaturze 20 — 500°C stopów: Y, zagranicznego i krajowego, duraluminu krajowego, auraluminu zagranicznego, stopu RR59 (w różnych warunkach obróbki cieplnej), stopu RR56 i elektronu. — Wnioski.

PRZY wszystkich swoich zaletach, stopy lekkie posiadają pewne wady, które przeważnie występują dopiero w wyższych temperaturach. Do nich należy zaliczyć spadek własności wytrzymałościowych w wyższych temperaturach oraz duży współczynnik rozszerzalności cieplnej. Cechy te odgrywają w praktyce znaczną rolę, gdyż stopy lekkie coraz częściej są stosowane na części pracujące w wyższych temperaturach. Szczególnie ma to znaczenie w silnikach spalinyowych, gdzie takie części, jak tłoki i głowice cylindrów, wykonane ze stopów lekkich, pracują w szczególnie ciężkich warunkach.

Aluminiowe stopy odlewnicze, które najpierw stosowano na te części, zostają ostatnio stopniowo zastępowane stopami kutymi, które posiadają własności fizyczne pod każdym względem lepsze.

Z tego też względu, przystępując do badań własności fizycznych stopów w wyższych temperaturach, obrabiliśmy na pierwsze próby kute stopy lekkie, których skład chemiczny podaje tabela I.

TABELA I.

Skład chemiczny badanych stopów.

Nazwa stopu	Cu%	Ni%	Mg%	Si%	Fe%	Ti%	Mn%	Al%
Y zagraniczny . . .	3,6	1,72	1,4	0,32	0,6	0,08	—	reszta
Y krajowy	4,0	2,18	1,42	,30	0,40	—	—	reszta
RR 59	2,05	1,3	1,63	0,97	1,33	0,12	—	reszta
Duralumin krajowy	4,0	—	0,57	0,25	0,40	—	0,63	reszta
Duralumin czeski .	4,3	—	0,69	0,18	0,48	—	0,40	reszta
Elektron	—	—	reszta	0,11	0,15	—	0,28	5,3
RR 56	1,6	1,33	0,55	0,52	1,28	0,12	—	reszta

Badania współczynnika rozszerzalności wykonano zapomocą aparatu własnej konstrukcji. Pomiar

wykonano na próbkach o długości 115 mm i średnicy 5 mm. Próbką znajduje się w rurce kwarcowej, opierając się zaokrąglonym końcem o jej denko. Drugi koniec próbki badanej jest płaski i na nim jest oparta pałeczka kwarcowa, opierająca się drugim końcem o bardzo czuły czujnik. Próbką znajduje się w parze wodnej, wzgl. rtęciowej, której temperaturę mierzy się termometrem rtęciowym. Spółczynnik rozszerzalności obliczamy ze wzoru

$$\beta_{t_1, t_2} = \frac{1}{\alpha_0} \frac{(\alpha_2 - \alpha_1) + \alpha_0 (t_2 - t_1) \beta_{\text{kwarcu } t_1, t_2}}{t_2 - t_1}$$

gdzie: β — współczynnik rozszerzalności badanego materiału.

t_1 — temperatura otoczenia.

t_2 — temperatura badania.

α_0 — długość pierwotna próbki badanej.

$\alpha_2 - \alpha_1$ — różnica długości odczytana na czujniku.

$\alpha_2 (t_2 - t_1) \beta_{\text{kwarcu } t_1, t_2}$ — poprawka, uwzględniająca różnicę między odczytem na czujniku a rzeczywistą zmianą długości. Na czujniku otrzymujemy odczyt pomniejszony o wydłużenie rurki kwarcowej na długości równej badanej próbce.

β_{kwarcu} — przyjęto dla zakresu temperatur 20 ÷ 100°C = 0,50 · 10⁻⁶, dla zakresu temperatury 20 ÷ 350°C = 0,55 · 10⁻⁶.

Otrzymane wyniki podane są w tabeli II.

TABELA II.
Spółczynniki rozszerzalności badanych stopów

Stop	20 - 100°C	20 ÷ 350°C
RR 59	21,74 · 10 ⁻⁶	24,89 · 10 ⁻⁶
Y krajowy	22,52 · 10 ⁻⁶	25,08 · 10 ⁻⁶
Duralumin krajowy	23,04 · 10 ⁻⁶	27,05 · 10 ⁻⁶
Duralumin czeski	22,51 · 10 ⁻⁶	25,67 · 10 ⁻⁶
Elektron	25,12 · 10 ⁻⁶	28,16 · 10 ⁻⁶
RR 56	21,76 · 10 ⁻⁶	25,36 · 10 ⁻⁶

Badania własności mechanicznych w wyższych temperaturach są uzależnione od wielu czynników, które przy badaniach w temperaturach normalnych żadnej roli prawie nie odgrywają.

Bardzo poważny wpływ na otrzymane wyniki wywiera szybkość, z jaką zrywa się próbkę, przy zachowaniu innych czynników bez zmian. Badania nad wpływem szybkości zrywania na wytrzymałość na rozciąganie wykonano ze stopem RR59 w temp. 350°C przy czasie wygrzewania w tej temperaturze 15 minut. Otrzymano następujące wyniki w odniesieniu do wytrzymałości przy szybkości zrywania 5 mm/min, którą przyjmujemy jako 100%.

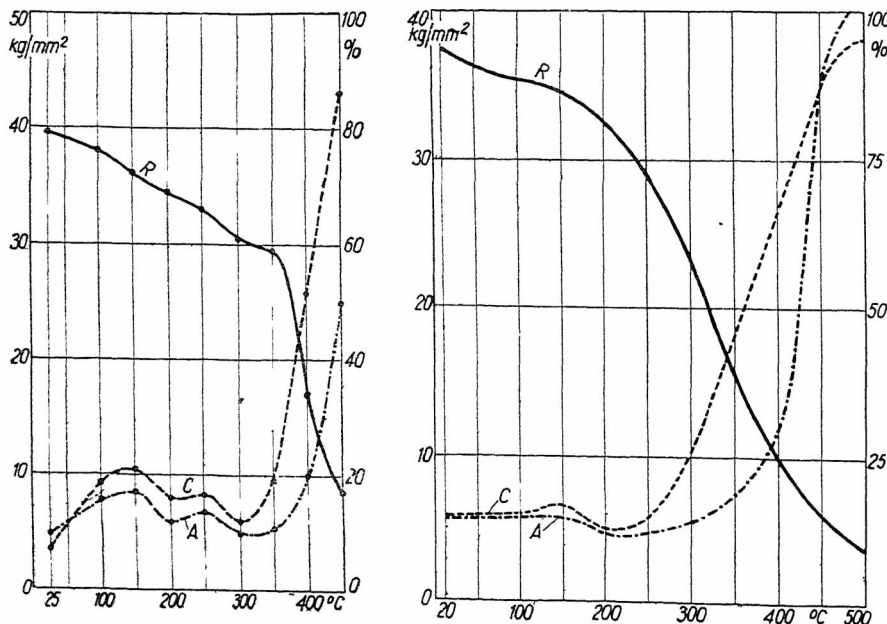
Szybkość zrywania	Wytrzymałość w odniesieniu do wartości otrzymanej przy szybkości zrywania 5 mm/min
0,5 mm/min	89,5 %
1,0 "	93,0 "
2,5 "	94,0 "
5,0 "	100,0 "
10,0 "	124,0 "
15,0 "	141,0 "

Zbadano również wpływ czasu wygrzewania na wyniki otrzymane przy zrywaniu próbek ze stopu RR59 w temperaturze 350° przy szybkości zrywania 5 mm/min. Jak podaje poniższe zestawienie, wpływ ten jest bardzo znaczny.

Czas wygrzewania próbki	Wytrzymałość na rozciąganie w odniesieniu do wartości otrzymanej przy wygrzewaniu w ciągu 15 minut
15 min	100 %
30 "	89,6 "
45 "	77,8 "
120 "	61,0 "

Próbki stosowano o średnicy 8 mm; umieszczano je wraz z uchwytnymi w piecu elektrycznym na maszynie do zrywania. Granicę płynności ustalano z wykresu, co w pewnych wypadkach następczo trudności. Wydłużenie mierzone na czterokrotnej długości pomiarowej. Z użytych do badań stopów duralumin krajowy i czeski oraz elektron były w postaci prętów walcowanych, zaś próbki RR 59, RR 56 i Y wycinano z dużych surówek kutych. Z tego względu należy liczyć się z tem, iż własności wytrzymałościowe stopów RR 59, RR 56 i Y mogą być w stosunku do duraluminu i elektronu nieco niższe, ze względu na inny stan przeróbki mechanicznej w stanie wyjściowym. Wszystkie powyższe stopy badano w stanie uszlachetnionym, to znaczy hartowanym i zestarzałym. Przy badaniach każda próbka była powoli podgrzewana do temperatury badania, po osiągnięciu tej temperatury przez próbkę wygrzewano ją w ciągu 15 min i następnie zrywano z szybkością 5 mm/min.

Liczby powyższe zostały obrane ze względów praktycznych, gdyż wykonanie długotrwałych badań byłoby uciążliwe. W literaturze niema żadnych ustalonych norm w tym kierunku, prawie każdy badacz przyjmuje dowol-



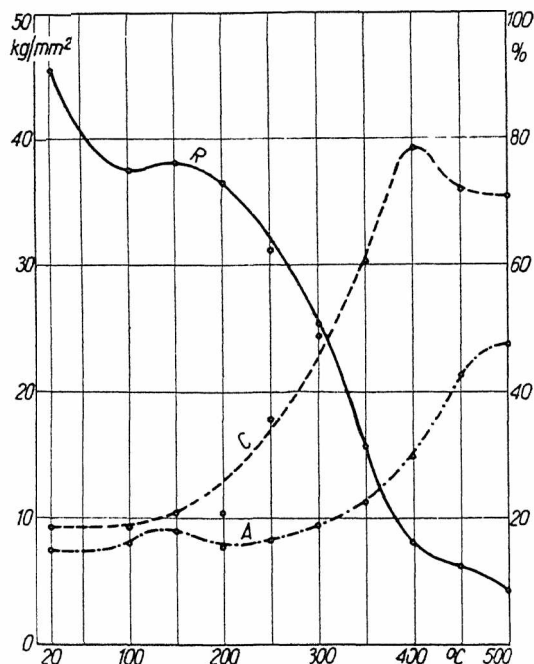
Rys. 1 i 1a. Wyniki badań wytrzymałościowych w wysokich temp. stopu Y zagranicznego (rys. 1) i krajowego (rys. 1a).

ne, przeważnie odmienne od innych, warunki i z tego względu wszelkie porównania na tem polu mogą być tylko względne.

Wyniki wytrzymałościowe otrzymane ze stopem Y zagranicznym są podane na wykresie rys. 1.

Jak widać z wykresu, stop zagraniczny zachowuje swe własności ze stosunkowo nieznaczniemi zmianami do 350°C, — dopiero powyżej tej temperatury własności jego ulegają gwałtownym zmianom. Dość zaznaczyć, iż wytrzymałość w zakresie 20—350°C spadła o 10,2 kg/mm², w zakresie zaś 350—400° spadek ten wynosi 12,5 kg/mm². W parze z tem idzie wzrost wydłużenia i przewężenia: ostatnie w zakresie 20—350°C wzrosło o 12%, zaś w zakresie 350—400° o 33,7%.

Własności krajowego stopu Y podaje wykres na rys. 1a. W stosunku do Y zagranicznego posiada on nieco niższą wytrzymałość oraz szybsze jej obniżenie ze wzrostem temperatur. W zakresie 20—350°C wytrzymałość maleje o 22,5 kg/mm², przy jednoczesnym wzroście przewężenia o 37%. Raptowne zmiany własności krajowego stopu Y występują w temp. 300°C.

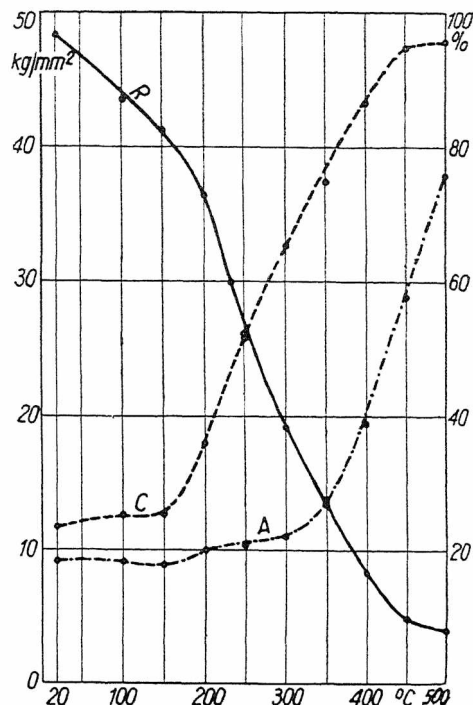


Rys. 2. Własności wytrzymałościowe duraluminu krajowego w temp. do 500°C.

Rys. 2 podaje własności wytrzymałościowe duraluminu krajowego. Ten stop wykazuje znaczne zmiany już w temperaturach niższych, bowiem powyżej 200°C. Do 200° spadek wytrzymałości R wynosi 9,1 kg/mm², zaś w zakresie 200—300° spadek ten wzrasta o 11,1 kg/mm²; jednocześnie przewężenie w zakresie do 200° pozostaje prawie bez zmian (wzrost tylko o 2,5%), zaś w zakresie 200—300° wzrasta o 28%.

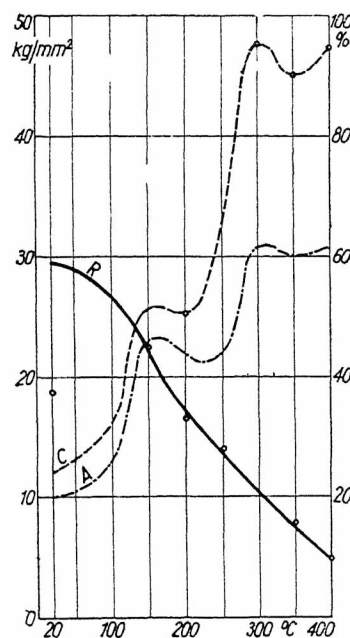
Własności duraluminu czeskiego (rys. 3) wykazują te same zmiany, co i duralu krajowego, z tą różnicą, iż spadek wytrzymałości od 200° jest znacznie wyraźniejszy, zaś przewężenie raptownie wzrasta od 150°C. Spadek wytrzymałości w zakre-

sie 20—200°C wynosi 11,7 kg/mm², zaś w zakresie 200—300° — 17,5 kg/mm². Przewężenie zaś w zakresie 20—150° wzrasta o 2,0%, zaś w zakresie 150—250° o 27,4%.

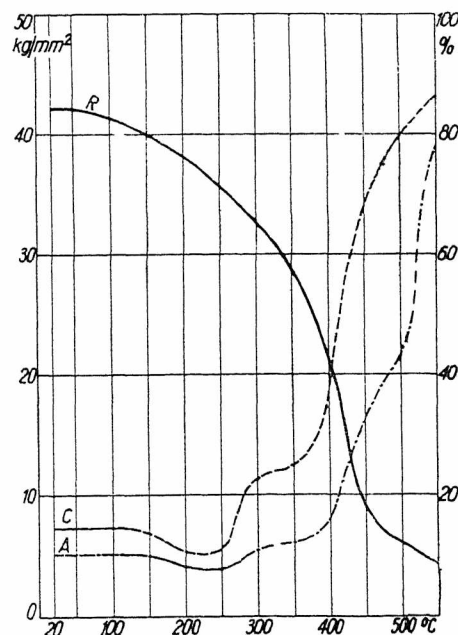


Rys. 3. Własności wytrzymałościowe duraluminu czeskiego w temp. do 500°C.

Najniższe własności wytrzymałościowe wykazał elektron (rys. 4). Wyraźna zmiana jego własności wytrzymałościowych występuje już przy temperaturach powyżej 100°C. Wytrzymałość w temperaturze 150°C spada o 6,6 kg/mm², lecz jednocześnie wydłużenie wzrasta o 25,3%, zaś przewężenie o 23,9%.



Rys. 4. Wyniki badań wytrzymałościowych elektronu.



Rys. 5. Wyniki badań wytrzymałościowych stopu RR59.

Wyniki badań w wyższych temperaturach stopu RR 59 podaje wykres na rys. 5. Wyniki te są bardzo zbliżone do wyników otrzymanych ze stopem Y. Również jako zakres temperatur krytycznych należy uważać temperaturę 300—400°C, chociaż właściwie gwałtowne zmiany występują dopiero przy 450°C. Spadek wytrzymałości wykazuje poniższe zestawienie:

w zakresie 20 — 300° R spada o 8,4 kg/mm²
300 — 400° „ „ „ 12,7 „
400 — 450° „ „ „ 13,2 „

Równoczesny zaś wzrost przewężenia:

w zakresie 20 — 300° C wzrasta o 8,9%
300 — 400° „ „ „ 12,8 „
400 — 450° „ „ „ 12,8 „

Wykres 6 podaje własności wytrzymałościowe stopu RR 56, które są zbliżone do własności duraluminu w wyższych temperaturach.

Zestawienie wytrzymałości na rozciąganie tych stopów oraz stopu RR 59 angielskiego podaje tabela III i wykres 6a. Jak z tych danych wynika, najlepszą wytrzymałość w zakresie do 200°C posiada duralumin, lecz powyżej tej temperatury najlepszą wytrzymałość posiada RR 59.

TABELA III.

Wytrzymałość na rozciąganie różnych stopów w wyższych temperaturach.

Temp. °C	Dural. krajowy	Dural. czeski	Y zagr.	Y krajowy	RR59 krajowy	RR59 ang.	RR56	Elektron
20	45,7	48,3	40	37,4	42	39	42,1	28,9
100	37,6	43,6	38	35,4	41	38	38,8	26,4
150	38,2	41,2	36	34,9	40	38	34,0	22,3
200	36,6	36,6	34,5	31,1	38,5	34	33,0	16,1
250	31,3	25,9	33	30,0	36	32,5	28,6	13,6
300	25,5	19,1	31	22,9	34	31	22,8	10,75
350	15,9	13,5	29	14,9	28	23	16,3	8,2
400	8,1	8,3	17	12,3	21	19	8,2	5,0
450	6,4	4,6	8,5	5,9	7,7	12,5	4,8	—
500	4,5	3,9	—	3,7	6	4,7	—	—
550	—	—	—	—	3,75	—	—	—

Stop RR 59 poddano dodatkowym próbom w celu badania jego zachowania się po tych zabiegach cieplnych, jakie przechodzi on podczas obróbki mechanicznej.

Najpierw zbadano, jaki wpływ na własności wytrzymałościowe w temperaturze normalnej wywiera 15 minutowe wygrzewanie w różnych temperaturach. W tym celu próbki wygrzewano w ciągu 15 minut w różnych temperaturach, potem studzono na powietrzu i następnie zrywano po 3 dniach w temperaturze pokojowej. Wyniki podają wykresy 7 i 8.

Spadek wytrzymałości (R), granicy płynności (Q) i twardości (B) występuje wyraźnie od 200—250°C, osiągając minimum przy 350°C. Następnie R i B wzrastają, osiągając pewne maximum przy 500°C, poczem następuje ponowny spadek. Q natomiast

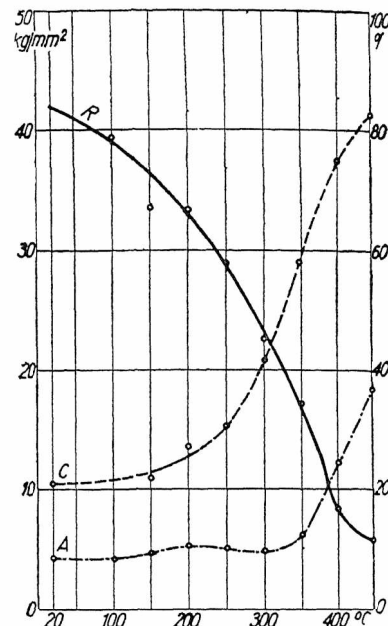
zachowuje wartość minimum, osiągniętą przy wyżarzaniu w temperaturze 350°C. Co się zaś tyczy wydłużenia i przewężenia, które na wykresie 8 są podane w odniesieniu do ich wartości w temp. 20°, przyjętych jako 100%, to wzrastają one od temp. 200°, aby osiągnąć maximum w temp. 500°C, następnie przy 550°C gwałtownie spadają.

Dalsza seria prób była wykonana w ten sposób, iż próbki wyżarzone w piecu w temp. 350°C w ciągu 30 minut, następnie studzono powoli, podgrzewano ponownie do temp. badania, wygrzewano 15 min i zrywano (wykres 9).

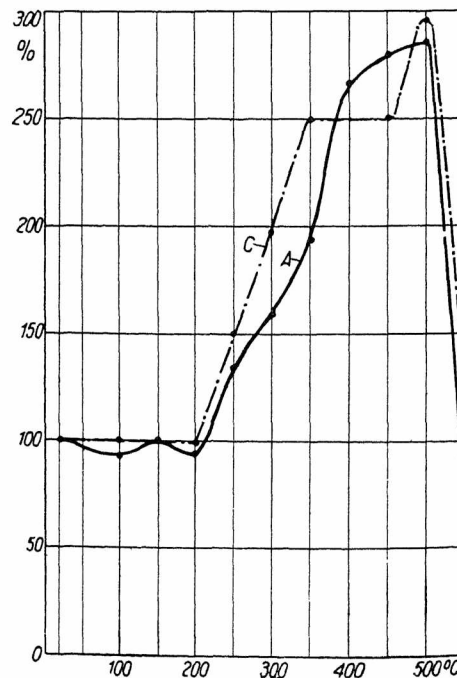
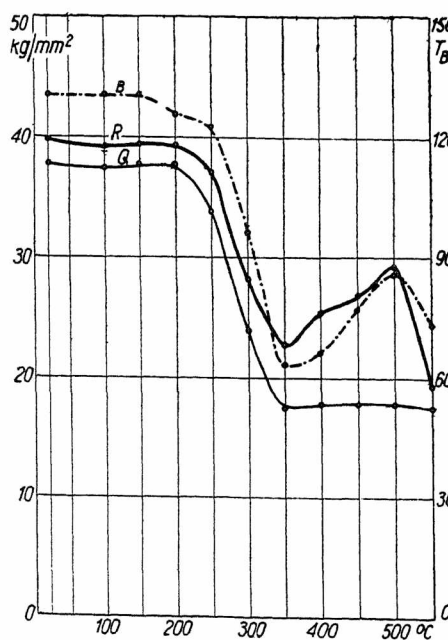
W wyższych temperaturach własności wytrzymałościowe wyżarzonego stopu RR 59, jak widać z powyższego wykresu, są znacznie niższe od własności tego stopu uszlachetnionego.

Jako ostatnią serję prób, wykonano badania wpływu piętnastominutowego wygrzewania w wyższych temperaturach na własności wyżarzonego stopu w temperaturach pokojowych.

W tym celu próbki wygrzano w tych samych warunkach w temperaturze 350°C w ciągu 30 minut, ostudzono z piecem, wygrzewano ponownie w cią-

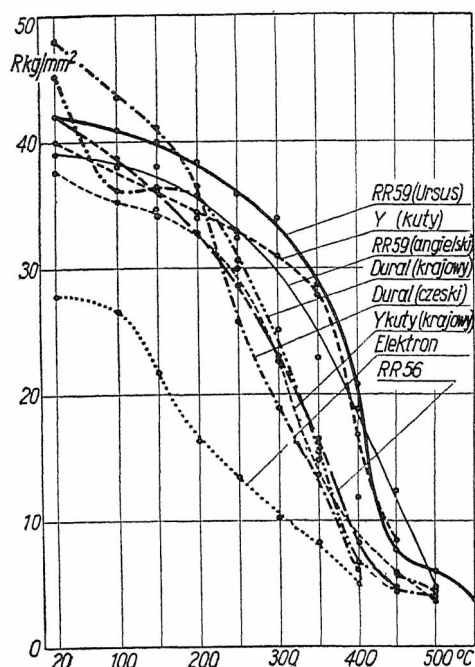


Rys. 6. Własności wytrzymałościowe stopu RR56 w wyższych temperaturach.



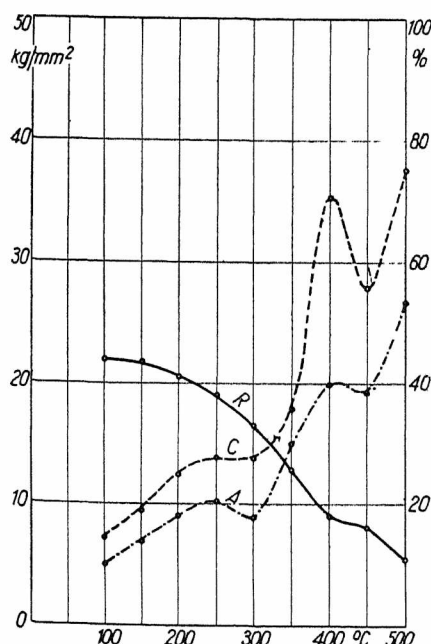
Rys. 7—10. Wyniki badań wytrzymałościowych stopu RR59
Rys. 7—8. Wygrzewanie 15 min w różnych temperaturach, studzenie na powietrzu, zrywanie po 3-ch dniach.

gu 15 minut w temperaturach od 100 do 550°C, ostudzono na powietrzu i zerwano w temperaturze pokojowej po upływie 1 godziny. Wyniki podaje rys. 10.



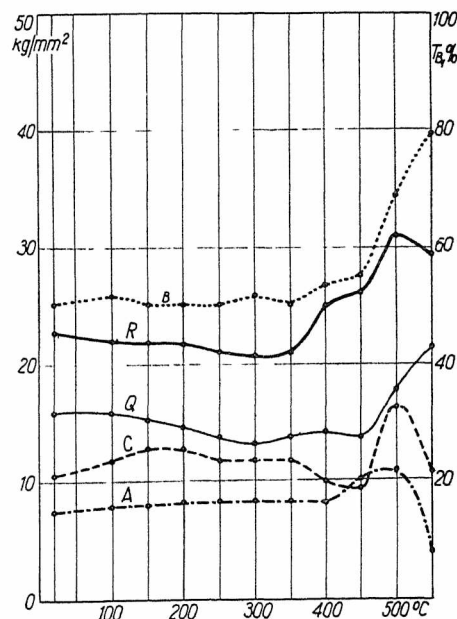
Rys. 6a. Zestawienie wytrzymałości na rozciąganie w wyższych temperaturach różnych stopów lekkich.

Do 350°C własności nie uległy żadnym zmianom, dopiero w zakresie 350—500°C zaznaczył się wzrost wytrzymałości i twardości (ostatniej do 550°) oraz granicy płynności od 450° do 550°C. Należy przypisać to pewnemu podhartowaniu, jakie zaszło w stopie przy podgrzewaniu powyżej temperatury 350°.



w zależności od poprzedzających badania zabiegów cieplnych.

Rys. 9. Wyżarzanie w 350°C (30 min), studzenie powoli, ponowne podgrzewanie do temp. badania (15 min) i zrywanie.



Rys. 10. Wyżarzanie i studzenie jak w rys. 9, wygrzewanie 15 min w temp. 100—550°C, studzenie na powietrzu, zrywanie w temp. pokojowej po upływie 1 godz.

Wnioski.

Na podstawie powyższych prób możemy stwierdzić, że:

a) Z pośród badanych stopów najlepsze własności wytrzymałościowe w wyższych temperaturach posiadają stopy RR 59 i Y zagraniczny. Stop Y krajowy ustępuje nieco pod względem wytrzymałości stopowi Y zagranicznemu.

b) Stop duralumin traci swe dobre własności wytrzymałościowe począwszy od temperatur 150—200°C.

c) Stop elektron w temperaturach powyżej 100°C odznacza się spadkiem wytrzymałości oraz wzrostem wydłużenia i przewężenia.

d) Stop RR 56 jest zbliżony własnościami do duraluminu.

Powyższe badania miały na celu stwierdzenie własności mechanicznych w wyższych temperaturach stopów kutych produkcji krajowej oraz porównanie tych własności z własnościami takich samych i zbliżonych stopów produkcji zagranicznej. Naogół należy stwierdzić, iż materiały produkcji krajowej nie są gorsze od materiałów otrzymywanych z zagranicy.

Przy wykonywaniu powyższej pracy pomocnymi mi byli p. inż. A. Feill i p. Br. Wiernicki, którym tą drogą składam podziękowanie.

• • •

Propriétés physiques aux hautes températures des alliages légers forgés

Résumé

Après avoir indiqué les alliages qui faisaient l'objet des recherches, ainsi que les méthodes employées et les conditions d'essais, l'auteur donne les résultats des essais préliminaires concernant:

la dilatabilité des alliages essayés, l'influence de la vitesse de rupture des éprouvettes et celui du temps du recuit. Ensuite il montre les valeurs: de la résistance à la traction, de l'allongement et de la striction des alliages: Y et duraluminium (de la production polonaise et étrangère), RR59 (pour différentes conditions du traitement thermique) et RR56. Les essais furent exécutés aux températures 20—500°C.

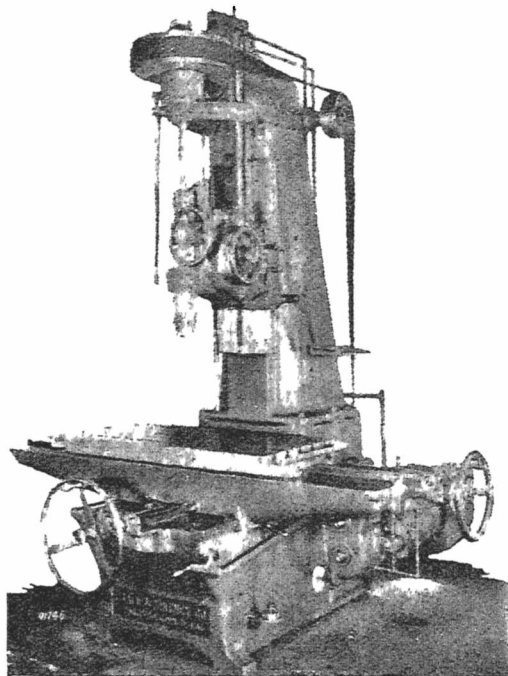
En conclusion l'auteur constate que: 1) les meilleures qualités ont les alliages RR59 et Y; 2) le duraluminium perd ses bonnes qualités à partir de 150—200°C; 3) l'électron aux températures au-dessus de 100°C montre un assez grand abaissement de la résistance et l'accroissement de la striction; 4) les alliages de la production polonaise ne sont pas inférieurs à ceux provenant de l'étranger.

Postępy budowy dokładnych wiertarek

Inż. A. Rościszewski, SIMP

Dotychczasowe metody wyrobu wzorników wiertarskich — Ich strony ujemne. — Nowe wiertarki dokładne do przyrządów budowy fabryk Soci t  Genevoise i H. Lindner. — Wiertarki optyczne: t. zw. „Hydroptic” (SIP) i Lindnera. Ich ustr j i granice dokadnoci.

ZAMIENNOŚĆ elementów mechanizmu, konieczna przy seryjnej i masowej produkcji, daje się osiągnąć — jak wiadomo — jedynie przy użyciu odpowiednio obmyślanych i dostatecznie dokładnie wykonanych przyrządów pomocniczych, z pośród których wiertarskie odgrywają bodaj najważniejszą rolę.



Rys. 1.
Wiertarka dokładna f-my Pratt & Whitney Co.
Pomiar przesunięć stołu odbywa się przy pomocy płytek, mikromierzy i czujników

Początkowo wykonanie przyrządów nie było tak ułatwione, jak obecnie, gdyż brakowało obrabiarek przystosowanych do tego celu.

Krótki opis sposobów wykonywania przyrządów wiertarskich na zwykłych maszynach najlepiej wypukli korzyści, wynikające z zastosowania specjalnych wiertarek precyzyjnych.

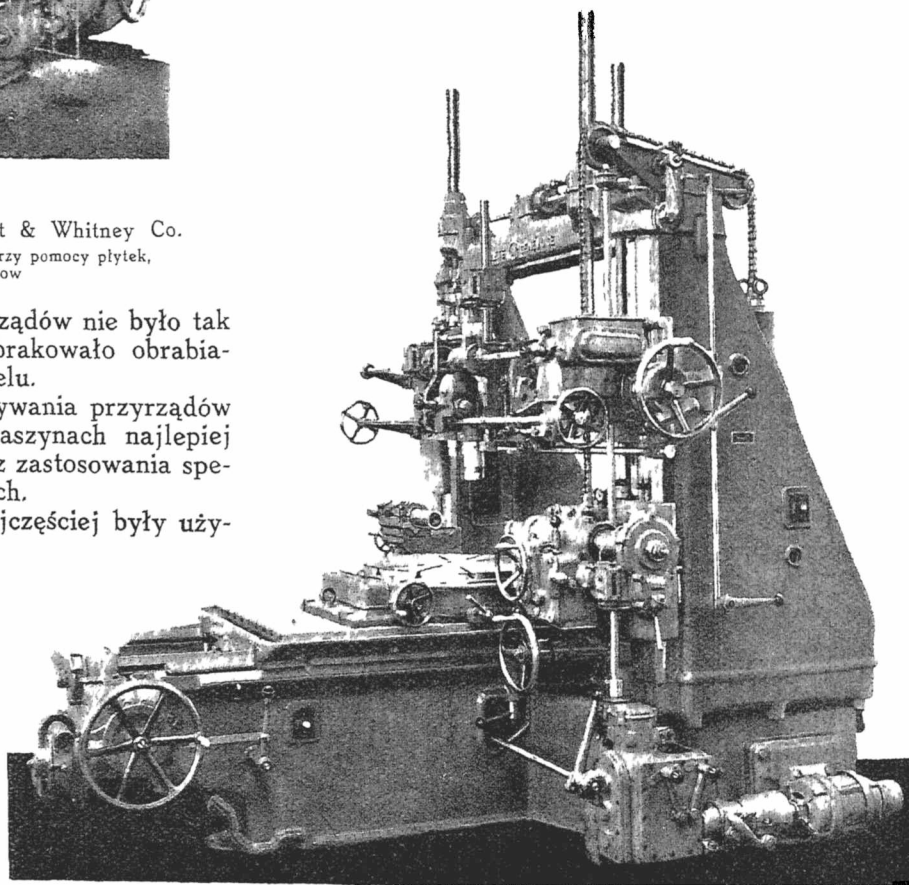
Do wiercenia przyrządów najczęściej były używane pionowe frezarki, wytaczarki i tokarki zaopatrzone w uchwyt krzyżowy.

Najbardziej znany sposób polega na przykręcaniu do obrabianej płyty wiertarskiej pomocniczych tulejek w miejscach, gdzie mają być wytoczone otwory. Tulejki te przykręcamy do powierzchni przyrządu śrubami, przechodzącymi przez ich otwory, i sprawdzamy wzajemne położenie, posiłkując się mikromierzami, płytkami wzorcowymi i t. d. Kiedy mamy już tulejki ustawione ściśle w osiach

przyszłych otworów, możemy przystąpić do wiercenia. W tym celu, przy pomocy dokładnego czujnika centrujemy wrzeciono maszyny podług jednej z tulejek, odejmujemy ją i wiercimy otwór. Wiercenie następnych otworów odbywa się w podobny sposób.

Jak łatwo zauważyć, metoda ta nie jest ani prosta, ani szybka. Wymaga dużej uwagi i staranności zarówno przy wierceniu otworów, jak i przy rozstawianiu tulejek. Zasadniczą jej wadą jest, obok powolności, dwukrotne popełnianie błędów.

Inny sposób polega na tem, że po naznaczeniu przez trasera osi otworów, przystępujemy od razu do wiercenia, sprawdzając w czasie roboty rozstawienia. W tym celu pierwszy otwór wykonywamy od razu na gotowo, każdy zaś następny — początkowo na średnicę mniejszą od wymaganej, aby wykończyć go dopiero po upewnieniu się, że położenie jest właściwe. Nigdy prawie nie udaje się utrafić od razu, zwykle po wstępnym wywierceniu musimy zmienić położenie stołu, przewiercić otwór i sprawdzić ponownie. Nieraz czynność tę trzeba powtórzyć kilkakrotnie, nim uda się wykonać otwór we właściwym położeniu.



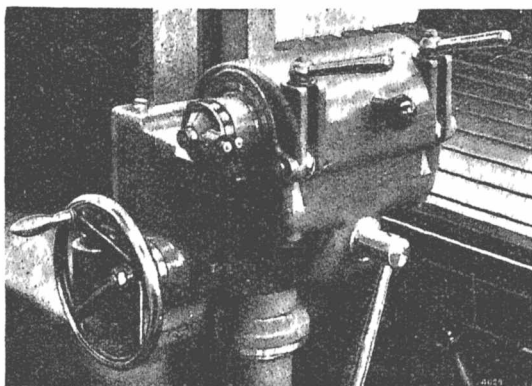
Rys. 2. Bramowa wiertarka dokładna f. Soci t  Genevoise (SIP), typ MP-6B z wrzecionem pionowym i poziomem oraz okularom do ustawiania poziomego wytaczadła.

Na stole maszyny jest ustawiony płaski stół pomiarowy. Pomiar przesunięć stołu i głowic wiertarskich odbywa się za pomocą śrub mikrometrycznych.

Metoda ta jest nie mniej uciążliwa od poprzedniej, a oprócz tego wymaga posiadania dużej ilości trzpieni do sprawdzania odległości otworów, których średnice zmieniają się po każdym przewierceniu.

Chcąc uprościć i ułatwić proces rozstawiania otworów, starano się go upodobnić do metod traserskich, przez obranie układu osi współrzędnych, od których byłyby odmierzane wszystkie odległości. Kierunki osi wyznaczają nam prostopadłe do siebie ruchy stołu maszyny, za początek układu może być obrany dowolny punkt, np. ślad osi wrzeciona na powierzchni stołu przy jego krańcowym położeniu, lub też innym położeniu, określonym nieruchomymi zderzakami, od których byłyby odmierzane przesunięcia stołu. Mając na maszynie obrany układ osi współrzędnych, musimy obrabiany przedmiot umocować na stole w taki sposób, aby jego osie były równoległe do obranych. Następną czynnością, poprzedzającą wiercenie, jest określenie wzajemnego położenia osi współrzędnych obu układów.

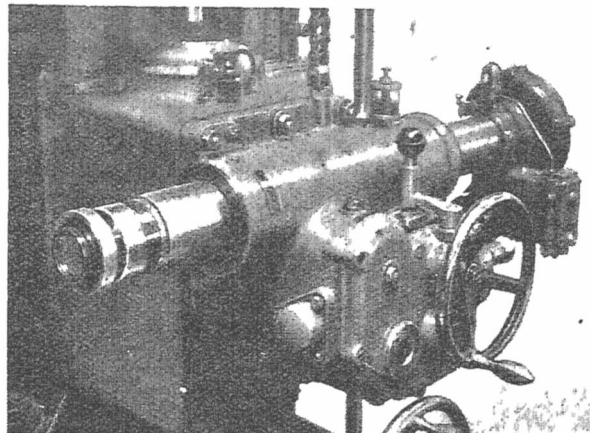
Sposób ten jest najprostszy i daje się zastosować na każdej frezarce. Niedokładności jego wynikają w głównej mierze z niedokładności samej maszyny, do których wypada zaliczyć przede wszystkim wzajemną nieprostopadłość prowadnic stołu, nieprostopadłość osi wrzeciona do powierzchni stołu, luzy we wrzecionie i prowadnicach stołu. Pozatem błędy powstają przy odmierzaniu przesunięć stołu, do czego używać musimy płytek wzorcowych i mikromierzy drążkowych. Dokładność pomiarów można powiększyć przez dodatkowe zastosowanie czujników, gdyż wtedy nie trzeba polegać na czuciu, które jest specjalnie zawodne przy pomiarach wielkości znacznie się różniących. Dokładność pomiaru przesunięć stołu ze zderzakami stałymi lub ruchomymi (czujniki) nie zależy od organów przesuwających stół, a tylko od przyrządów użytych do pomiaru. Charakter narzędzi pomiarowych, przydatnych do tego celu, jest tego rodzaju, że dokładność pomiaru zależy od wielkości mierzonego przesunięcia.



Rys. 3. Podtrzymka z okularem urządzenia optycznego do ustawiania głowicy poziomej maszyny MP-6B

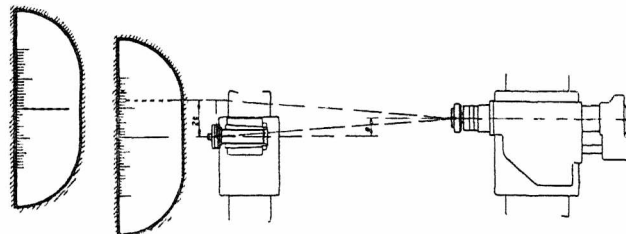
Zalety ostatnio opisanej metody w praktyce znalazły pełne potwierdzenie, to też po pewnym zmodyfikowaniu została ona zastosowana we wszystkich wiertarkach, przeznaczonych do wiercenia przyrządów.

Bez żadnych zasadniczych zmian znajdujemy ją w wiertarce firmy Pratt - Whitney, która swego czasu cieszyła się zasłużonym uznaniem. Pomiar przesunięć stołu odbywa się na tej maszynie przy



Rys. 4. Głowica pozioma masz MP-6B z założonym obiektywem do centrowania okularu.

pomocy czujników, płytek wzorcowych i mikromierzy drążkowych. Załączona fotografia (rys. 1) uwidoczniła tę maszynę, budowaną dotychczas w niezmiennionej postaci, choć jest już nieco przestarzała i nie może wytrzymać porównania pod względem wydajności, a nawet dokładności, z innymi, nowszymi konstrukcjami tego rodzaju.



Rys. 5 Schemat urządzenia optycznego do ustawiania podtrzymki wedł. poziomego wrzeciona masz MP-6B.

Dobra wiertarka do przyrządów powinna być bardzo dokładna, szybka w działaniu i trwała, to jest nie powinna ulegać szybkiemu zużyciu i tracić z biegiem czasu pierwotnej dokładności.

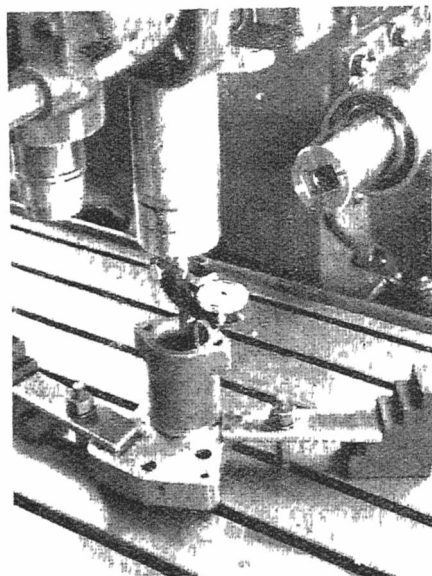
Aby sprostać tym warunkom, stojak maszyny musi być sztywny, aby nie ulegał drganiom i odkształceniom. Zwykle maszyna bywa oparta na trzech regulowanych podporach, gdyż to ułatwia ustawianie maszyny w poziomie i chroni ją przed działaniem zmiennych, nie dających się przewidzieć naprężeń, jakie mogłyby występować w razie związania jej z fundamentem.

Stół roboczy maszyny również nie może być narażony na jakiegokolwiek odkształcenia, dlatego nawet w krańcowych położeniach nie powinien wychodzić poza prowadnice łoża. Śruby mikrometryczne, wrzeciona i inne ważne elementy pomiarowe oraz napędowe powinny być tak silne, aby w czasie ruchu nie ulegały odkształceniom i drganiom.

Nic dziwnego, że wiertarki do przyrządów są znacznie cięższe niż inne obrabiarki o podobnej mocy lub wymiarach. Dość tu nadmienić, że ciężar ich, zależnie od wymiarów stołu roboczego, waha się w granicach od 3 000 do prawie 7 000 kg, przy

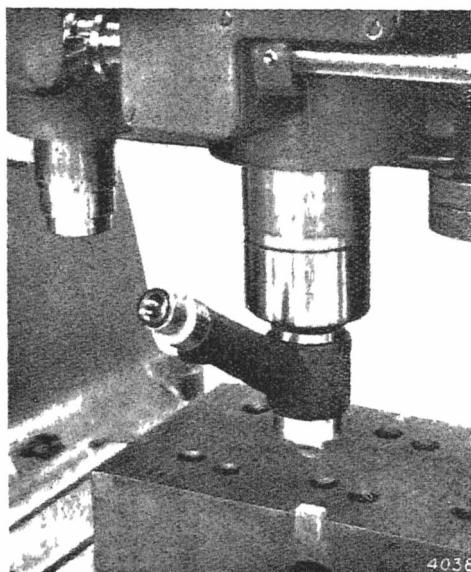
mocy napędowej nie przekraczającej zazwyczaj 4 KM.

Wiertarki do przyrządów budowane są jako maszyny pionowe, ale w dwóch różnych układach. Firmy Pratt-Whitney i Herbert Lindner wybrały



Rys. 6 Srodkowanie wrzeciona podł otworu w przedmiocie przy pomocy czujnika (SIP)

układ kolumnowy, tańszy i wygodniejszy ze względu na dobry dostęp do obrabianego przedmiotu. Układ bramowy, spotykany w maszynach Hausera i Soci t  Genevoise, jest lepszy dla duzych wiertarek, gdyż zapewnia wi kszy wysi g wrzeciona i pozwala na zastosowanie dodatkowej poziomej g łowicy z okularem do podparcia wytaczadła.



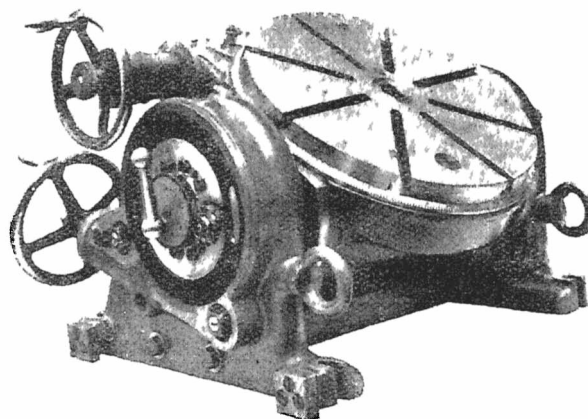
Rys. 7. Ustawianie osi wrzeciona podł kraw dzi przedmiotu przy pomocy mikroskopu i specjalnego k townika (SIP).

Na wzmiank  zast guje jeszcze ciekawa i oryginalna wiertarka okularowa firmy Herbert Lindner. Teoretycznie pomys l taki ma duzo zalet, je li chodzi o wiercenie przyr dow ze sko nemi otworami, praktycznego znaczenia jednak mie  on nie

może, gdyż jest skomplikowany i kosztowny, a daje si  zastąpić w tańszy i wygodniejszy sposób.

G wna wada maszyny Pratt-Whitney wynika z konieczno ci posi kowania si  p tkami wzorcowymi, mikromierzami i t. d., co powoduje zbyt dużą strat  czasu i daje okazj  do pomy ek. Ch c unikn ć tej wady, nowe maszyny zostały zaopatrzone w  ruby mikrometryczne, słu ące do przesuwania stołu i do pomiaru przesuni ć, wskutek czego odpadł szereg uci żliwych czynno ci. Obie  ruby, daj ce przesuni cia w dwu prostopadłych kierunkach, s  zaopatrzone w listwy korekcyjne, kompensuj ce na skali odczytowej b lady wykonania  rub. W ten sposób czas niezb dny do ustawienia wrzeciona w nowem po ozeniu został skrócony do minimum.

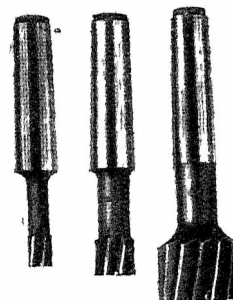
Dalsz , jeszcze wi ksz  oszcz dno ć na czasie roboczym uzyskano przez zastosowanie nowych metod wykonywania otworow. Dotychczasowe sposoby polegały na wytaczaniu otworow no ykiem, co rzecz prosta zabierało duzo czasu, na nowoczesnych za  maszynach robi si  to kr tkim, sztywnym i bardzo dok adnym rozwiertakiem, który zaopatrzone jest w czołowe kraw dzie tn ce i



Rys. 8 Pochylny st ł obrotowy (SIP).

boczne cylindryczne r bki do prowadzenia go w otworze. Rozwiertak taki, osadzony w sztywnym i dok adnym wrzecionie, po wywierceniu otworu nieco cieńszem wiertłem, wykańcza otw r na miar  i nie zbacza z osi.

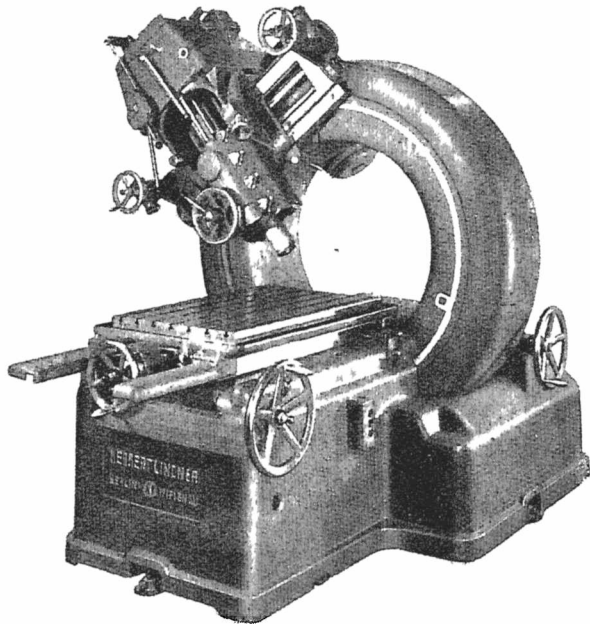
Do wyposa enia maszyny nale y zwykle okr gły st ł podziałowy, u ywany do rozstawiania otworow na obwodzie koła. Przy wierceniu przyr dow z otworami wzajemnie prostopadłymi lub sko nemi wielkie usługi oddaje pochylony st ł obrotowy, gdyż umo liwia dok adny podział k towy w dwu prostopadłych do siebie płaszczyznach. St ł taki jest nieodzowny przy wielu robotach, ale niewystarczaj cy przy obr bce duzych przyr dow.



Rys. 9. Czołowe rozwiertaki do wykańczenia na miar  otworow wywierconych wiertłem.

Aby ułatwić wykonanie przyr dow wiertarskich do karterow silnikow samochodowych i lotniczych, skrzynek biegow i innych, które musz 

posiadać otwory o osiach prostopadłych i ze względu na swe wymiary nie mogą być założone na pochylony stół, firma Soci t  Genevoise zaopatrzyła swą maszynę MP-6-B w dodatkow głowicę z poziomem wrzecionem.



Rys 10 Okularowa wiertarka f. Herbert Lindner
Do pomiaru i przesuwania stołu i głowicy zastosowano śruby mikrometryczne

Jak widać z załączanego rys. 2, głowica ta jest zmontowana na jednym z bocznych stojaków, na drugim zaś umocowana jest podtrzymka, podpierająca wytaczadło, gdy się nim posługujemy. Głowica z wrzecionem może być podnoszona i opuszczana na żadan wysokość, przyczem stale jest zachowana ścisła równoległość wrzeciona do stołu maszyny; do podnoszenia głowicy służy śruba mikrometryczna z podziałk do odczytania odległości wrzeciona od powierzchni stołu. Do ustawienia podtrzymki na wysokości wrzeciona zastosowano specjalne urządzenie optyczne. Skłda się ono z obiektywu o zwierciadlanej powierzchni tylnej, wkładanego do stożkowego gniazda wrzeciona głowicy, oraz z okularu, wkładanego do gniazda podtrzymki. Przerwana linja, nacięta na ogniskowej płytce okularu, pozwala stwierdzić na skali okularu, odbijającej się w zwierciadle obiektywu, czy osie podtrzymki i wrzeciona s na jednym poziomie (rys. 5).

Maszyny do wytaczania przyrządów s wykonywane z wielk precyzj i starannością, włciw przyrządom pomiarowym, to te daj moność obróbki trudnych i skomplikowanych przyrządów w stosunkowo krótkim czasie, z dokłdnośc zazwyczaj zupełnie wystarczając.

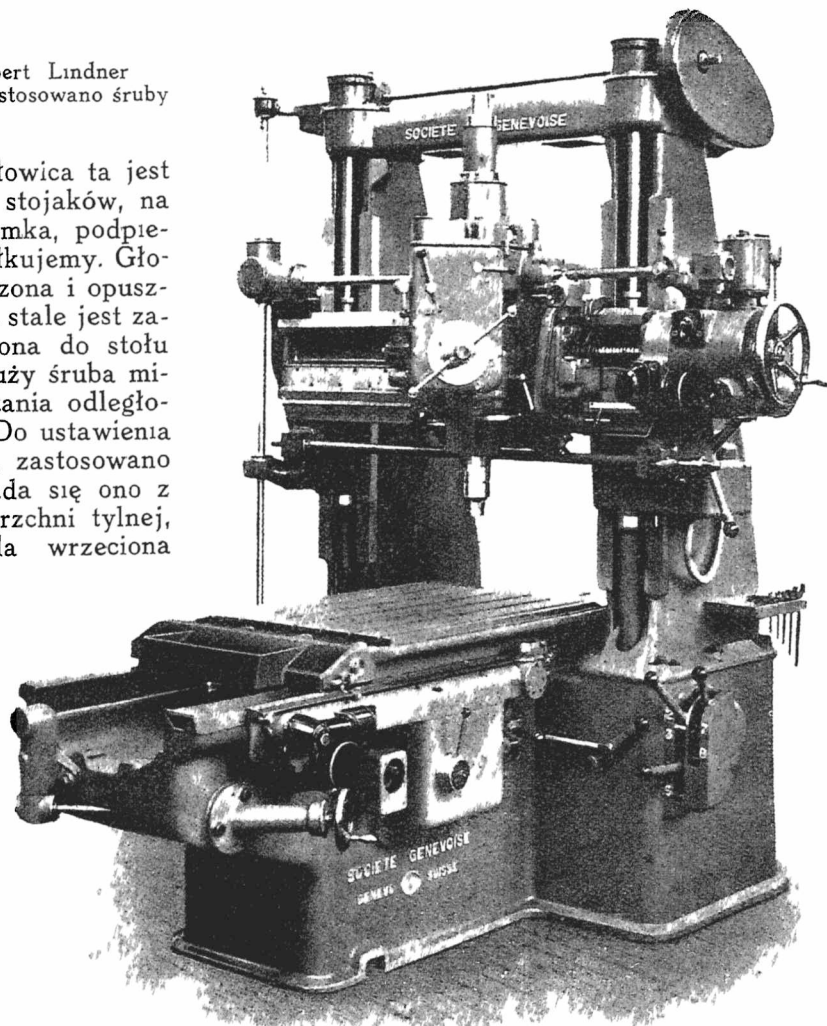
Gwarancje fabryczne okrešlaj

granicę błędów dla przesunięć stołu i wrzeciona na $\pm 0,01$ mm i $\pm 0,02$ mm dla rozstawienia wywierconych otworów. Próby odbiorcze zwykle potwierdzaj gwarantowane cyfry.

Bezpošredni pomiar przy pomocy śruby mikrometrycznej, przesuwajcej stół, jest prostszy i bezwtpienia lepszy, bo szybszy, od pošredniego przy uyciu klocków i mikromierzy, ale traci z biegiem czasu na dokłdnośc wskutek zużywania się śruby, i to jest jego wad. Nie mona te pominć wpłwu, jaki maj na pomiar spręzyste odkształcenia śruby, zalene od połoenia i obciżenia stołu, od ilośc i lepkośc smaru na prowadnicach stołu. Mimo powiększenia wymiarów, nie mona uniknć wycierania się śrub i spadku dokłdnośc, a zmiana listew korekcyjnych jest operacj kosztown i wymagajc dłuszego postoju maszyny.

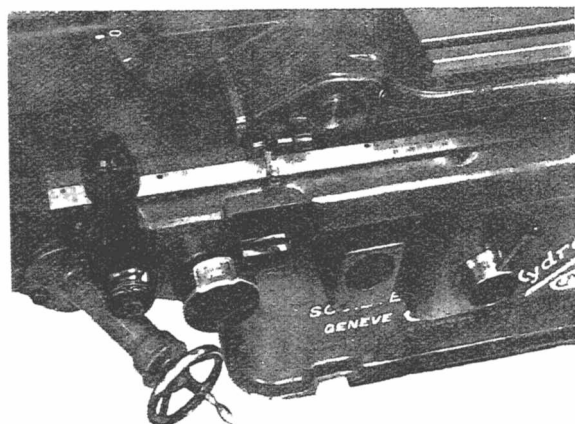
Dlatego to niektóre fabryki, jak Pratt-Whitney, nie zdecydowały się na zastosowanie śrub mikrometrycznych. Z tych te powodów poszukiwano takich rozwizań, któreby były pozbawione wad, charakterystycznych dla obu systemów

Wiertarki wypuszczone ostatnio na rynek przez firmy Soci t  Genevoise i Herbert Lindner świadcz o tem, że poszukiwania te dały dobre wyniki. Nowe te maszyny s oparte na zupełnie innych zasadach działania, s pewnego rodzaju rewelacj i dlatego zasługuj na blisze poznanie.



Rys 11 „Hydroptic” — najnowsza optyczna wiertarka dokłdna
fabr. Soci t  Genevoise.

Zastosowano w nich szereg ulepszeń, zainstalowano ciekawe urządzenia elektryczne, zastosowano napęd hydrauliczny i t. d., istotną jednak nowością są w nich urządzenia pomiarowe, to też w dalszym ciągu głównie o nich będzie mowa



Rys 12 Mikroskop w pozycji roboczej na wiertarce „Hydroptic”.

Okular, jest zakryty, gdy mikroskop obrócimy o 90 w prawo (por. ten szczegół na rys 11)

Nowe wiertarki Herberta Lindnera i Soci t  Genevoise zasługują na miano optycznych, gdyż pomiar przesunięć stołu odbywa się przy pomocy wzorca i urządzenia optycznego. Mechanizmy przesuwające stół, bądź też głowicę wrzecionową, straciły znaczenie urządzeń mierniczych i służą wyłącznie do transportu, nie mając żadnego wpływu na dokładność pomiaru, dzięki czemu na maszynach tych można wykonywać roboty frezarskie bez żadnego dla nich uszczerbku. Jest to dodatkowa niezmiernie cenna zalet tych maszyn.

Pomysły, na jakich oparte zostały urządzenia pomiarowe w obu wspomnianych maszynach, są różne; dlatego omówimy je oddzielnie w tej kolejności, w jakiej ukazały się na rynku.

Firma Soci t  Genevoise ochrzciła swą nową maszynę mianem „Hydroptic”, chcąc w ten sposób podkreślić fakt zastosowania hydraulicznego napędu stołu i optycznego urządzenia pomiarowego.

Hydroptic, tak jak i inne modele wiertarek tej firmy, ma układ bramowy. Przewidując zgóry możliwość wykonywania robót frezarskich, zastosowano bezstopniową regulację posuwów w granicach od 5 do 125 mm/min, oraz posuwy szybkie, dochodzące do 2 000 mm/min, używane do jałowego przesuwania stołu.

Wymiary stołu roboczego wynoszą 1 000 × 706 mm, całkowity przesuw podłużny 950 mm; największa odległość końca wrzeciona od powierzchni stołu 700 m, ruch pionowy belki 500 mm, a wrzeciona w głowicy 250 mm.

Do podnoszenia i opuszczania belki z głowicą wiertarską zastosowano napęd elektryczny, automatycznie wyłączany po dojściu do krańcowego położenia. Blokowanie odbywa się przy pomocy jednej dźwigni. Do robót frezarskich przewidziano mechaniczne posuwy głowicy wzdłuż belki, ze

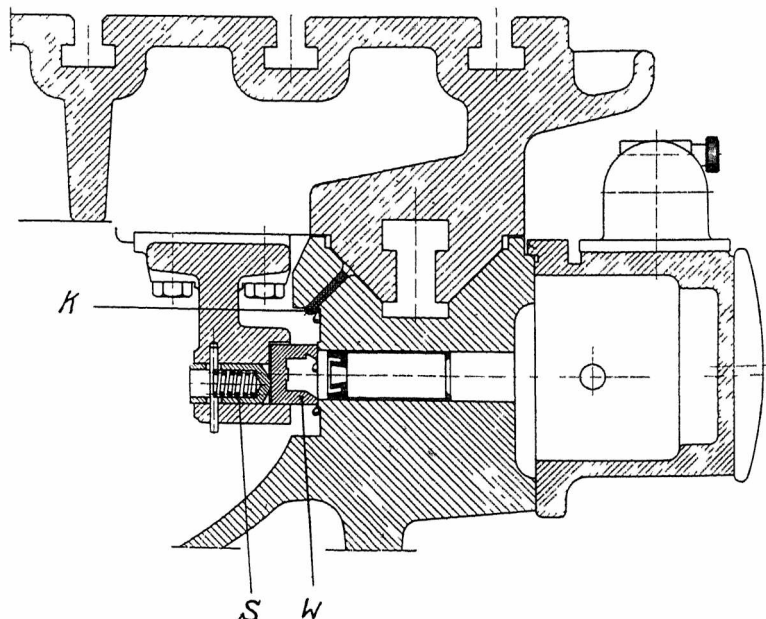
zderzakami wyłączającymi. Szybkie przesuwanie odbywa się ręcznie przy pomocy śruby o dużym skoku, do dokładnego nastawiania służy oddzielne urządzenie.

Wrzeciono robocze maszyny posiada 18 różnych szybkości w granicach od 40 do 1 250 obr/min oraz 6 posuwów mechanicznych od 0,04 do 0,25 mm obr; oprócz tego są jeszcze dwa posuwy ręczne: jeden szybki, drugi powolny. Dzięki zastosowaniu specjalnego urządzenia zderzakowego, można nastawić posuw na określoną głębokość, po której osiągnięciu nastąpi samoczynne wyłączenie. Do odczytywania głębokości wywierconego otworu służy oddzielna skala, której brak dawał się odczuwać w poprzednich modelach.

Sposób zamocowania narzędzi został znacznie uproszczony i ułatwiony, przyczyniając się do skrócenia czasów roboczych.

Kończąc na tem opis maszyny i zastosowanych w niej ulepszeń mechanicznych, przechodzimy do omówienia urządzeń pomiarowych.

Wraz ze stołem, względnie z głowicą maszyny porusza się przymocowany do niej wzorzec z dokładną podziałką, na której odczytujemy przesunięcia, posiłkując się mikroskopami, wbudowanymi w maszynę. Na załączonym rys. 13 pokazany jest sposób przymocowania wzorca do stołu maszyny. Wzorzec *W* ma kształt korytka, na którego dnie znajduje się wypolerowana powierzchnia z bardzo dokładną milimetrową podziałką, naciętą djamentem. Sprężyny *S* dociskają wzorzec do gładko obrobionej powierzchni łoża, po której sływa oliwa dostarczana przez knot *K*, uszczelniając styk i zabezpieczając skalę przed zakurzeniem i wpływami atmosferycznymi. Umieszczenie wzorca pod stołem maszyny wyłącza jakiegokolwiek



Rys 13 Sposób umocowania wzorca na masz „Hydroptic”

uszkodzenia mechaniczne. Przy dowolnym położeniu stołu przynajmniej jedna kreska podziałki wzorca jest widoczna w polu widzenia mikroskopu, oprócz tego widoczna jest także przerywana linja *H* (rys. 14), nacięta na płycie szklanej, którą można przesuwac przy pomocy specjalnego

mikromierza, wskazującego wielkość przesunięcia z dokładnością do 0,001 mm.

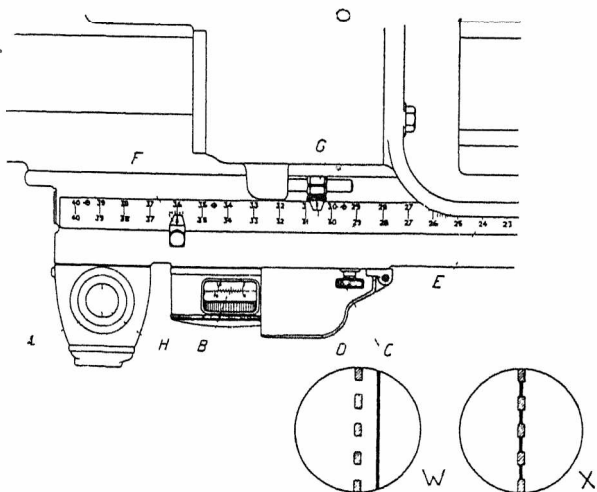
Płytkę szklaną można także przesunąć posiłkując się śrubką C, która działa niezależnie od mikromierza i umożliwia dzięki temu ustawienie skali mikromierza na zero oraz następne przesunięcie płytki w polu widzenia mikroskopu aż do pokrycia się przerywanej kreski z podziałką skali, jak to wyjaśnia rysunek 14, X.

Opisane tu urządzenie daje możność odczytywania przesunięć wyrażonych w ułamkach milimetra, to też musiało być uzupełnione dodatkową skalą do odmierzania całych milimetrów. Skala ta, o normalnej dokładności, widoczna na rys. 12 i 14, jest przymocowana do łoża maszyny.

Przyrządy pomiarowe stołu i suportu głowicy wiertarskiej są zupełnie podobne. Sposób posiłkowania się nimi najlepiej wyjaśni przykład.

Po ustawieniu i zamocowaniu przedmiotu na stole maszyny, obieramy sobie na nim punkt wyjściowy, na który naprowadzamy oś wrzeciona, przesuwając stół i suport z głowicą. Następnie wskaźnik ruchomy G ustawiamy na najbliższą pełną cyfrę na podziałce E, bębenek zaś mikromierza — na zero, poczem śrubką C przesuwamy płytkę szklaną póty, aż w obiektywie mikroskopu linja pełna pokryje się z kreskowaną. Podczas następnych czynności, aż do ukończenia całej roboty, nie można więcej poruszać śrubki C, dlatego też osłania się ją pokrywą D, pod którą można także schować okular mikroskopu, umocowanego wahadłowo w łożu maszyny.

Przypuśćmy, że wskaźnik G został nastawiony na 200, a stół ma być przesunięty o 151,692 mm. Dla pamięci ustawiamy pomocniczy wskaźnik F na skali E między wymiarem 351 i 352, a bębenek mikromierza na 0,692, następnie szybkim posuwem hydraulicznym przesuwamy stół aż wskaźnik G

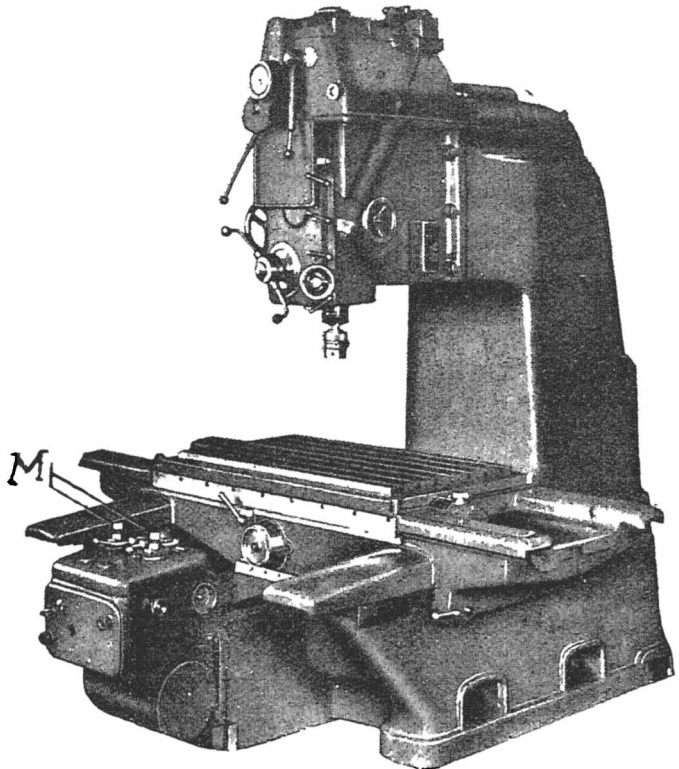


Rys. 14. Skala zewnętrzna przy łożu maszyny „Hydropitc”, mikroskop i bębenek do przesuwania płytki szklanej w mikroskopie.

W i X — obraz kreski w mikroskopie.

znajdzie się w pobliżu wymiaru 351, poczem ze znacznie zmniejszoną szybkością przesuwamy stół w dalszym ciągu póty, aż w okularze mikroskopu kreskowana linja pokryje się z pełną. W wypadku, gdy posiłkując się mechanicznym posuwem nie osiągniemyżądanego położenia stołu, możemy go wyłączyć i przesunąć stół ręcznie.

Przy pomiarze odległości 2 punktów postępowanie jest nieco inne: rozpoczynamy od nastawienia osi wrzeciona na jeden z punktów, następnie sprowadzamy skalę mikromierza do zera, ustawiamy wskaźniki G i F na ten sam okrągły wymiar



Rys. 15. Kolumnowa wiertarka optyczna f. Herbert Lindner, zaopatrzona w spiralny wzorec

na skali E, poczem przesuwamy stół tak, aby oś wrzeciona trafiła na drugi punkt, którego odległość ma być określona. Różnica położenia wskaźników G i F daje nam odległość w całkowitych milimetrach, którą uzupełniamy przez odczyt na mikromierzu po przekręceniu bębna aż do pokrycia się obu linii, widocznych w okularze mikroskopu.

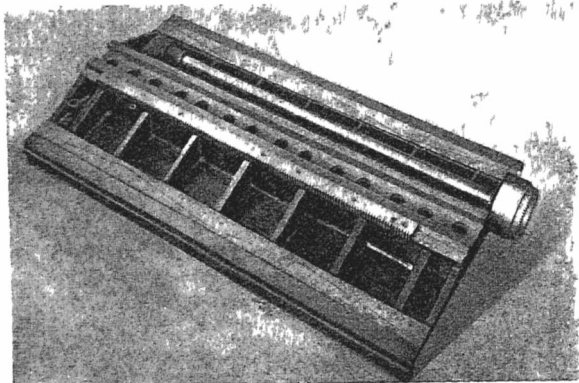
Jak widać z tego, odczyt odbywa się rzeczywiście sposobem optycznym, a elementy urządzeń pomiarowych nie ulegają zużyciu, jeśli nie brać pod uwagę zużywania się śruby mikrometrycznej w mikroskopie.

Zastosowanie kosztownych urządzeń pomiarowych miało na celu nie tylko usunięcie dawniejszych niedomagań, ale i podniesienie dokładności maszyny, to też fabryka zapewnia, że błędy przesunięć stołu i głowicy w tej maszynie nie przekraczają $\pm 0,005$ mm.

Podobne wyniki osiągnięto na optycznej wiertarce, wykonanej przez firmę Herbert Lindner, którą z kolei opisujemy.

Maszyna ta wyglądem swym przypomina pionową frezarkę o ciężkiej budowie. Stół roboczy, o powierzchni użytecznej 1100×600 mm, spoczywa na masywnym łożu z krzyżowami prowadnicami. Podłużny przesuw stołu wynosi 1 000, poprzeczny 600 mm. Głowica z wrzecionem może być przestawiana w kierunku pionowym o 500 mm, największy wysięg wrzeciona przy unieruchomionej głowicy wynosi 250 mm, najmniejsza odległość końca wrzeciona od powierzchni stołu 150, a naj-

większa 650 mm. Do napędu wrzeciona zastosowano bezstopniową przekładnię, regulowaną w granicach od 50 do 1 900 obr./min; ilość obrotów wskazuje stale specjalny licznik.



Rys. 16. Stół roboczy wiertarki Lindnera z wzorcem śrubowym.

Posuwy mechaniczne wrzeciona działają w obie strony i mogą być bezstopniowo regulowane w granicach od 0,03 do 0,18 mm/obr. Kierunek i wielkość posuwów zmienia się za pomocą kółka połączonego ze skalą.

Ciągłą regulację obrotów i posuwów osiągnięto przez zastosowanie do napędu silnika na prąd stały w połączeniu z przekładnią Heynau; w razie braku prądu stałego liczyć się trzeba z koniecznością zainstalowania specjalnej przetwornicy.

Na wiertarce Lindnera można wykonywać roboty frezarskie, bo mechanizmy napędowe stołu są tylko częściowo wykorzystane do pomiaru i nie wpływają na jego dokładność.

W skrzynce zmianowej u podstawy maszyny mieszczą się wszystkie urządzenia do sterowania silnika z przekładnią napędzającą stół w dwu prostopadłych do siebie kierunkach, liczniki przesunięć, mikroskopy do pomiaru optycznego i kółko do ręcznego ustawiania stołu.

Urządzenie pomiarowe składa się z wzorca, wykonanego w postaci wałka ze stali nierdzewiącej o lustrzanej powierzchni, na której została nacięta djamentem linja śrubowa. Grubość tej linii wynosi zaledwie 0,01 mm, a skok — dokładnie 2 mm. Oba stoły — górny i dolny — mają oddzielne wzorce, umocowane obrotowo, ale bez luzu osiowego. Tolerancja wykonania linii śrubowej na wzorcach według danych fabrycznych wynosi $\pm 0,002$ mm na 30 mm długości i $\pm 0,005$ mm na jednym metrze. Linja śrubowa na wzorcu odgrywa rolę podziałki, bębenek ze skalą i nonjuszem, stanowiący zakończenie wzorca, uzupełnia wraz z mikroskopem urządzenie pomiarowe. Mikroskop jest wbudowany w skrzynkę zmianową, składa się on z obiektywu z urządzeniem oświetlającym wzorec i okular, w którym znajduje się płytka szklana z dwiema równoległymi kreskami; płytkę tę można przesuwac w kierunku poprzecznym za pomocą specjalnej śrubki.

Patrząc przez mikroskop, widzimy oprócz równoległych kresek także część linii śrubowej na wzorcu w powiększeniu 60-krotnym. Przy obracaniu wzorca linja śrubowa przesuwa się w polu widzenia, jeden pełny obrót bębena powoduje przesunięcie o 2 mm. Przy wyjściowym położeniu linja

śrubowa powinna się znajdować dokładnie pośrodku między dwiema równoległymi; położenie takie można uzyskać przez obracanie wzorca, albo przez przesunięcie płytki. Chcąc sprowadzić skalę do zera, ustawiamy bębenek na zero i przesuwamy płytkę w obiektywie, aż linja śrubowa znajdzie się pośrodku między równoległymi kreskami.

Dwa identyczne urządzenia służą do pomiaru poprzecznych i podłużnych przesunięć stołu.

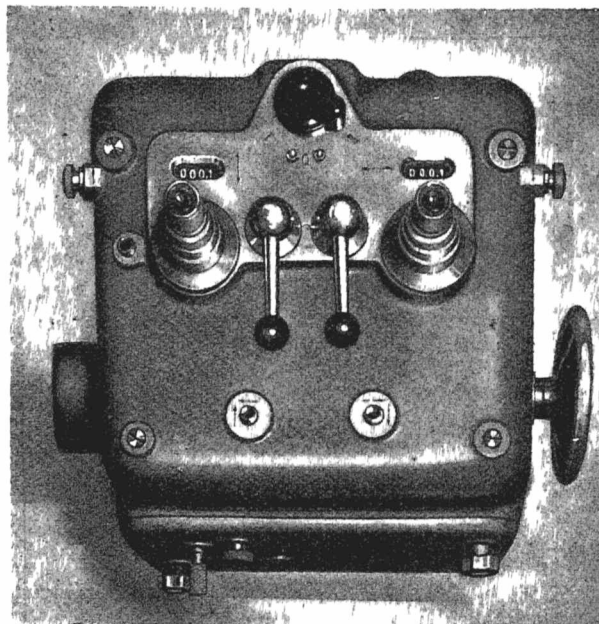
W skrzynce zmianowej mieści się 0,5-konny nawrotny silnik do napędu posuwów w obu kierunkach. Główny włącznik może być nastawiony na czas, lub na stałe, przy włączeniu na czas silnik pracuje dopóki naciskamy guzik. Zależnie od włączenia przekładni mogą być czynne oba posuwy równocześnie, lub każdy oddzielnie. Liczniki cyfrowe, widoczne na skrzynce, wskazują przesunięcia stołu w całych i pół-milimetrach, resztę odczytujemy przy pomocy urządzeń optycznych. Przez naciśnięcie guzika można w każdej chwili sprowadzić licznik do zera.

Do pomiaru przesunięć stołu służą również zewnętrzne skale, widoczne na fotografii maszyny. Oba te urządzenia wzajemnie się uzupełniają i w dużym stopniu ułatwiają pracę na wiertarce.

Przybliżone ustawienie stołu odbywa się zwykle mechanicznie z szybkością regulowaną w granicach od 40 do 360 mm/obr, ostateczne dokładne ustawienie wymaga obserwowania skali przez mikroskop i odbywa się ręcznie.

Wszystkie dźwignie i guziki do sterowania silnika, liczniki, mikroskopy i skale do odczytywania przesunięć są zgrupowane w jednym miejscu, to też obsługa maszyny jest łatwa i szybka.

Sposób posiłkowania się maszyną najlepiej wyjaśni przykład.

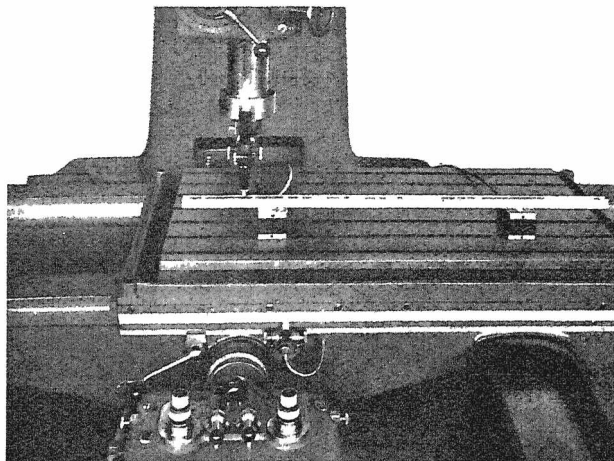


Rys. 17. Skrzynka zmianowa wiertarki optycznej Lindnera widoczne są mikroskopy i liczniki cyfrowe.

Przypuśćmy, że stół ma być przesunięty o 124,745 mm.

Przy położeniu wyjściowym śrubowa linja wzorca powinna być widoczna dokładnie pośrodku między równoległymi kreskami, jeżeli tak nie jest, — to ustawiamy bębenek na zero i przesuwamy płyt-

kę szklaną w mikroskopie, liczniki cyfrowe sprawdzamy również do zera. Ponieważ linja śrub. ma skok 2 mm, więc możemy odrazu stół przesunąć podł. wskazań licznika cyfrowego o 124 mm, aby



Rys. 18. Optyczna wiertarka Lindnera. Sprawdzanie przesunięć stołu przy pomocy mikroskopu, włożonego we wrzeciono maszyny. Na stole umocowany jest wzorzec kontrolny

potem przesunąć ręcznie o dalsze 0,745 mm; w tym celu obracamy wzorzec póty, aż linja śrubowa przesunie się w polu widzenia mikroskopu o ten wymiar, innymi słowy ustawiamy skalę bębena na 0,745 mm, poczem przesuwamy stół tak, aby linja śrubowa zajęła środkowe położenie między równoległymi kreskami.

Jak widać, sposób posiłkowania się urządzeniami pomiarowymi na maszynie Herberta Lindnera jest łatwy, pomyłki przy ustawianiu są prawie niemożliwe. Maszynę tę można uznać za jedną z najlepszych, tembardziej, że gwarantowane przez fabrykę dokładności ustawień stołu ($\pm 0,008$ mm) i rozstawienia wykonanych na niej otworów ($\pm 0,01$ mm) są naprawdę bardzo duże.

Opis optycznych urządzeń pomiarowych, zastosowanych na maszynach Société Genevoise i Herbert Lindner, nasuwa pytanie, który z tych 2 różnych systemów jest lepszy. Najprościej byłoby są-

dzić po wynikach cyfrowych, t. j. według gwarantowanej dokładności działania, ale opinia taka dałaby wyniki zależne nie tylko od koncepcji urządzeń, ale i od możliwości technicznych danej wytwórni.

Na maszynie Hydroptic urządzenie pomiarowe składa się z wzorca o podziałce milimetrowej i mikromierza do pomiaru przesunięć płytki w mikroskopie, mamy tu zatem dwa równorzędne elementy, dwa wzorce, które decydują wspólnie o wyniku pomiaru.

W wiertarce Lindnera dokładność pomiaru zależy wyłącznie od śrubowego wzorca, gdyż wielkość przesunięć płytki w mikroskopie nie odgrywa żadnej roli.

Urządzenie pomiarowe oparte na jednym wzorcu jest prostsze i powinno być dokładniejsze. Gdyby śrubowy wzorzec był wykonany z tą samą dokładnością co płaski, to maszyna jednowzorcowa napewno dałaby wyniki lepsze.

Wyniki osiągnięte przy zastosowaniu obu systemów nie odbiegają od siebie i stawiają maszyny zaopatrzone w optyczne urządzenia pomiarowe na najwyższym poziomie precyzji, zupełnie wystarczającym dla najbardziej wymagających odbiorców.

Wiertarki optyczne mogą liczyć na powodzenie, bo dają większą dokładność, większy zakres pracy i większą trwałość urządzeń mierniczych, niż dotychczasowe maszyny.

Progress réalisés dans la construction des machines à pointer

R é s u m é :

Ayant montré les inconvénients des méthodes précédentes de la localisation des trous au perçage, l'auteur décrit les nouvelles machines à pointer qui permettent à exécuter ce travail d'une manière beaucoup plus rapide et précise. Il s'occupe d'abord de la machine construite par la Société Genevoise à 2 broches verticales et une horizontale et de son mécanisme optique, ainsi que de la machine de l'usine H. Lindner. Ensuite il passe aux machines plus récentes, notamment à la machine à pointer nommée „Hydroptic” (Société Genevoise) et à celle de la maison Lindner, munie aussi d'un mécanisme optique de réglage.

La description de leurs mécanismes et fonctionnement est accompagnée des données sur leur précision du travail.

DZIAŁ SPRAWOZDAWCZY

Stalowe obrycze spawane do kół pojazdów ciężkich*)

Inż. J. Polkowski

Uwagi o spawaniu. — Dobór spawa. — Badanie spoeń. — Wnioski.

WREFERACIE jest stosowane następujące mianownictwo: spoiwo = materiał dodawany („druć”, „elektrody”), materiał macierzysty = materiał przedmiotu spawanego, spoina = materiał połączenia dodany (spoiwo po przetopieniu), spojenie = układ niejednorodny, złożony z materiałów: macierzystego, przejścia i spoiny. Oznaczenie: spojenie 1045 + 2115 = materiał macierzysty, stal marki 1045, spojony spoiwem ze stali marki 2115.

Oznaczenie materiałów użyto według norm amerykańskich S. A. E.

Obrycze są wykonywane ze stali węglistej marki 1045. Materiał ten posiada następujące cechy:

1) Skład chemiczny: 0,4 ÷ 0,5% C, 0,15 ÷ 0,35% Si, 0,4 ÷ 0,8 Mn, 0,04% P, 0,04% S, max. P + S = 0,07%.

Z punktu widzenia spawania na uwagę zasługuje wysoka zawartość węgla.

2) Własności mechaniczne ¹⁾ (stan normalizowany):

Wytrzymałość R_p kg/mm ²	Gr. płynności Q_p kg/mm ²	Wydłużenie		Udarność U_B kg/cm ²	Twardość H_B kg/mm ²
		A_{10} %	A_5 %		
60—(72)	≥ 35	≥ 16	≥ 19	ok. 8 — 6	≥ 170

*) Referat wygłoszony na IX Zjeździe Inż. Mech. Polskich.

¹⁾ Pręta ϕ 40 mm.

Materiał ten podczas pracy obręczy jest przede wszystkim narażony na zgniot.

Wymiar średnicy D obręczy wynosi około 1 300 mm. Wymiary przekroju (rys. 1) w zależności od przeznaczenia są nast.:



Rys. 1.
Przekrój obręczy.

Grubość g mm	14	15	16	21
Szerokość l mm	80	150	62	60

Najtrudniejsze w spawaniu są przekroje 15×150 oraz 21×60 ze względu na maksymalne wymiary w kierunku szerokości lub grubości.

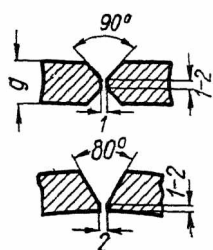
Wytwarzanie obręczy obejmuje nast. czynności:

- 1) Walcowanie płaskownika o określonych wymiarach przekroju i pocięcie na odcinki większe od obwodu (πD) obręczy o ok. 3%, ze względu na skurcz płaskownika przy kształtowaniu go w obręcz.
- 2) Ukosowanie na szlifierce jednego końca płaskownika.
- 3) Kształtowanie na gorąco obręczy.
- 4) Znaczenie (trasowanie) długości obwodu i obcinanie na wymiar (tlenem).
- 5) Ukosowanie drugiego końca.
- 6) Oznaczenie obręczy numerem i znaczenie linii spawania.
- 7) Spawanie płomieniem.
- 8) Ulepszenie spojenia.
- 9) Równanie obręczy.
- 10) Badanie spojenia.

Operacja spawania.

Obręcze są spawane płomieniem acetylenowo-tlenowym. Początkowo stosowano metodę „w lewo”, następnie jednak, od r. 1935, wprowadzono metodę „w prawo”. Za najważniejsze jej zalety są uważane: ciągłość, dostępność i szybkość spawania. Pogląd ten oczekuje obecnie na potwierdzenie w praktyce.

Krawędzie spawane ukosuje się. Przy spawaniu w lewo na X, wykonywa się kąt żłobka 90° , przy spawaniu zaś w prawo — na V — kąt żłobka 80° . Wykonanie ukosowania na V jest łatwiejsze.



Rys. 2.
Krawędzie zukosowane.

Przedmiot w miejscu spawania ogrzewa się na większej powierzchni, krawędzie łączone dogrzewa się stopniowo do temp. 600° , a następnie możliwie szybko do stanu topliwości.

Przy spawaniu w lewo miejsce spawane, w celu ułatwienia czynności, ustawia się nie poziomo, lecz pochyło w górę.

Przy spawaniu w prawo samo spawanie odbywa się szybciej. Użycie podczas spawania pomocniczego źródła ciepła w postaci dodatkowego płomienia jest wskazane.

Rozchód czasu i materiałów na jedną spoinę o wym. 14×80 mm przy spawaniu w prawo wynosi: około 24 min, 340 l acetyleny, 375 l tlenu. Przy spawaniu w lewo rozchód czasu i gazów jest

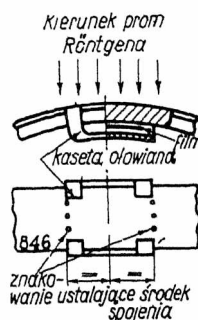
o ok. 25% wyższy, rozchód spoiwa o ok. 25% niższy (mniej na objętość spojenia X niż V).

Ulepszenie spojenia ma przebieg następujący: 1) stopniowe zagrzanie do ok. 600° , potem 2) szybkie — do ok. $1\ 000^\circ$, 3) krótkie wytrzymanie w tej temperaturze, 4) kucie w zakresie ok. $1\ 000 - 880^\circ$, 5) studzenie na powietrzu do ok. 700° , poczem 6) powolne studzenie w ciepłym po-
piele.

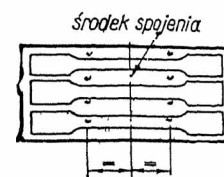
Przekuwanie odbywa się przez gładzik w kowadle — matrycy.

Wszystkie wykonane obręcze poddaje się próbom rentgenograficznym i próbom na manezu.

Każde spojenie zostaje sfotografowane przy pomocy promieni Röntgena. Na podstawie tych zdjęć mogą być wykrywane takie wady, jak pory, żuźle, pęknięcia, a nawet niedopojenia.



Rys. 3.
Schemat badania rentgenograficznego.



Rys. 4.
Próbki wytrzymałościowe wycięte ze spojenia.

Spojenie bez tych wad jest zaliczane do I klasy dobroci; z kilkoma drobnymi porami lub żuźlami — do II kl.; z kilkoma żuźlami lub porami średniej wielkości — do III kl. Trzecia klasa spojenia uznaje się za najniższą, którą oddaje się odbiorcy. Spoiny z nadmiernymi wadami, zaliczane do IV i V kl., zostają usunięte i ponownie wykonane (określenie środka spoiny jest ułatwione na podstawie wykonanych przed spawaniem znakowań).

Próba na manezu polega na przetaczaniu obciążonego zestawu kołowego w ciągu 1 godz. po bruku z kostki granitowej ciosanej. Szybkość manezowania wynosi ok. 12 km/godz.

Próby do badań wytrzymałościowych w ilości 5% pobiera się ze spoin III kl. Spojenie uznaje się za dostateczne, o ile wytrzymałość R_s spojenia nie jest niższa od 50 kg/mm^2 , co stanowi od 83 do 70% wytrzymałości materiału macierzystego, i o ile wydłużenie A_{10} nie jest niższe od 3%.

Dobór spoiwa.

Od spoiwa wogóle jest wymagane: 1) podobieństwo własności spojenia do własności materiału macierzystego bądź w zakresie mechanicznym (np. wytrzymałość), bądź chemicznym (np. kwasoodporność), lub obu naraz, oraz 2) niezawodność.²⁾

Spoivo należy dobierać przede wszystkim według głównej cechy materiału macierzystego. Jest nią dla obręczy odporność na zgniot przy naklepie. Cecha ta jest zależna od twardości, odporności na ścieranie i odporności na uderzenie. Wytrzymałość na rozciąganie w danym wypadku jest cechą uboczną.

²⁾ Własność polegająca na jaknajmniejszej ilości braków przy przeciętnych warunkach wytwórczości (produkcji).

Podobieństwo w zakresie chemicznym nie ma tu istotnego znaczenia. Przykład: spoiwo o zawartości C — 0,32%; Ni — 1,62% w praktyce okazało się zawodne (będzie o niem mowa).

Spoiwa, zajmując wąski pasek, jest tylko w małym stopniu narażona na zgniot przez naklep. Może więc posiadać niższą odporność w tym kierunku.

Wychodząc z tych założeń, użyto początkowo, jako spoiwa, stali o niskiej zawartości węgla, m. 1010. Spoiwo to odznaczało się wielką niezawodnością.

Z chwilą postawienia wymagań co do zbliżonych własności mechanicznych spojenia z materiałem macierzystym, kładąc przede wszystkim nacisk na wytrzymałość, użyto kolejno do wytwarzania obręczy następujących spoiw:

TABELA I.
Skład chem. i własności mech. spoiw.

Spoiwo, znak	Składniki, %						Przybliż. własności mechaniczne (stan normalizowany)				
	C	Si	Mn	P	S	Ni	Mo	Q_r kg/mm ²	R_r kg/mm ²	U kg/cm ²	H_B kg/mm ²
2	0,32	0,24	0,60	0,011	0,008	1,62	0	30	60		175
3	0,07	0,14	0,34	0,015	0,012	1,86	0,20		47		
4	0,15	0,04	0,25	0,018	0,008	2,37	0,18				
5	0,13	0,23	0,50	0,014	0,011	1,75	0	≤ 55			≤ 162

Każde spoiwo zawiera domieszkę uszlachetniającą niklu dla podniesienia wartości R_r , Q_r , A i U . Spoiwo Nr. 2 wyróżnia się znaczną zawartością węgla (tylko nieco niższą od materiału macierzystego). Pozostałe spoiwa posiadają nieznaczne zawartości węgla. Spoiwo 3 i 4 — domieszkę Mo, głównie dla podniesienia U . Spoiwa 3 i 4, a w szczególności 4, posiadają małą zawartość Si, co — można było zgóry przewidywać — jest w danym wypadku okolicznością ujemną. Przed zastosowaniem każdego z tych spoiw były przeprowadzane badania: 1) własności mechanicznych i 2) budowy materiału (struktury) spojen. Uzyskane wyniki były podstawą do wprowadzenia każdego z tych spoiw do produkcji. Badanie spoiwa Nr. 2 było pierwsze i najbardziej wszechstronne. Zawodność tego spoiwa w produkcji stała się powodem do dalszych badań: spoiw Nr. 3, potem 4 i wreszcie 5, które okazało się najlepsze.

TABELA III.
Podział spojen kl. III według własności wytrzymałościowych.

Spoiwo, znak	Og. ilość zerwanych próbek, szt.	% próbek przypadających na poszczególne grupy wytrzymałości i wydłużenia					
		$R_r < 46^*)$ kg/mm ² (50)	$46 \leq R_r \leq 60$ (50)	$R_r > 60$	$A_{10} < 3\%$	$3 \leq A_{10} \leq 5$	$A_{10} > 5$
2	24	17 (25) (min. $R_r = 39,1$ kg/mm ²)	54 (46)	29 (max. 65,3)	42 (min. $A_{10} 1,63\%$)	33	25 (max. 7,64)
3	19	42 (53) (min. 42)	58 (47) (max. 56,4)	0	32 (min. 1,87)	53	15 (max. 7,57)
4	6	16 (33) (min. 42,2)	67 (50)	17 (max. 60,2)	33 (min. 2)	50	17 (max. 5,62)
5	30	10 (26) (min. 40,2)	83 (67)	7 (max. 1,56)	3 (min. 1,56)	17	80 (max. 9,6)

*) Wartość graniczna, stanowiąca 70% przeciętnej — 65 kg/mm².

Wyniki badań niezawodności.

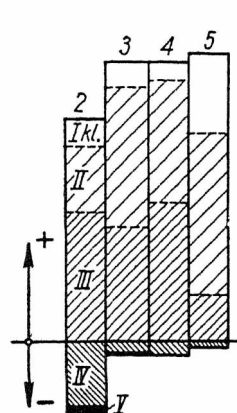
Na podstawie badań rentgenograficznych podział spojen według klas dobroci przy zastosowaniu poszczególnych spoiw przedstawia się następująco:

TABELA II.
Podział spojen według jakości.

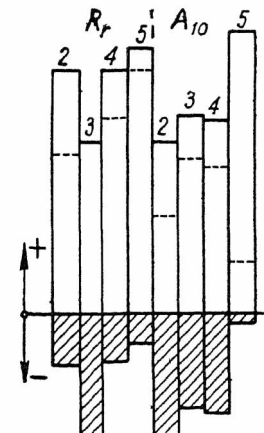
Spoiwo, znak	Ogólna ilość spojen szt.	Jakość spojen, %				
		I kl.	II kl.	III kl.	IV kl.	V kl.
2	181	8	22	44	23	2
3	106	9	47	39	4	1
4	83	6	42	47	5	0
5	380	28	55	15	2	0

Spojenia ze spoiwa Nr. 2 (C = 0,32; Ni = 1,62%) posiadały w 23% wady w postaci nadmiernej ilości por lub żużli i w 2% — w postaci pęknięć. Spojenia ze spoiwa Nr. 3 (C = 0,07; Ni = 1,86; Mo = 0,20%) posiadały już tylko w 4% wady w postaci nadmiernej ilości por lub żużli i 1 spojenie z pęknięciem (poprzednio spójone spoiwem Nr. 2). Spoiwo Nr. 4 (C = 0,15; Si = 0,04; Ni = 2,37; Mo = 0,18%) dało w 5% wady w postaci żużli i rysek powierzchniowych. Spojenia ze spoiwa Nr. 5 (C = 0,13; Ni = 1,75%) wykazały tylko w 2% własności niedostateczne.

Wyniki te zostały przedstawione wykresnie na rys. 5.



Rys. 5. Wyniki klasyfikacji spojen różnymi spoiwami według badań rentgenograficznych.



Rys. 6. Klasyfikacja wytrzymałościowa spojen III kl. z różnych spoiw.

Na podstawie badań wytrzymałościowych podział spojen III-ciej kl. dla poszczególnych spoiw przedstawia się, jak wskazuje tab. III:

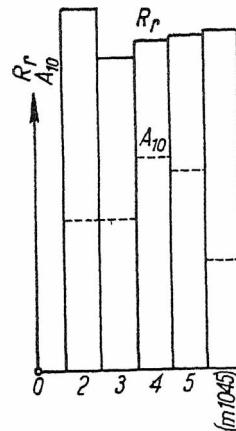
Spoiwo Nr. 5, obecnie stosowane, jest najbardziej niezawodne. W badaniach rentgenograficznych okazało się niedostateczne tylko w 2%. W badaniach wytrzymałościowych (nad spojeniami III kl.) — w 10% (względnie w 3% — jeżeli chodzi o wydłużenie).

Badania spoeń.

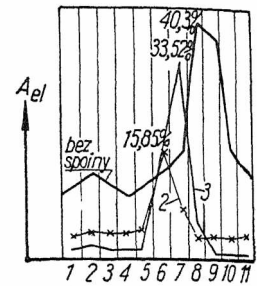
Badania spoeń objęły ich cechy następujące: wytrzymałość na rozciąganie, wydłużenie, twardość, udarność i strukturę.

Badania przeprowadzono na próbkach z materiału obřeczowego ze spoiną pośrodku. W tym celu spawano po dwa odcinki tego materiału o wymiarach $110 \times 80 \times 14$ odpowiednim spoiwem z zachowaniem zwykłych warunków spawania obřeczy. Wybierano zapomocą badania rentgenograficznego spojenia I kl. i pobierano z nich odpowiednie próby badawcze.

I. Do prób wytrzymałości na rozciąganie użyto próbek 10-krotnych***) o przekroju 10×10 mm w warunkach normalnych, t. j. ok. 15°C . Wyniki wskazuje poniższe zestawienie.



Rys. 7. Wyniki wytrzymałościowych badań spoeń.



Rys. 8. Wydłużenia centymetrowych podziałek spoeń.

TABELA IV.
Wytrzymałość i wydłużenie spoeń.

Probka spawana		Q_r	R_r	A_{10}	A_5	U W A G I
Spoiwo Nr.	Znak	kg/mm ²	kg/mm ²	%	%	
(stal m. 1045)	3 PB 3 PS	38,0	57,3 42,6	3,7 1,3		
2	17 PB	41,5	*) 60,1 60,7 49,8 61,7 63,4	4,72 3,27 2,00 6,54 6,08		27 P — wielki stopień przekucia w praktyce niemożliwy
	26 PB	40,4				
	26 PS	39,5				
	27 PB	45,8				
	22 PS	44,8				
3	34 P1	40,6	51,7 45,7 54,3	3,27 1,36 6,90		
	34 P2	41,7				
	34 P3	40,7				
4	38 PB	41,1	56,2 56,9 47,6 55,1	7,36 8,00 4,54 7,10	10,52 10,90 6,92 9,65	38 P — spojona acetylenem z butli
	38 PS	40,2				
	39 PB	38,8				
	39 PS	38,7				
5	36 PB	38,0	57,7 56,4	7,17 6,18	10,90 8,54	T1 i T2 — spojone metodą w prawo
	36 PS	36,4				
5	T 1B	42,8	60,6 59,4 62,5 60,8	5,82 5,00 5,92 7,00	9,46 8,38 9,27 9,82	
	T 1S	40,7				
	T 2B	45,5				
	T 2S	43,2				

*) Wartości średnie, po odrzuceniu wyników daleko odbiegających.

Wszystkie spojenia wykazały znaczne Q_r , zbliżone do materiału macierzystego, a R_r nieco niższe. Po odrzuceniu wyników daleko odbiegających i wyprowadzeniu wartości średnich nasuwają się takie wnioski: R_r najwyższe daje spoiwo Nr. 2, potem spoiwo Nr. 5; A_{10} najwyższe — sp. 4, potem spoiwo Nr. 5 (spojenie 1045 + 1045 wykazało niskie wartości Q_r i A_{10}). Stąd wynika, że spoiwo Nr. 5 wykazało optimum własności.

II. Badania wydłużenia miały na celu ustalenie wartości A_{10} poszczególnych części spojenia, mianowicie: materiału macierzystego, przejścia i spoiny. Wartość A_{10} nie charakteryzuje w sposób wyraźny wydłużenia samej spoiny.

Wydłużenia poszczególnych podziałek centymetrowych zerwanej próbki zmierzono przy pomocy mikroskopu, przesuwanego wzdłuż podziałki milimetrowej.

TABELA V.
Wyniki badań wydłużania spoeń.

Probka spawana		Wydłużenie jednostkowe podziałek centymetrowych, %											U w a g i
Spoiwo Nr.	Znak	1	2	3	4	5	6	7	8	9	10	11	
2	30 P1	3,85	4,50	4,40	4,05	4,60	15,85	7,50	3,35	3,65	3,25	3,65	Zerwanie przez spoinę na 6 podziałce. $R_r=59,2$; $A_{10}=5,5$. Zerwanie przez spoinę na 7 podziałce. $R_r=54,3$; $A_{10}=6,9$. Zerwanie pomiędzy podz. 8 a 9. $R_r=65,2$; $A_{10}=19,73$
3	34 P3	1,85	2,20	1,85	1,40	1,85	17,55	33,52	5,15	0,90	1,05	1,35	
Próbka bez spoiny, m. 1045	31 P1	12,20	14,50	11,65	10,70	12,40	14,75	18,52	40,30	37,95	18,50	14,10	

**) W przybliżeniu.

Z danych tych wynika, że spoina 2 jest mało ciągliwa. Udział w wydłużeniu materiału macierzystego wynosi $\frac{\Sigma A_{el}}{n} = \frac{35,3\%}{11 \text{ cm}} = 3,2\%$ (60%), a spoiny $\frac{23,35}{11} = 2,12\%$ (40%). Ze spoiny Nr. 3 spoiny są znacznie ciągliwsze. Udział w wydłużeniu materiału macierzystego stanowi $\frac{13,6}{11} = 1,63\%$ (26%), spoiny zaś $\frac{51,07}{11} = 4,65\%$ (74%). Najwyższe wydłużenie jednostkowe 33,52% na spoinie jest bliskie do wydłużenia materiału bez spoiny, które wynosi 40,3%. Warunki wydłużenia spoiny są gorsze niż materiału jednorodnego.

III. Badanie twardości (w war. normalnych) dało wyniki następujące:

TABELA VI
Wyniki badań twardości spoiw.

Probka spawana		Twardość HB	
Spoivo Nr.	Znak	Spoina	Materiał macierzysty
4	38 P	156	179
	39 P	156	179
5	E1/1	156	170
	E1/2	163	170
	E1/3	156	170

IV. Badanie udarności. Karby wykonane w środku spoiny. Warunki badań — normalne. Wyniki podaje tabela poniższa.

TABELA VI
Wyniki badań udarności.

Probka spawana		Udar- ność U kgm, cm ²	Z i o m	U w a g i
Spoivo Nr.	Znak			
(Stal m. 1045)	3P	1,41	Gr. ziarnisty	
2	17P	2,31	Obw. mat. śr. ziar.	
	26P	3,14	Ziarnisty	27P wielki stopień przekucia w praktyce niemożliwy
3	27P	6,31	"	
	34P1	6,42	Obw. mat. śr. ziar.	
4	34P2	5,03	"	
	38P1	9,14	Mat. ziarnisty	38P spoina acetylenem z butli
5	38P2	6,73	"	
	39P1	6,57	"	
	39P2	5,77	"	
	36P2	5,60	"	
	36P2	2,31	"	
	T1B	7,47	"	T1 i T2 spojone met „w prawo“
	T1S	7,28	"	
	T2B	7,00	"	
	T2S	5,36	"	

Udarności spoiny jest zbliżona do udarności mat. macierzystego lub wyższa. Spoiny ze spoiny 3, 4 i 5 wykazały względnie równomierne wyniki. (Spojenie 1045 + 1045 wykazało wartości najniższe).

Łącząc wyniki badań twardości i udarności oraz uwzględniając wzrost odporności na ścieranie wskutek domieszki Ni, należy wyciągnąć wniosek, że spojenie ze spoiny Nr. 5 ma odporność na zgniot przez naklep zbliżoną do mat. macierzystego.

V. Nadto wykonano badanie udarności w zakresie temp. 15—800°C w celu ustalenia, czy w zakresie wyższych temperatur nie zachodzi zjawisko nadmiernej kruchości w porównaniu do materiału mac. Badanie przeprowadzono na skutek tego, że obręcz jest nasadzana na gorąco i uderzenia przy tej czynności są możliwe.

Próbki udarnościowe pobrano ze spoiny oraz z materiału jednorodnego (bez spoiny). Ogrzewano je palnikiem i łamano w chwili osiągnięcia temperatur badania. Temperaturę mierzono przy pomocy obwodu z termoparą i galwanometrem.

Wyniki podaje poniższa tabela VIII.

TABELA VIII
Wyniki badań udarności spoiw w wyższych temperaturach.

Probka	Tempe- ratura °C	Udar- ność U kgm cm ²	Z i o m	U w a g i	
Spawana spoiwem Nr. 2	12P1	17	3,61	Mat. ziarnisty	
	12P2	150	7,03	Mat. ciągliwy	
	12P3	300	5,95		Wada spawania
	20P1	370	3,70	Z pow. utleniania się, złomu nie określono	T e z
	21P1	370	6,93		Złe uderzenie młotem
	13P1	400	5,56		T e z
	14P1	400	4,28		Wada spawania
	13P2	450	3,89		T e z
	14P2	450	3,67		"
	20P2	495	4,27		"
	21P2	495	4,22		"
	13P3	500	2,97		Wada spawania
	14P3	500	4,08		Też i złe uderzenie
	14P4	550	4,01		Wada spawania
	13P5	600	20,00		Zły odczyt, temp na oko - 600°
	21P3	615	5,33		Wada spawania
	20P4	733	22,10		Pr nie złamała się
	21P4	733	15,23		Wada spawania
	12P5	800	12,60		T e z
	20P5	850	16,10		Pr nie złamała się
21P5	850	8,47		Wada spawania	
Jednorodna (niespawana)	16P1	19	3,89	Mat. ziarnisty	
	22P10	15	4,93	Mat. ziarnisty	
	16P2	150	8,33	Mat. ciągl.	
	22P1	370	6,78	Z pow. utleniania się, złomu nie określono	
	22P2	370	6,83	T e z	15P6 złe uderzenie młotem
	15P6	400	8,05	"	
	15P2	450	6,42	"	
	22P3	492	4,76	"	
	22P4	495	4,58	"	
	15P3	500	4,57	"	
	15P8	500	4,65	"	
	15P4	550	7,53	"	15P4 złe uderzenie młotem
	15P9	550	5,05	"	
	22P5	553	4,45	"	
	22P6	553	4,83	"	15P5 nie złamała się, zły odczyt, na oko 600°
15P5	600	35,00	"		
15P10	600	12,00	"		
16P4	700	26,30	"		
22P7	733	26,20	"		
22P8	733	26,30	"	16P4, 22P7, 22P8, 22P9 nie złamały się	
16P5	800	32,30	"		
22P9	965	17,55	"		

Spoina ze spoiny 2 w zakresie temp. 15—850°C nadmiernej kruchości w porównaniu do mat. macierzystego nie ma. Najniższa wartość udarności spoiny występuje ok. 450°C i jest tego rzędu co i w warunkach normalnych (15°C). Przebieg krzywej udarności materiału spojonego — podobny do przebiegu krzywej materiału jednorodnego (bez spoiny).

VI Badanie struktury materiałów spoiny. Badaniom poddano materiał macierzysty, materiał przejścia i spoiny. Mikrofotografie wykazały budowę drobnoziarnistą wszystkich trzech miejsc badanych, złożoną z perlitu i ferrytu, oraz niewidoczną lub prawie niewidoczną granicę przejścia. Wobec tego uznano strukturę spoiny za dobrą.

Wnioski.

Na podstawie omówionych badań można wnioskować, że spoinie 1045 + Nr. 5 jest najlepsze. Odnacza się ono dobrymi, albo dostatecznymi własnościami mechanicznymi i najwyższą niezawodnością.

Pozatem można twierdzić, że przyczyną zawodności spoiwa Nr. 2 jest wysoka zawartość węgla, a spoiwa Nr. 3 i 4 — domieszka molibdenu oraz niska zawartość krzemu (szczególnie w spoiwie Nr. 4).

Rola krzemu jest ochronna. Zauważono bowiem, że spoiwo Nr. 5 daje na kąpieli stopionego metalu

lekki „kożuszek”, którego spoiwa Nr. 3 i 4 nie tworzą.

Molibden, posiadając wielkie powinowactwo do tlenu, może tworzyć w spoinie zanieczyszczenia w postaci tlenków, powodujących przerwy w materiale. Stwierdzono bowiem w spoinie (przewszystkiem ze spoiwa Nr. 4) skłonność do powstawania podczas kucia rysek powierzchniowych. Jest to zresztą zjawisko charakterystyczne dla molibdenu.

Znaczna zawartość węgla w spoiwie może być przyczyną nadmiernej ilości por w spoinie.

PRZEGLĄD CZASOPISM TECHNICZNYCH

METALOZNAWSTWO

Wpływ kształtu próbki, sposobu zamocowania, szybkości obciążania oraz rodzaju maszyny na położenie górnej i dolnej granicy płynności stali.

Trudności dokładnego określania granicy płynności skłoniły Niemiecki Związek Badań Materjałów do wyjaśnienia czynników, które mają znaczenie przy wyznaczaniu tej granicy. Badania były przeprowadzone przez 4 stacje doświadczalne na kilku różnych typach maszyn.

Pierwsze próby dotyczyły próbek cylindrycznych o średnicy 20 mm ze stożkiem przejściowym o długości 55 mm, sprzyjającym powstawaniu możliwie dużych różnic między górną a dolną granicą płynności.

Jako materiał do badań wzięto kruppowskie miękkie żelazo WW i średnio twardą stal węglistą A 50 o zawartości 0,25% C, normalnie wyżarzane.

Z prób z żelazem miękkim wynika, że wpływ maszyny na położenie dolnej granicy płynności jest słaby, podczas gdy na położenie górnej granicy jest bardzo duży. Jednak nawet maszyny tego samego typu nie zachowują się jednakowo, gdyż grają tu rolę wpływy zewnętrzne, jak np. wstrząśnienia (silnik elektryczny i pompa w bezpośredniej bliskości maszyny, zbyt długi wał napędowy od silnika i t. p.).

Wydaje się, że szybkość obciążania nie wpływa w sposób wyraźny na dolną granicę płynności, podczas gdy górna granica przy dużej szybkości obciążania zostaje podwyższona. Naprzykład, przy wzroście szybkości obciążania od 1,1 do 9,4 kg/mm²sek, na 50-tonnowej maszynie f. Mohr-Federhaff z napędem hydraulicznym i manometrem rtęciowym, górna granica płynności wzrosła z 32,2 do 37,9 kg/mm², podczas gdy dolna granica nie uległa wyraźnej zmianie, wobec czego rozpiętość między granicami wzrosła z 9,6 na 16,4 kg/mm².

Stoczenie na próbce stożka przejściowego do główki wywołuje zmniejszenie rozpiętości między granicami płynności; słabiej w tym kierunku działa wybicie punktami wgłębień dla oznaczenia długości pomiarowej, a także postukiwanie w próbkę podczas obciążenia. Przy badaniu na 50-tonnowej maszynie Amsler'a z napędem od akumulatora i manometrem wahadłowym, rozpiętość między granicami płynności wahała się między 6,4 a 12,8 kg/mm². Próbka postukiwana dała rozpiętość między granicami płynności 7,3 kg/mm², próbka z oznaczoną punktem długością pomiarową — 4,2 kg/mm². Na innej maszynie tegoż typu, gdy rozpiętość między granicami wynosiła od 9,8 do 12,0 kg/mm²,

przez stoczenie stożka przejściowego uzyskano różnicę granic 2,9 kg/mm².

Stosunek górnej granicy płynności do wytrzymałości na rozciąganie dość często dochodzi do 100% lub trochę powyżej, w jednym zaś wypadku osiągnął aż 112% (masz. Mohr-Federhaff przy szybkości obciążania 9,4 kg/mm²sek).

Próby ze stalą A 50 wykazują niższą rozpiętość między granicami płynności, niż dla żelaza miękkiego WW. Stosunek górnej granicy płynności do wytrzymałości na rozciąganie nie przekraczał nigdy 84%. Wielkość rozpiętości między granicami płynności, również i w tym materiale, jest w dużym stopniu zależna nie tylko od typu maszyny, ale i od specjalnych warunków (np. od napędu maszyny). Jednak i tu mamy wpływ szybkości obciążania na zwiększenie tej rozpiętości. Naprzykład przy badaniu na 50-tonnowej maszynie Pohlmeier'a z napędem od akumulatora i dynamometrem wahadłowym przy wzroście szybkości obciążania od 0,5 do 4,7 kg/mm²sek górna granica płynności wzrosła z 31,8 na 37,9 kg/mm², a rozpiętość między granicami z około 3,7 na 7,7 kg/mm².

Dalsza grupa prób dotyczyła próbek prostokątnych. Pierwszy szereg prób obejmował próbki z miękkiego żelaza WW o przekroju 18 × 18 mm i 34 × 9 mm. Przejście do główki długości 15 mm.

Próby z żelazem miękkim wskazują, że rozpiętość między granicami płynności przy uchwytach gwintowych jest większa, niż przy uchwytach o szczękach klinowych, dla pierwszych wynosi ona od 2 do 2,5 kg/mm², dla drugich 0,2 do 1,5 kg/mm², przy szybkości obciążania 1 kg/mm²sek. Również zamocowanie w uchwytach gwintowych daje wyższe wartości górnej granicy płynności, niż zamocowanie w uchwytach o szczękach klinowych. Różnica wartości górnej granicy płynności, dolnej granicy płynności i wytrzymałości na rozciąganie między próbką płaską a kwadratową jest mniejsza przy zamocowaniu gwintowym, niż szczękowym. Dla obu rodzajów zamocowań próbka kwadratowa daje wyższe wartości.

Przy zwiększającej się szybkości obciążania występuje w wielu wypadkach podwyższenie wartości górnej granicy płynności, dolna zaś granica i wytrzymałość pozostają niezmiennione, bądź wykazują również pewien wzrost z rosnącą szybkością. Największa rozpiętość między granicami płynności wynosiła 4 kg/mm² dla próbki kwadratowej, 2,5 kg/mm² dla prostokątnej o stosunku boków 1 : 4, przy szybkości obciążania 0,5 do 0,6 kg/mm²sek. Przez użycie więc próbki o stosunku boków 1 : 4 możemy w sposób wyraźny obniżyć wyskok górnej granicy płynności.

Streszczając, można powiedzieć, że próbki o prze-

kroju kołowym ze stożkiem przejściowym z kruppowskiego miękkiego żelaza i średnio twardej stali wykazują wyraźny wpływ typu maszyny na położenie górnej granicy płynności, podczas gdy na dolną granicę wpływ ten jest słaby. Przy próbkach prostokątnych ze stali St. 50 (z domieszką chromu i miedzi, o wytrzymał. 50 kg/mm², wyżarzanej w 850° i chłodzonej w piecu) wpływ typu maszyny na górną i dolną granicę płynności jest bądź żaden, bądź słaby.

Wpływ szybkości obciążania na położenie górnej i dolnej granicy płynności nie wpływa jednoznacznie ze wszystkich prób. W ogólności z rosnącą szybkością obciążania górna granica się podwyższa, podczas gdy dolna granica pozostaje bez zmiany, lub podwyższa się tylko słabo.

Przez użycie próbek prostokątnych, o stosunku boków 1:4, rozpiętość między górną i dolną granicą płynności daje się obniżyć w stopniu wystarczającym do celów praktycznych.

Próbka kwadratowa daje przeważnie wyższe wartości górnej i dolnej granicy płynności, a także większą rozpiętość między granicami niż próbka płaska.

Wpływ sposobu zamocowania w uchwytach maszyny wytrzymałościowej na położenie górnej i dolnej granicy płynności, przy próbkach prostokątnych, jest słaby. (F. Körber i A. Pomp. Mitt. K. W. Inst. f. Eisenforsch., tom XVI, zesz. 16). J. S.

OBRÓBKA METALI

Metalizowanie i jego zastosowanie.

Metalizowanie doznało w ostatnich latach znacznego udoskonalenia i zyskało na rozpowszechnieniu. Ważnym warunkiem wykonania tego zabiegu jest dobre przygotowanie powierzchni przeznaczonych do metalizowania. Najlepiej nadać jej szorstkość zapomocą piaskozłazki, poczem poddać metalizowaniu nie później niż w ciągu 24 godz., ażeby się nie wytworzyły tymczasem zanieczyszczenia powierzchni lub nie nastąpiło jej utlenienie. Przedmioty walcowe najlepiej przygotować do metalizowania i natryskiwać zamocowane na tokarce. Wówczas napierw zdejmuje się z nich wiór o grubości 0,8 mm na każde 25 mm średnicy, następnie nacina się gwint o skoku 1 mm. Toczyć należy na sucho, by powierzchnia była szorstka. Po tem przygotowaniu zamocowuje się pistolet do natryskiwania na podporcie i przesuwając go posuwem 1,5 — 3 mm/obr. wzdłuż przedmiotu obrabianego. Przed nałożeniem każdej następnej warstwy przedmiot powinien ostygnąć.

Opisane z cytowanym artykule przykłady zastosowań metalizowania wskazują możliwości, jakie ta metoda daje. Autor przytacza mian. opis wykonania „pierścienia stalowego” na kołnierzu bębna przez natryskiwanie dwoma pistoletami na karuzelówce, dalej opis doprowadzenia wału turbiny w dławnicy do pierwotnej grubości bez jego wyjmowania, wreszcie pokrycia wnętrza rury powłoką ze stopu miedzi zapomocą wirującej dyszy, przyczem doprowadzono do dyszy kilka drutów z różnych metali.

Artykuł zawiera wskazówki co do grubości drutu, używanego do metalizowania, posuwów, stosowanych tworzyw, uzyskiwanych własności wytrzymałościowych i t. p. (Machinist, 8 czerwca 1935 r., str. 360). C. Z.

ORGANIZACJA I KIEROWNICTWO

Zakłócanie pracy przez hałas, wywołany przez maszyny.

Stopień zakłócenia pracy przez hałasującą maszynę zależy w znacznej mierze od hałasów, wywołanych przez inne maszyny, pracujące w pobliżu. Naprz. 10 maszyn do pisanania, z których każda wytwarza hałas o głośności 60 fo-

nów, razem dają wrażenie hałasu 70 fonów.*) Gdy bowiem do hałasu jednej maszyny dołącza się stuk innej, rosnący od zera do pewnej wartości maksymalnej, to z początku stuku tego nie słyszy się wcale, dopóki nie przewyższy on panującego już w danym pomieszczeniu hałasu. To też należy mieć na uwadze, że urządzeń tłumiących hałas nie potrzeba stosować do wszystkich maszyn, pracujących w pewnym lokalu, lecz trzeba najpierw zająć się maszyną najbardziej hałasliwą i zmniejszyć rozprzestrzenianie się jej hałasu przez użycie tworzyw elastycznych.

Autor opisuje dwa rodzaje tłumików hałasu. Jeden z nich polega na zastosowaniu podkładki pod maszynę, przyczem drgania pochłaniają sprężyny, a hałas powstrzymuje mniej sprężysta masa. Im niższa jest częstotliwość drgań wytworzonych, tem miększe powinny być sprężyny i tem trudniej tłumić hałas. Artykuł zawiera wzory, służące do ustalenia właściwych wymiarów tłumika. (Génie Civ. 27 lipca 1935 r., str. 85).

SAMOCHODNICTWO

Raid międzynarodowy przy użyciu paliw zastępczych.

W dn. 25 czerwca — 16 lipca r. b. odbył się IX-ty z kolei międzynarodowy raid samochodowy, mający na celu zbadanie stanu zastosowań paliw zastępczych, a więc innych niż benzyna, w samochodownictwie. Trasa raidu była następująca: Rzym — Florencja — Padwa — Wenecja — Weron — Brescia — Medjolan — Turyn — Grenoble — Lyon — Besançon — Nancy — Luxembourg — Bruksela — Cambrai — Rouen — Le Mans — Paryż; jej długość wynosiła ok. 2750 km.

Już raid poprzedni, z r. 1934, dał wyniki interesujące, które pozwoliły sformułować opinię dodatnią o paliwach zastępczych, zarówno ciekłych, jak i stałych i gazowych. W szczególności pierwsze zasługiwały na wyróżnienie, jako odznaczające się wysokimi własnościami antydetonacyjnymi, co pozwala na większy stopień sprężenia niż przy użyciu benzyny, a więc daje wyższą sprawność, kompensującą niższą wartość opałową; jedynie zastosowanie oleju gazowego do silników o wtrysku bezpośrednim nie zostało jeszcze uznane za opanowane. Co zaś do paliw stałych, odgazowywanych w generatorach, to stwierdzono znaczny postęp ich zastosowania i możliwość użycia ich również w samochodach osobowych. Paliwo gazowe wykazało szczególnie dodatnie cechy niskiego rozchodu i możliwości łatwego prowadzenia wozu. Wreszcie samochody elektryczne uznano za konstrukcyjnie zwarte, łatwe w prowadzeniu i oszczędne.

Wnioski te miały być bliżej zbadane podczas próby tegorocznej. Dopuszczone do niej paliwa dzieliły się na 3 zasadnicze kategorie: stałych, ciekłych i gazowych, przyczem mieszanki mogły zawierać mniej niż 70% benzyny. Próba miała być tylko praktycznym sprawdzeniem zastosowania danego paliwa, bez podziału pojazdów według szybkości jazdy lub spożycia środków napędnych. Wozy więc dzielono na 4 klasy: 1) turystyczne, 2) autobusy lekkie, 3) autobusy ciężkie i 4) ciężarówki ciężkie. Podwozie miało być produkcji seryjnej, pojemność skokowa cylindrów pojazdów turystycznych — max. 4 l, ciężar bez ładunku max. 2,2 t, karoserja — na 4 osoby; wozy klas 2-jej i 3-jej miały być wyposażone w silniki max. 6 l, ciężar z ładunkiem miał wy-

*) Fon jest to jednostka głośności, służąca do pomiarów wrażeń akustycznych, równa $20 \log \frac{P_1}{P_2}$ gdzie P_1 i P_2 — ciśnienia fal akustycznych, odpowiadające natężeniu dźwięku badanego (P_1) i minimum słyszalności (P_2), czyli t. zw. dolnemu progowi słyszalności. (Przyp. Red.).

nosić 6,5 t, liczba miejsc 12 ÷ 18; ciężar wozów ciężarowych ciężkich był ograniczony przepisami drogowymi krajów, przez które przechodziła trasa raidu. Szybkość handlowa była przepisana: 42 ÷ 50 km/h dla klasy 1-ej, 32 ÷ 40 dla 2-ej, 32 ÷ 35 dla 3-ciej i 20 ÷ 25 dla 4-tej.

W próbie wzięły udział samochody francuskie, belgijskie i włoskie.

Wyniki raidu.

W dziale paliw ciekłych zbadano: na wozach francuskich — alkohol metylowy, nabol i olej z łupków bitumicznych; stwierdzono, że alkohol metylowy jest paliwem możliwym, lecz wobec niskiej wartości opałowej daje znacznie mniejszą moc i gorszy zryw; natomiast zastosowany w mieszance podwójnej lub potrójnej daje wyniki znacznie lepsze; olej łupkowy, zastosowany w silnikach wtryskowych, daje wyniki zadowalające; spaliny są ciemne nawet przy pełnym obciążeniu i dużej szybkości jazdy; na samochodach włoskich użyto mieszanek podwójnych oraz potrójnych o znacznej zawartości alkoholu metylowego i etylowego; stopień sprężania — ok. 7, rozruch — na zimno; paliwa te dały wyniki zupełnie zadowalające na wozach turystycznych i lżejszych autobusach; paliwa belgijskie były nast.: mieszanka benzol-alkohol metylowy w proporcji 60:40; olej gazowy; olej z roślin egzotycznych (arachisowy) — wszystkie w zastosowaniu do pojazdów ciężarowych.

W dziale paliw stałych figurowały następujące: 1) drzewo, 2) węgiel drzewny i 3) paliwo mineralne (półkoks, antracyt). Drzewo zastosowano w 2 samochodach osobowych i 4-ch ciężarówkach Berliet'a oraz w jednej ciężarówce Alfa-Romeo. W pojazdach osobowych generator gazu umieszczono na miejscu tylnego kufra. Prowadzenie wozu było łatwe, uruchomienie — możliwe po 5 ÷ 8 min od chwili zapalenia paliwa; zapas paliwa — 90 kg, rozchód — 37 kg na 100 km. W nowych generatorach Berliet'a udoskonalono oczyszczanie gazu (pierścienie Raschiga); wymiary kawałków drzewa: 3 × 6 cm, jego wilgotność — do 30%. Alfa Romeo wyposażono w generator francuski syst. Imberta. Działanie generatorów uznano za zadowalające, a wielkość zajmowanego przez nie miejsca — za dopuszczalną. Wyniki jazdy uzyskano nast.: Berliet osobowy na szosie — 60 km/h, na autodromie — 77 do 82 km/h, rozchód paliwa odp. 37 i 30 kg/h; ciężarówki Berliet'a (6 l, 4 t ładowności) dały 48 km/h na autodromie, zaś 38 km/h na szosie, przy rozchodzie paliwa odp. 87 i 75 kg h i promieniu jazdy 150 km. Alfa Romeo dał nieco gorsze wyniki: 45 i 35 km/h, 115 kg/h i 130 km. Czas rozruchu: 5 ÷ 8 min.

Generatory na węgiel drzewny miały wozy: Panhard (franc.) oraz Dux, Eva i Nostrum (włoskie). Pierwszy (5 t, 6,3 l pojemn., stop. spręż. 9) wykazał się pracą bardzo regularną. Generatory włoskie pracowały z wtryskiem wody, zawartej w zbiorniku o pojemn. 18 l; zużycie wody w gen. Dux wahało się od 13 do 20 l na 100 km, należało więc dość często jej dobierać; generator Eva był uzupełniony zbiornikiem alkoholu etylowego, mającego wzbogacać gaz w razie potrzeby, i miałym zbiorniczkiem benzyny do rozruchu. Rozchód paliwa wyniósł: 21 kg węgla, 2 l alkoholu i 1 l wody (silnik Fiat 6 cyl., o pojemn. 3,7 l, dający szybkość 54 km/h); generator Nostrum ma odwrotny bieg spalin, zużywa dużo wody, w pracy wykazał się dużą regularnością. Silniki z generatorami na węgiel drzewny, półkoks lub antracyt (Gohin-Poulenc) pracowały w ciągu pierwszych 5 ÷ 6 min na benzynie, zasysając powietrze przez generator. Samochody z temi generatorami (Latil i Panhard) dały wyniki pomyślne; rozchód paliwa: przy szybkości 25 km/h — 49 kg węgla drzewnego, przy 30 km h

— 54 kg antracytu, lub 45 kg antracytu i 24 kg węgla drzewnego (Latil).

Co się tyczy paliwa gazowego, to interesujące jest zastosowanie dlań zbiorników z lekkich stopów: samochód Citroën C4 był wyposażony w 9 butli 10½-litrowych i 5,5 litrowych, wykonanych ze stopu aluminjowo-magnezowego i wzmocnionych, mieszczących 15,7 m³ gazu sprężonego do 200 kg/cm² i ważących 55 kg, gdy ciężarówka Latil (5 t ładowności, silnik 6 l, stopień spręż. 6,3) zawierała 12 butli stalowych o wadze 950 kg wraz z mieszalnikiem Panhard'a. Autobus Latil o 15 miejscach, o ciężarze całkowitym 3 t, z silnikiem 2,2 l o 2500 obr./min wyposażony był w butle aluminjowe, wzmocnione przez owinięcie drutem stalowym, o pojemności po 15 l, wypelnione gazem sprężonym do 200 at, o ciężarze łącznym zaledwie 150 kg. Ciężar butli jest oczywiście czynnikiem bardzo ważnym; butle na ciśnienie 200 kg/cm² ważą: stalowe zwykle 10 kg na 1 m³ pojemności, stalowe wzmocnione przez owinięcie — 5 kg, aluminjowo-magnezowe wzmocnione — 3 kg. Drugim ważnym zagadnieniem jest wartość opałowa gazu; w danym razie zastosowano: metan, gaz koksowniczy, gaz miejski (4000 Kal) i gaz ziemny (10000 Kal). Zasilanie w drodze odbywało się na stacjach, zaopatrzonych w zbiorniki gazu sprężonego do 250 at. Stwierdzono, że prowadzenie wozu jest równie łatwe jak na benzynie, rozruch jest bardzo łatwy, zryw — szybki.

W ogólnych wnioskach zostały potwierdzone wyniki raidu zeszłorocznego. Nadto stwierdzono wybitną stałość włoskich mieszanek podwójnych i potrójnych, osiągniętą dzięki właściwemu ujęciu warunków cieplnych ich wyrobu, przodowanie konstrukcji generatorów francuskich oraz możliwość użycia olejów łupkowych do silników wtryskowych. Jako ujemną stronę raidu, wymienić należy brak prób paliw syntetycznych, wyrabianych na wielką skalę w Niemczech. (Techn. Moderne, 1935, zes. 17, str. 587 8).

M.

KONGRESY I ZJAZDY

VII Międzynarodowy Kongres Górnictwa, Metalurgji i Geologii stosowanej

VII Międzynarodowy Kongres górnictwa, metalurgji i geologii stosowanej odbył się w Paryżu w dniach 20 — 26 października 1935 r. W obecności Prezydenta Republiki francuskiej p. A. Lebruna dokonano uroczystego otwarcia Kongresu w salach Sorbony. Obrady Kongresu trwały 5 dni przy współdziałaniu przedstawicieli 47 narodów, przyczem ilość uczestników przekroczyła 1500 osób.

Organizacja Kongresu spoczywała w rękach Komitetu Głównego z prezesem p. Leonem Guilletem na czele. Z Komitetem Głównym współpracowały Komitety miejscowe, utworzone w szeregu państw; prezesem polskiego Komitetu był p. inż. E. Górkiwicz.

Polska delegacja należała do najliczniejszych, wyrażała się liczbą 23 członków i zgłosiła kilkanaście referatów. Przedstawicielstwo Rządu Polskiego piastował Prof. Dr. W. Broniewski, zamianowany następnie wiceprezesem honorowym Kongresu.

Obrady Kongresu ujawniły ogromny postęp w rozwoju poszczególnych gałęzi wiedzy technicznej. Ośrodki zainteresowania stanowiły przeważnie referaty o charakterze syntetycznym, bądź tematy dotyczące zagadnień stosowania zdobyczy naukowych w praktyce.

Z pośród Polaków, którzy zgłosili swe prace w sekcji metalurgicznej, czytamy nazwiska: Prof. Dr. W. Broniewskiego, Prof. Dr. A. Krupkowskiego, Prof. Dr. W. Łoskiewicza i Prof. Dr. A. Skąpskiego.

Największy sukces osiągnął Prof. W. Broniewski, którego referat o związkach chemicznych w stopach wywołał ożywioną dyskusję, trwającą dłużej niż godzinę. Ta pełnia uznania dla naszego zasłużonego na polu nauki rodaka znalazła swój wyraz w końcowym przemówieniu prezesa sekcji metalurgicznej Prof. A. Portevina, który wśród ogółu wszyst-

kich prac złożonych na Kongres specjalnie wyróżnił referat Prof. W. Broniewskiego, cytując obok jego nazwiska tylko 2 cudzoziemskie (Bajkowa i — zdaje się — Maurera).

Organizacja Kongresu była wzorowa. Obok korzyści naukowych, uczestnicy wnieśli miłe wspomnienia z pobytu w Paryżu, dzięki wycieczkom do Wersalu, Chantilly i t. p. Niemało ciekawego materiału dostarczyło też członkom Kongresu zwiedzanie hut francuskich oraz zapoznanie się z organizacją wyższych szkół technicznych.

Następny Kongres oczekiwany jest za lat 5 (w roku 1940) w Rzymie.

Prace tegorocznego Kongresu zebrane są w każdej sekcji w dwóch tomach, z których jeden, zawierający komunikaty oficjalne, już się ukazał.

A. K.

LISTY DO REDAKCJI

W sprawie artykułu pp. Dr. Inż. W. Wrażeja i H. Hoffmana.

W numerze 17 z dnia 10 września b. r., na str. 602 ukazał się artykuł pp. Dr. Inż. W. Wrażeja i H. Hoffmana p. t. „Wpływ długości pomiarowej na wydłużenie stali konstrukcyjnych”, który z zainteresowaniem przeczytałem, tembardziej, że autorzy starali się sprawdzić dokładność moich wzorów, podanych w „Przeglądzie Mechanicznym”, r. 1935, Nr. 2, na str. 51.

Skontrolowawszy jednak tablice, zestawione przez pp. Dr. Inż. W. Wrażeja i H. Hoffmana, ze zdumieniem stwierdziłem, że podane w nich wartości obliczone są błędnie.

Jako przykład, załączam tu część tablicy IV z kolumną 4 i 8. Punktami wyjściowymi w tej tablicy są dla autorów dane, charakteryzujące próbę rozerwania próbek „pięciokrotnych” ($l_0 = 5 d_0$). Wychodząc z tych założeń, obliczono według różnych wzorów wydłużalność, którą powinna mieć próbka „dziesięciokrotna” ($l_0 = 10 d_0$), celem porównania tych wielkości z wydłużalnością, znaną doświadczalnie.

Dla jaśniejszego przedstawienia dzielę dalsze wywody na człony.

1) Wzory, na których opierali się pp. Dr. Inż. W. Wrażej i H. Hoffman w obliczeniu kolumny 4 i 8 wspomnianej tablicy IV, są w całości przytoczone w ich artykule:

$$A_m = a + \frac{1 - C^{-a}}{km \left(\frac{1 - C^{-a}}{1 - C} - a \right) + 1} \dots (4)$$

$$k = 0,5 + 0,85 \sqrt{\frac{1}{C^{-a} - 1}} \dots (8)$$

gdzie A_m — względna wydłużalność próbki m -krotnej przy rozerwaniu, C — przewężenie w szyjce rozerwania, a i k — współczynniki.

2) Jako przykład, weźmy obliczenie pierwszej wartości kolumny 4 i 8 tab. IV artykułu pp. Dr. Inż. W. Wrażeja i H. Hoffmana: stal 1015 N, $m = 5$, $A_m = 0,355$, $C = 0,687$. Mając te liczby, zgodnie z (4) i (8), otrzymujemy współczynniki $a = 0,188$, $k = 1,10$. Stąd

$$A_m = 0,188 + \frac{2,007}{2,21 m + 1}$$

podstawiając $m = 10$, znajdujemy $A_{10} = 0,275$, czyli $A_{10} = 27,5\%$, a nie, jak to mylnie wyliczyli pp. Dr. Inż. W. Wrażej i H. Hoffman, $A_{10} = 23,8\%$. Różnica pomiędzy wartością A_{10} , znaną doświadczalnie, a obliczoną przezemnie, wynosi $29,8 - 27,5 = 2,3\%$, podczas gdy z danych powyższych autorów wynika błędnie $29,8 - 23,8 = 6,0\%$.

Według więc obliczeń pp. Dr. Inż. W. Wrażeja i H. Hoffmana, pozorne odstępstwo wyników doświadczalnych od obliczeń na podstawie mego wzoru zostało sztucznie powiększone $6 : 2,3 = 2,7$ razy.

3) Ponieważ cała kolumna (4) i (8) w artykule pp. Dr. Inż. W. Wrażeja i H. Hoffmana została obliczona błędnie, wobec tego poczuwam się do obowiązku sprostowania jej w sposób podany wyżej w drugim punkcie. W załączonej, poprawionej przezemnie części tablicy IV znakiem „Wr” oznaczam wartości błędne, obliczone przez Autorów, znakiem zaś „Kr” — moje wyliczenia.

Porównując te wyniki z danymi doświadczalnymi, odpowiadającymi próbce A_{10} , dochodzimy do konkluzji, że odstępstwo wyników doświadczalnych od obliczeń według moich wzorów niestusznie powiększono 2,1 razy.

TABELA 4

Wydłużenie $A_5\%$ mierzone na próbce $l = 5 d$ i przeliczone na A_{10}

Stal	Wyniki pomiarów na $l = 5 d_0$		$A_{10}\%$ mierzone na próbkach długich	$A_{10}\%$ obliczone wzorami	
	$A_5\%$	$C\%$		(4) (8)	(4) (8)
1 015 N	35,5	68,7	29,8	23,8	27,5
1 015 H _w	21,5	62,8	15,5	11,6	14,1
1 035 N	27,5	52,3	23,4	22,0	21,6
1 035 T	26,9	66,9	20,3	23,9	19,2
1 055 N	22,6	45,0	19,0	16,8	17,5
1 055 T	20,1	56,4	15,6	18,9	13,6
2 320 M	32,1	72,1	25,0	25,9	23,6
2 320 T	24,9	71,4	17,2	21,1	16,5
3 135 M	26,6	61,1	19,4	21,6	18,9
3 135 T	21,6	70,7	15,2	22,5	13,2
3 435 M	25,8	63,8	20,0	20,8	18,5
3 435 T	20,1	63,2	14,1	16,0	12,3
				Wr.	Kr.

4) Podając swój wzór (8), zwróciłem w swym artykule uwagę, że bynajmniej nie uważam doświadczalnych współczynników 0,5 i 0,85 za niewzruszalne, tembardziej, że wprowadzone one zostały z małej ilości doświadczeń, opartych głównie na innych metalach, jak miedź, glin, mosiądz i t. d., wśród których była tylko jedna próbka stalowa. Pomimo jednak szczupłej ilości dysponowanego przezemnie materiału, jak można osądzić z porównania poprawionej kolumny (4) i (8) tablicy IV z danymi doświadczalnymi, zgodność moich wzorów jest raczej zadowalająca.

Kończąc to sprostowanie, dochodzę na podstawie obliczeń do wniosku, że sugestje, które wynikają z artykułu pp. Dr. Inż. W. Wrażeja i H. Hoffmana, głoszone też ustnie poprzednio w odczycie pp. Autorów na zjeździe I. M. P., żadną miarą nie odpowiadają rzeczywistości.

A. Krupkowski

Odpowiedź

W sprawie listu P. Prof. Dr. Krupkowskiego, dotyczącego naszego artykułu, wyjaśniamy nasze stanowisko w tej sprawie następująco:

Do obliczenia kolumny (4) (8) Tab. IV zastosowano podane przez P. Prof. Krupkowskiego wzory:

$$A_m = a + \frac{\frac{c}{1-c} - a}{mk \left(\frac{c}{1-c} - a \right) + 1} \dots (4)$$

przyczem $m = 10$, oraz

$$a = \frac{\frac{c}{1-c} \cdot \frac{c_s}{1-c_s} - A_5^2}{\frac{c}{1-c} + \frac{c_s}{1-c_s} - 2 A_5} \dots (6)$$

$$k = 0,5 + 0,85 \sqrt{\frac{1}{\frac{c}{1-c} - a}} \dots (8)$$

Wartości A_{10} podane w kolumnie (4) (7) uzyskano również ze wzorów (4) (6), lecz według

$$k = \frac{1}{5} \left(\frac{1}{A_5 - a} - \frac{1}{\frac{c}{1-c} - a} \right) \dots (7)$$

Czyli obliczenie obu kolumn (4) (7) i (4) (8) postępowano równoległe przy dwu różnych wartościach współczynnika k . W ten sposób w przykładzie, omówionym w liście P. Prof. Krupkowskiego, otrzymujemy dla pierwszej pozycji kolumny (4) (8) tab. IV przy $c = 0,687$, $c_s = 0,146$, $A_5 = 0,355$:
 $a = 0,151$

i według wzoru (8) $k = 1,10$,

$$\text{poczem } A_{10} = 0,151 + \frac{2,039}{10 \times 1,10 \times 2,039 + 1} = 0,238.$$

W ten sam sposób uzyskuje się i dalsze wartości kolumny (4) (7) „Wr”.

Jak wynika z podanych przez P. Prof. Krupkowskiego rezultatów operowania między wzorami (4) i (8) przy $m = 5$, użyta przez nas metoda stosowania tych wzorów, polegająca na bezpośrednim wyznaczeniu we wzorze (4) wartości a z pierwszego przybliżenia (wzór 6) — daje wyniki niezadowalające. Jednak konieczność stosowania dalszych

przybliżeń lub też eliminowania a z rachunku A_{10} w drodze odnajdywania różnicy $A_5 - A_{10}$, nie wydaje się a priori oczywista. Wynika to dopiero z niniejszej dyskusji.

Wł. Wrażeń, H. Hoffman.

Z LITERATURY GOSPODARCZEJ

Rynek spożycia krajowego.

Artykuł, zamieszczony pod tym tytułem w tygodniku „Polska Gospodarcza” (z dnia 9 listopada b. r.), nawiązuje do znanego przemówienia wicepremiera Kwiatkowskiego na temat „dwóch państw” gospodarczych w obrębie Polski i dla zilustrowania tej dysproporcji podaje odpowiedni materiał cyfrowy, który — jako istotnie interesujący — przytaczamy w tabelce poniżej.

Spożycie na 1 mieszk. w r. 1933	W województwach			
	zachodnich	centralnych	południowych	wschodnich
Węgla kam. kg	1919	465	292	52
Żelaza handl. „	6,21	4,18	2,16	1,18
Nafty	3,58	3,66	4,04	2,83
Benzyliny	3,81	2,4	1,63	0,62
Cukru	13,46	10,11	6,75	3,96
Spirytusu	1,2	—	—	0,49
Tytoniu	25,72	—	—	7,14

„Z porównań tego spożycia wynika — stwierdza autor, — że istotnie rynek krajowy pod tym względem podzielony jest na dwie części — zachodnią i wschodnią, w której konsumpcja jest rażąco niższa”. W analizie przyczyn tego zjawiska, a już szczególnie we wskazaniach, zmierzających do zniwelowania tych różnic, nie znajdujemy nowych myśli. Autor porównuje woj. wschodnie z rynkami naszego zbytu eksportowego i uważa, że „tak samo jak przemysł umiał zdobyć sobie trwałe i poważne miejsce na rynkach zbytu eksportowego, tak również musi zdobyć rynek konsumpcji wewnętrznej, a w szczególności w tych częściach kraju, gdzie spożycie daleko odbiega od polskiego poziomu przeciętnego”. Otóż to porównanie nie jest słuszne: naszych kresów nie można przecież porównywać ze Szwecją, Anglią czy którymkolwiek z naszych rynków eksportowych. Proces pogłębiania się konsumpcji wyrobów przemysłowych na danym terenie odbywa się według stałych praw ekonomicznych; odnosi się to zarówno do terenów, leżących poza, jak i wewnątrz granic danego państwa. To „drugie państwo” w obrębie Polski może się więc stać konsumentem wyrobów przemysłowych „pierwszego państwa”,

gdą albo się zacznie samo *uprzemysławiać*, albo bardzo *zintensyfikuje* swoje *rolnictwo*. Spożycie artykułów przemysłowych na danym terenie wzrasta automatycznie, gdy tylko rozpocznie się tam proces industrializacji (np. Niemcy od połowy XIX wieku), albo gdy na danym terenie ludność przechodzi do bardzo intensywnej gospodarki rolnej (np. Danja z końcem ub. stulecia). Prawa ekonomiczne, które obowiązują w stosunkach handlowych pomiędzy państwami, stosują się również do stosunków międzydzielnicowych w obrębie jednego państwa. „Inicjatywa i energia wytwórcy” pomóc nie może, gdy brak podstawowych warunków gospodarczych dla wchłonięcia większej ilości artykułów przemysłowych.

B.

ŻYCIE GOSPODARCZE W LICZBACH

Sądząc, że pismo nasze powinno m. in. przynosić również informacje, dotyczące główniejszych wskaźników stanu gospodarczego kraju, a przede wszystkim stanu gospodarczego przemysłu metalowego przetwórczego, rozpoczynamy na naszych łamach nową rubrykę pod nazwą „Życie gospodarcze w liczbach”.

W rubryce tej zbierać będziemy ważniejsze dane, charakteryzujące sytuację przemysłowo-gospodarczą, w postaci możliwie najzupełniejszej, w oparciu o miarodajne materiały oficjalne.

Praca*)

	I	II	III	IV	V
Liczba zatrudnionych w przemyśle metalowym (w tys.)	56	59	61	62	64
„ poszukujących pracy robotników przemysłowych (w tys.) zarejestrowanych	441	458	448	416	364
Przeciętne zarobki godzinne w przemyśle metalowym (w zł.)	0,75	0,74	0,74		

Przewozy kolejowe**)

	21—31 VIII	1—10 IX	11—20 IX	21—31 IX	1—10 X	11—20 X
Przeciętne dziennie tysięcy wagonów rzecz.						
Ogółem (łącznie z przewozami w obrębie w. m. Gdańska)	12,6	12,1	14,0	11,8	13,1	13,0
a) przewieziono w kraju	9,1	8,8	10,5	8,5	9,7	9,8
w tem węgla	1,8	2,2	2,6	2,3	2,8	2,4
drzewa	0,6	0,7	0,7	0,5	0,6	0,8
b) wywieziono zagranicę	2,1	2,0	2,0	1,8	1,9	1,9
w tem węgla	1,4	1,5	1,4	1,3	1,3	1,3
drzewa	0,3	0,2	0,2	0,1	0,2	0,2
c) przywieziono z zagranicy	0,2	0,2	0,2	0,2	0,2	0,2
d) Tranzyt	1,2	1,1	1,3	1,3	1,3	1,1

Wytwórczość***)

	I	II	III	IV	V	VI	VII	VIII	IX
Wskaźnik ogólny prod. przemysłowej	59,6	62,4	64,7	66,5	65,0	67,7	65,5	66,9	69,0
„ „ „ dóbr wytwórcz.	54,1	54,4	56,3	59,9	59,2	62,0	61,2	62,4	64,0
„ „ „ spożycia	61,9	67,1	73,8	74,9	72,9	74,1	68,8	72,0	73,7
„ inwestycyjj maszyn przem.	32,2	36,3	36,3	35,3	39,6	37,7	34,4	35,7	
„ ogólny cen hurt. (1928=100)	52,7	52,2	52,1	52,2	52,7	52,6	52,9	53,6	54,2

*) Statystyka Pracy 1935 zes. 2. **) Wiadomości Statystyczne 15.XI. 1935.

***) Konjunktura Gospodarcza — Miesięczne Tablice Statystyczne 1935 (październik).

TREŚĆ:

- Rozważania teoretyczne nad analizą spalania, nap. Dr. Inż. B. Szczeniowski.
- Własności kutech stopów lekkich w wyższych temperaturach, nap. Inż. E. Perchorowicz.
- Postępy budowy wiertarek dokładnych, nap. Inż. A. Rościszewski.
- Stalowe obręcze spawane do kół pojazdów ciężkich, nap. Inż. J. Polkowski.
- Przegląd czasopism technicznych.
- Kongresy i Zjazdy.
- Listy do Redakcji.
- Z literatury gospodarczej.
- Życie gospodarcze w liczbach.
- Wiadomości SIMP.

SOMMAIRE:

- Considérations théoriques sur l'analyse des produits de la combustion (à suivre), par M. B. Szczeniowski, Dr. ès sc. techn., Ingénieur mécanicien.
- Propriétés physiques aux hautes températures des alliages légers forgés, par M. E. Perchorowicz, Ingénieur métallurgiste.
- Progrès réalisés dans la construction des machines à pointer, par M. A. Rościszewski.
- Sur la soudure des bandages en acier pour les roues des voitures lourdes, par M. J. Polkowski, Ingénieur mécanicien.
- Revue documentaire.
- Congrès nationaux et internationaux.
- Correspondance.
- Bibliographie.
- Indices économiques.
- Bulletin de la Société des Ingénieurs Mécaniciens Polonais (SIMP).

Inżynierowie mechanicy składają hołd prochom Wodza Narodu

DZIEN 11 listopada, siedemnasta rocznica odzyskania Niepodległości, święto tak pełne radości, płynącej z wiary w siły i przyszłość

Narodu, przeżyliśmy z myślą o Tym, który, stworzywszy czyn zbrojny, jako Pierwszy Naczelnik Państwa i zwycięski Wódz, położył jego podwaliny, nie ustając nigdy w ich umacnianiu. Sześć miesięcy temu odszedł On od nas na zawsze.

Wśród niezliczonych przejawów najgłębszej czciwdzięczności,

jaką cały Naród tak żywiłowo złożył pamięci Wodza, najwymowniejszym jest podjęcie prastarym zwyczajem sypania kopca.

Nieprzerwany pochód pielgrzymek przewija się przez krakowski Sowiniec.

Inżynierowie mechanicy polscy, łącząc się z całym Narodem w najgłębszej żałobie po stracie Wodza, postanowili złożyć w przeddzień Święta Niepodległości hołd jego prochom, udając się na Wawel i sypiąc ziemię na Sowińcu.

Temu, który, wywalczony Niepodległość, wskazał na wysiłek pracy, jako warunek Jej utrwaleńia, i który sam był nie-



Członkowie SIMP biorą udział w sypaniu kopca na Sowińcu

dośćgłym dla nas wzorem pracy i bezgranicznego poświęcenia dla Ojczyzny, — po wieczne czasy cześć i chwała!

Sprawozdanie z wycieczki SIMP na Sowiniec

DNIA 9 b. m. o godzinie 23 m. 10 z dworca Wschodniego na Pradze wyruszyli uczestnicy wycieczki SIMP sypialnym pociągami popularnym z Warszawy do Krakowa. Po drodze w Skarżysku przyłączyła się grupa kolegów z tamtejszego ośrodka przemysłowego. Poza to do wycieczki przyłączyli się koledzy z ośrodka Lwowskiego, Krakowskiego i Śląskiego już w samym Krakowie. Część uczestników wycieczki przybyła do Krakowa samochodami i również przyłączyła się do wycieczki w Krakowie. Szereg kolegów wzięło udział w wycieczce z rodzinami.

Po spożyciu wspólnego śniadania na dworcu w Krakowie o godz. 8-ej wycieczka wyruszyła na zwiedzenie miasta. Grupami zwiedzano kościół Marjacki, Sukiennice, Bibliotekę Jagiellońską i

szereg innych ciekawych zabytków prastarego grodu Jagiellonów. Na godzinę 10 punktualnie zbrali się uczestnicy wycieczki przed Wawelem, skąd wyruszone autobusami na Sowiniec.

Przy pięknej ciepłej pogodzie jesiennej udali się uczestnicy wycieczki na Kopiec Marszałka Józefa Piłsudskiego, gdzie dokonano kilku pamiątkowych zdjęć. Następnie wszyscy uczestnicy wycieczki SIMP wzięli udział w sypaniu kopca.

Po złożeniu ziemi, zgodnie ze wskazówkami instruktorów budowy Kopca, i odstąpieniu taczek, uczestnicy udali się do pawilonu kierownictwa budowy Kopca na Sowińcu i złożyli w księdze pamiątkowej swe podpisy, uwieczniając udział SIMP w budowie Kopca Józefa Piłsudskiego.



Wycieczka SIMP na Sowincu

Po powrocie autobusami do Krakowa o godz. 14 spożyto w restauracji Hawełki wspólny obiad.

Po wypoczynku udali się wszyscy wspólnie na

wycieczki z Warszawy zebrali się już w pociągu, który wyruszył z Krakowa o godz. 22 m. 30, przybывая do Warszawy o 6 rano.

Wawel, gdzie w krypcie św. Leonarda złożyli hołd prochom Marszałka.

Następnie udali się uczestnicy na Zamek Królewski, gdzie zwiedzono odrestaurowane komnaty i wysłuchano objaśnień członka Towarzystwa Krajoznawczego Krakowskiego, który oprowadzał uczestników po Zamku. Wobec późnej pory Zamek był oświetlony rżęsiście i przy wieczornem oświetleniu jeszcze majestatyczniejszy przedstawiał widok. Opuszczając Zamek, przeszli uczestnicy wycieczki wzdłuż krąganków podwórca, cudownie oświetlonych księżycem. U stóp Wawelu, rżęsiście iluminowanego światłem reflektorów, rozwiązała się wycieczka SIMP. Uczestnicy wy-

Ku wzmoczeniu naszej tężyzny organizacyjnej

Gdy przeciwstawimy sobie nasze siły i nasze zadania, stwierdzimy łatwo, iż wielkie pole pracy, jakie oczekuje SIMP, nie będzie mogło być należycie uprawione, dopóki siły naszej organizacji nie wzrosną jeszcze wielokrotnie.

To przeświadczenie nakazuje nam zwrócić znów uwagę na potrzebę dalszego pomnożenia naszych szeregów. Jest ono możliwe i nietrudne. Rzucamy tedy hasło:

Niech każdy członek SIMP

zjedna conajmniej jednego nowego członka organizacji!

ZYCIE społeczne naszego świata inżynierskiego, po pewnym osłabieniu, właściwym okresowi wakacyjnemu, zabiło ostatnio znowu żywszem tętnem. W naszym ściślejszem kole inżynierów mechaników polskich ożywienie to wyraziło się nietylko rozpoczęciem od września naszych cotygodniowych zebrań odczytowo-dyskusyjnych w Warszawie i w oddziałach prowincjonalnych, nietylko w zorganizowaniu niezwykle udanej wycieczki licznej grupy naszych Kolegów do Belgii i Niemiec, lecz również w zorganizowaniu Oddziału Warszawskiego SIMP i nadewszystko w ostatecznym i pomyślnym rozwiązaniu sprawy przystąpienia do SIMP wszystkich członków Stowarzyszenia Inżynierów Wychowanków Wydziału Mechanicznego Politechniki Warszawskiej, którzy dotychczas do naszej organizacji nie należeli. Zawiązanie w łonie SIMP koła koleżeńskiego wychowanków stołecznej uczelni, które miało miejsce w ostatnich dniach, stało się bezpośrednim następstwem owego zbiorowego przystąpienia do SIMP silnie liczebnie grupy naszych kolegów.

Sprawa ta, będąca uwieńczeniem naszego wspólnego i obustronnego wysiłku, posiada dla naszego życia organizacyjnego znaczenie o wiele większe,

niżby ze związanego z tem wzrostu liczebności naszego Stowarzyszenia mogło to wynikać.

Rozumiemy aż nadto dobrze, iż istnienie obok siebie dwóch niezależnych organizacji inżynierów mechaników nie mogło nie odbijać się ujemnie na ich pracy, przedewszystkiem w dziedzinie propagandowej, zmierzającej do wciągnięcia w ramy organizacyjne wszystkich inżynierów mechaników. Jakże często słyssało się zapowiedź przystąpienia do naszej organizacji z chwilą, gdy będzie ona jedyną, skupiającą inżynierów mechaników.

Otóż dziś stało się to rzeczą dokonaną. Możemy z zadowoleniem wielkim, a nawet z pewną dumą stwierdzić, żeśmy zdali egzamin dojrzałości społecznej, żeśmy umieli przełożyć dobro ogółu ponad wszystkie inne względy, żeśmy się zdobyli na wskazanie wszystkim naszym Kolegom, dotychczas jeszcze niezorganizowanym, oraz organizacjom inżynierskim innych zawodów, jedynej właściwej drogi — **jednoczenia się.**

Winniśmy szczerą wdzięczność tym wszystkim naszym Kolegom, którzy, jako przedstawiciele obydwóch stron, doprowadzili do tego zjednoczenia w naszym świecie inżynierów mechaników.

Obecnie nic nie stoi już i stać nie może na przeszkodzie do dalszego, znacznie wzmożonego dopływu nowych sił do naszej organizacji. Liczba naszych członków, która przekroczyła ostatnio cyfrę 750, jest jeszcze wciąż bardzo małą w porównaniu z tą, jaką być powinna, gdyż wynosi niespełna czwartą jej część. Musimy sobie wyraźnie powiedzieć, iż trzeba jeszcze *olbrzymiego wysiłku zbiorowego ze strony wszystkich zorganizowanych kolegów naszych*, aby dalszy rozwój Stowarzyszenia poszedł w tempie, jakiego wymaga powaga chwili i powaga naszego stanu inżynierskiego. Musimy sobie raz wreszcie wyraźnie uświadomić, że my, inżynierowie polscy, a wśród nich, my, mechanicy, mamy, a raczej powinniśmy mieć możliwość wywierania wybitnego wpływu na całość życia gospodarczego kraju. Jesteśmy bowiem uosobieniem bezinteresownej fachowości, dla której dobro kraju — jako całości — jest najwyższym prawem. Jesteśmy więc tym czynnikiem, który z natury rzeczy powołany jest do zajęcia środka między trzema czynnikami, będącymi przedstawicielami świata rządzącego, świata kapitału i świata pracy.

W ogólnym wysiłku społecznym i gospodarczym, jaki czeka nasz naród w najbliższej dobie, rola inżyniera jest olbrzymia, i to nietylko inżyniera jednostki, lecz inżyniera, jako zbiorowości, jako stanu. Musimy się więc zrzesać, musimy stworzyć za wszelką cenę tę wielką siłę społeczną, siłę twórczą, której zadaniem jest wprzęgnąć się w służbę dla dobrobytu i bezpieczeństwa Rzeczypospolitej.

Czemże usprawiedliwić tak powszechne przejawy naszej *aspoleczności*? Powszechnie skarżymy się na ciężary nas obarczające i na trudności, wynikające z rzekomo zbyt wysokich opłat członkowskich. Czy wszyscy ci Koledzy, którzy to mówią lub myślą chociażby, uważają, iż źle gospodarujemy ich pieniędzmi? Czyż nie pochwalają naszych wszystkich poczynań, całości naszej pracy społecznej? Czyż nie uważają, iż powinno być nas, inżynierów mechanicznych polskich, stać na to, aby mieć własny organ techniczno - społeczny, na wysokim utrzymanym poziomie? Jeżeli mają co w tej sprawie do nadmienienia, z wdzięcznością przyjmujemy wszelkie rady i wszelkie uwagi, czy to nadesłane wprost do władz Stowarzyszenia, czy do redakcji „Wiadomości SIMP”, czy wreszcie zgłoszone na zebraniach oddziałów.

Musimy zrozumieć, że do zmniejszenia ciężarów opłat członkowskich prowadzi jedna tylko droga: zwiększenie liczby członków. *Niech każdy z naszych członków zjedna dwóch lub trzech z pośród swych znajomych i Kolegów*, nietylko w jednym zakładzie zatrudnionych, lecz nawet zamieszkających gdzieindziej (w Polsce poczta pracuje naogół bardzo sprawnie...), a siły naszej organizacji wzmożą się wielokrotnie i w związku z tem opłaty członkowskie będą mogły zostać wydatnie zmniejszone.

Zamiast więc narzekać i zniechęcać się, rozwinijmy wszyscy żywą działalność, każdy w najszerszym możliwym dla siebie zakresie. Spiszmy nazwiska wszystkich naszych znajomych, inżynierów mechanicznych, sprawdźmy w Księdze Inżynierów, czy są członkami SIMP, zwróćmy się do nich ustnie lub listownie, zachęćmy ich do przystąpienia do naszego grona, przekonajmy ich o konieczności or-

ganizowania się i wprowadźmy ich do SIMP, jako członkowie wprowadzający. Oddamy tem organizacji duże usługi, zwłaszcza, jeżeli nie poprzestaniemy na tem tylko, lecz stale dbać będziemy o to, by w naszym życiu organizacyjnym brać żywy i czynny udział. Zarówno „Przegląd Mechaniczny”, jak „Wiadomości SIMP”, stoją otworem dla każdego, kto może wnieść na ich łamy coś pozytywnego. Wieczory referatowe w stolicy i ośrodkach prowincjonalnych są stałą trybuną wymiany myśli technicznej, w każdej miejscowości, w której przebywa choćby pięciu inżynierów mechanicznych, może powstać Koło SIMP, które stwarza pole do pracy techniczno-społecznej, a która liczyć może na najdalej idącą pomoc wszystkich organów SIMP.

Możliwości do pracy techniczno - społecznej są nieograniczone. Musimy jeno przełamać nasz bezwład, musimy się zdobyć na czyn społeczny. Spełnimy tem samem nasz najelementarniejszy obowiązek względem naszej zbiorowości inżynierskiej, obowiązek, od którego uchylić się nam nie wolno!

Zjazd delegatów NOI

I Zjazd Delegatów, będący najwyższą władzą Naczelnej Organizacji Inżynierów, odbędzie się dn. 1 grudnia 1935 r. o godz. 11 rano w sali Izby Przemysłowo-Handlowej w Warszawie. W zebraniu tem wezmą udział delegaci następujących stowarzyszeń, będących członkami NOI:

1. Związek Polskich Inżynierów Elektryków,
2. Związek Inżynierów Chemików R. P.,
3. Stowarzyszenie Inżynierów Mechaników Polskich,
4. Związek Polskich Inżynierów Kolejowych,
5. Związek Inżynierów Drogowych R. P.,
6. Zrzeszenie Społeczne Inżynierów,
7. Stowarzyszenie Architektów R. P.,
8. Polski Związek Inżynierów Budowlanych,
9. Stowarzyszenie Polskich Inżynierów Przemysłu Naftowego w Borysławiu,
10. Polskie Towarzystwo Politechniczne we Lwowie,
11. Stowarzyszenie Inżynierów w Poznaniu.

Porządek obrad przewiduje:

1. otwarcie Zjazdu,
2. wybór Prezydium Zjazdu,
3. zatwierdzenie regulaminu obrad Zjazdu,
4. program działalności NOI,
5. wybór Prezesa,
6. wybór członków Głównej Komisji Rewizyjnej,
8. uchwalenie wysokości wpisowego i składek członkowskich oraz zatwierdzenie preliminarza budżetowego do dn. 31.XII.36 r.
9. sprawy wniesione na Zjazd Delegatów przez członków NOI i delegatów.

Zgodnie ze statutem NOI, Stowarzyszenie nasze będzie reprezentowane na Zjeździe przez 15 delegatów, wybranych przez wszystkie ośrodki.

Delegaci SIMP proszeni są o przybycie w dniu 1 grudnia b. r. o godz. 8 m. 30 do lokalu SIMP (Warszawa, Czackiego 3 5 m. 22) na zebranie wstępne.

Z ŻAŁOBNEJ KARTY

Ś. p. Inż. Władysław Choniewski

W dniu 20 b. m. rozstał się z tym światem ś. p. inż. Władysław Choniewski, członek SIMP. Studja gimnazjalne ś. p. inż. W. Choniewskiego przypadły na okres walki o szkołę polską w zaborze rosyjskim. W walce tej ś. p. inż. W. Choniewski brał żywy udział i po ogłoszeniu na znak protestu bojkotu szkół rosyjskich przeniósł się do gimnazjum realnego w Sosnowcu do Krakowa. Po ukończeniu gimnazjum w Krakowie ś. p. inż. W. Choniewski, podążając za swem głębokim zamiłowaniem do pracy naukowej, poje-

chał zagranicę na studia. Zaczyna je w Politechnice w Zurychu, uzyskuje absolutorium i jedzie do Monachjum, gdzie na wydziale mechanicznym Politechniki uzyskuje w 1914 r. dyplom inżyniera mechanika i poświęca się pracy naukowej, do której czuł szczególne zamiłowanie. Pobyt swój zagranicą wykorzystuje w dalszym ciągu na studia nad językami obcymi, których doskonałą znajomość posiadał, zwłaszcza języków: francuskiego, niemieckiego, angielskiego i rosyjskiego.

Po przyjeździe do kraju zajmuje się w dalszym ciągu pracą naukową, przyczem korzystając ze swej znajomości języków obcych prowadzi studia nad prawem patentowym i pracami w tej dziedzinie, które były drugą jego specjalnością. W ciągu ostatnich 8-miu lat s. p. inż. W. Choniewski pracował w Głównym Urzędzie Miar, zajmując się oprócz tego w dalszym ciągu pracami w dziedzinie patentowej.

S. p. inż. W. Choniewski, przy swej głębokiej wiedzy i inteligencji, był człowiekiem wyjątkowo skromnym i cieszył się wśród kolegów szczerą i głęboką sympatią. W zmarłym tracimy wyjątkowo cenionego i kochanego Kolegę. Cześć Jego pamięci!

SPRAWOZDANIA

Sprawozdanie z Zebrania Organizacyjnego Oddziału Warszawskiego SIMP

Zebranie odbyło się dn. 28 października r. b. w obecności 120 członków. Obrady zajął o godz. 18-ej Prezes Zarządu Głównego SIMP, dyr. nac. W. K. Wierzejski, nawiązując do uchwalonego ostatnio statutu SIMP, którego wprowadzenie w życie wymaga m. in. utworzenia Oddziału Warszawskiego.

Oddział Warszawski obejmuje:

- a. m. st. Warszawę,
- b. miejscowości podwarszawskie,
- c. ośrodki przemysłowe, włączone terytorjalnie do Warszawy.

Na przewodniczącego zebrania wybrano p. dyr. Z. Rytla, na sekretarza — p. inż. B. Zmorzyńskiego.

Po wyborze prezydium przystąpiono do ukonstytuowania się oddziału. Z ramienia Zarządu Głównego zabrał głos p. inż. A. Stulgiński i omówił rolę i zadania Oddziału Warszawskiego, jako największego Oddziału SIMP.

Następnie Sekretarz Generalny SIMP, inż. E. Wolniewicz zapoznał zebranych z wytycznymi regulaminu Oddziału SIMP i z ramienia Zarządu Głównego zgłosił następujące wnioski:

Wniosek 1.

Zebranie organizacyjne Oddz. Warszawskiego uchwała, aby ze względu na ekonomję sił i środków na okres do Zwyczajnego Walnego Zebrania Oddz. Warszawskiego połączyć działalność wydawniczą, odczytową i finansową Oddziału z odpowiednimi agendami Zarządu Głównego SIMP.

Wniosek 2.

Zebranie Organizacyjne Oddz. Warsz. uchwała następujący ustrój Zarządu Oddziału: Prezes, 2 Wice-Prezesa, Sekretarz, Zastępca Sekretarza, Skarbnik, Zastępca Skarbnika, 5 członków Zarządu.

W głosowaniu regulamin i wnioski Zarządu Głównego zostały przyjęte.

W związku z następnym punktem porządku obrad (wybory władz) inż. Zmorzyński zgłosił wniosek następujący:

Biorąc pod uwagę:

- 1^o że obecnie wybrany Zarząd Oddz. Warsz. będzie funkcjonował tylko do najbliższego Walnego Zebrania Oddz., które musi się odbyć najpóźniej w styczniu 1936 r., a więc za 2—3 miesiące;
- 2^o że w pierwszym okresie działalności część prac Oddz. Warsz. (finanse, wydawnictwa, odczyty) przekazano Zarządowi Głównemu SIMP;
- 3^o że wreszcie w pierwszym okresie (organizacyjnym) działalności będzie pożyteczne bliskie połączenie prac Oddz. Warsz. z pracami Zarządu Głównego, —

Zebranie Organizacyjne Oddz. Warsz. prosi Zarząd Główny o pełnienie do Zwyczajnego Walnego Zebrania również funkcji Zarządu Oddziału Warszawskiego.

Wniosek ten został przyjęty bez sprzeciwu.

Po ukończeniu w ten sposób części oficjalnej zebrania nastąpiły sprawozdania z wycieczki SIMP do Belgji i Niemiec. P. inż. A. Stulgiński omówił przebieg wycieczki, ilustrując sprawozdanie przezroczami i filmami (sprawozdanie to umieszczono w Nr. 10 „Wiad. SIMP”).

Następnie p. inż. E. Wolniewicz zapoznał zebranych z wynikami wycieczki w dziedzinie nawiązania kontaktu ze Stowarzyszeniami Inżynierów belgijskich i niemieckich.

Otrzymano zapewnienie ze strony tych Stowarzyszeń, że przedstawiciele ich wezmą udział w X jubileuszowym Zjeździe SIMP.

Pozatem omówiono sprawę wymiany inżynierów z zagranicą.

Po sprawozdaniu inż. Wolniewicza wpłynął wniosek, przyjęty jednogłośnie:

Zebranie Organizacyjne wyraża zadowolenie, że SIMP nawiązał bezpośredni kontakt z FABI i VDI i prosi Zarząd o zakomunikowanie powyższego Stowarzyszeniu Belgijskiemu i Niemieckiemu.

Wolne wnioski nie wpłynęły.

Zebranie zamknięto o godz. 19 min. 50.

Sprawozdania z posiedzeń Prezydium i Zarządu Głównego SIMP

Na posiedzeniu Zarządu w dniu 10 października r. b. przyjęto 14 nowych członków zwyczajnych, omówiono nawiązanie kontaktu z zagranicznymi stowarzyszeniami technicznymi podczas wycieczki do Belgji i Niemiec, rozpatrzono sytuację finansową oraz programy działalności sekcji Warsztatowej, Metaloznawczej i Bezpieczeństwa Pracy. Omówiono prace wykonane w związku z organizacją Wystawy Przemysłu Metalowego, nad którą uzyskano protektorat Pana Prezydenta Rzeczypospolitej.

Na posiedzeniu Prezydium w dn. 17 października r. b. oprócz spraw bieżących, omawiano sprawę organizacji Oddziału SIMP w Starachowicach oraz sprawę zaległości składek członkowskich i zaległości za prenumeratę „Mechanika”. Pozatem omówiono treść najbliższego numeru „Wiadomości SIMP” i umieszczenie w nim sprawozdania z wycieczki do Belgji i Niemiec.

Na posiedzeniu Prezydium w dniu 24 października omówiono sprawę organizacji Oddziału Warszawskiego SIMP, ustalono metodę postępowania w stosunku do uporczywie zalegających ze składkami członków, omówiono sprawy Komisji Odczytowej (druk referatów i sprawozdań oraz program referatów). Omówiono możliwości wydawnictwa kalendarza technicznego oraz nowego „Mechanika” i rozpatrzono jego budżet.

Pozatem omówiono sprawę zorganizowania wycieczki na Sowińiec i rozpatrzono program Kursów Inżynierskich.

Na posiedzeniu Prezydium w dniu 31 października wybrano na delegata do Rady T. W. T. p. mjr. B. Cara, załatwiono list N.O.I. w sprawie składki, omówiono sprawę Komisji Odczytowej, sprawy organizacyjne Oddziału Warszawskiego SIMP oraz sprawę zorganizowania Koła Wychowanków Polit. Warsz. przy SIMP.

Pozatem omawiano sposoby zwiększenia liczby członków Stowarzyszenia.

Na posiedzeniu Prezydium w dniu 7 listopada omówiono sprawę wyboru delegatów na Zjazd Delegatów N.O.I., przyjęto do wiadomości stan zobowiązań i należności, sprawozdanie kasowe za miesiąc październik oraz preliminarz budżetowy na miesiąc listopad Stowarzyszenia i „Mechanika”. Pozatem rozpatrzono sprawę Komisji Odczytowej.

Na posiedzeniu Prezydium w dniu 14 listopada omawiano sprawy bieżące, przyjęto do wiadomości stan zobowiązań i należności, sprawozdanie kasowe za miesiąc październik oraz preliminarz budżetowy na miesiąc listopad „Przeglądu Mechanicznego”. Nadto przyznano niektórym członkom ulgi w placeniu składek oraz ustalono treść najbliższego numeru „Wiadomości SIMP”.

Nadzwyczajne Walne Zebranie Oddziału SIMP w Skarżysku

Dnia 11 października r. b., o godzinie 17.30, w sali Stow. „Ognisko”, odbyło się nadzwyczajne Walne Zebranie członków miejscowego Oddziału SIMP o następującym porządku obrad:

- 1) Wybory prezesa i referenta odczytowego.
- 2) Sprawy odczytowe.
- 3) Wolne wnioski.

Zebraniu, na którym było obecnych 20 członków, przewodniczył p. inż. Gokieli. Zebrani przyjęli porządek obrad bez zmian.

1. Wybory prezesa i referenta odczytowego.

Na skutek wyjazdu ze Skarżyska p. dyr. Piotrowskiego zostało opróżnione stanowisko prezesa miejscowego Oddziału SIMP, na które to stanowisko p. dyr. Szaniawski proponuje p. dyr. Jakubowskiego.

Zebrani przez aklamację przyjęli wniosek p. dyr. Szaniawskiego.

Ze względu na sprawne funkcjonowanie działu odczytowego, p. inż. Gokieli proponuje wybranie referenta odczytowego w osobie p. inż. Mickiewicza. Zebrani przez aklamację przyjmują wniosek p. inż. Gokielego.

Wobec tego skład Zarządu Oddziału przedstawia się następująco:

Prezes: dyr. inż. Wł. Jakubowski.
Wice-prezes: inż. W. Gokieli.
Sekretarz: inż. Z. Szawłowski.
Skarbnik: inż. W. Cichecki.
Referent odczytowy: inż. A. Mickiewicz.

2. Sprawy odczytowe.

P. inż. Gokieli informuje Zarząd o ustaleniu programu referatów na sezon 1935/36, który to program został przesłany do Zarządu Głównego SIMP w Warszawie i do oddziałów w Starachowicach, Radomiu i Ostrowcu.

3. Wolne wnioski.

Ponieważ wolnych wniosków nie zgłoszono, zebranie zamknięto o godzinie 17.50.

ZEBRANIA

ODCZYTOWO-DYSKUSYJNE SIMP

WARSZAWA

Dn. 21 października 1935 r.

Zebraniu przewodniczył p. dyr. inż. Jan Piotrowski, sekretarzem był p. inż. Jan Bilewski.

Pa zażegnieniu zebrania przewodniczący udzielił głosu p. inż. J. Relwiczowi, który wygłosił odczyt p. t.:

„Postęp i moda w budowie obrabiarek”.

Prelegent położył nacisk na ujawniającą się w ostatnich czasach tendencję do wprowadzania ciągłych inowacyj w budowie obrabiarek. Zdaniem prelegenta, nie wszystkie zmiany, jakie obserwujemy w budowie obrabiarek, można uważać za wyraz postępu. Wiele nowych konstrukcyj jest często stosowanych bez wyraźnej potrzeby, a jedynie dlatego, że konstrukcje te są „modne”. Modnymi konstrukcjami, zdaniem prelegenta, są przede wszystkim: napęd hydrauliczny, stosowany często bez wyraźnej potrzeby, mechanizmy do bardzo drobnych posuwów, często zupełnie zbędne, wreszcie głowice o wielkiej ilości biegów wrzeczona, niezależnie od celu, do jakiego obrabiarka ma służyć. Twierdzenie swe prelegent poparł szeregiem t. zw. modynych rozwiązań.

Po skończonym referacie wywiązała się ożywiona dyskusja, w której głos zabrali pp.: dyr. inż. Piotrowski, inż. Szymanowski i mjr. Groniowski.

Dyr. Piotrowski zgadza się w wielu wypadkach ze zdaniem prelegenta, zaznacza jednak, że często t. zw. modyne konstrukcje wynikały z istotnej potrzeby ich stosowania. Ważne jest to, by obrabiarka pozwalała na osiągnięcie najlepszych dla danego rodzaju obróbki posuwów i obrotów. Z tych względów obrabiarka przeznaczona do masowej produkcji nie potrzebuje dużej różnorodności obrotów i posuwów, albowiem optimum jest tu jedno, łatwo dające się uzyskać przy pomocy kół stopniowych pędni i maszyny. Obrabiarka zaś uniwersalna (np. frezarka) musi mieć dużą ilość różnych posuwów i obrotów, by dla każdego przedmiotu wykonywanego na niej można było szybko ustalić właściwe posuwu i obroty.

Inż. Szymanowski podkreśla, że posuwu hydrauliczne zmniejszają ilość dźwigni, a zatem i manipulacyj ręcznych przy obsłudze maszyny. Uproszczona obsługa

obrabiarki jest jedną z najważniejszych przyczyn szerokiego stosowania napędu hydraulicznego w ostatnich latach.

Inż. Groniowski wskazał na konieczność opracowania bardziej elastycznych norm odbiorczych na obrabiarki. Przyczyni się to w wielu wypadkach do potania obrabiarek.

*

Dn. 28 października 1935 r.

Program zebrania wypełnił odczyt, wygłoszony przez p. inż. Jana Obrębskiego na temat:

„Spawanie elektryczne w świetle badań mikro i makroskopowych”.

Prelegent omówił metody badań spoin: promieniami rentgenowskimi, magnetyczne, wytrzymałościowe oraz mikro i makroskopowe, a na tem tle poruszył szereg zagadnień spawania elektrycznego.

Dwie pierwsze ze wspomnianych metod są efektywne, pozwalają na badanie spoin bez ich niszczenia, lecz nie dają pewnych wyników. Wykrywają często wady (pory, sklejenia), które w rzeczywistości nie istnieją, a nie wykrywają słabizn międzykrystalitowych.

Badanie spoin przez rozrywanie próbek spawanych łatwo może dać wyniki iluzoryczne. W wypadku wyborowej spoiny, gdy tylko materiał jej jest ciągliwszy od materiału spawanego, pierwsza podda się rozciąganiu spoina — przewęzi się i zerwie. I odwrotnie, gdy spoina jest bardziej krucha i twarda, pierwszy podda się rozciąganiu materiał spawany, — przewęzi się i pęknie. Łatwo można stąd wysnuć wnioski sprzeczne z rzeczywistością.

Postępując racjonalnie, należy próbkę w spoinie zwięzić. Przewężenie i pęknięcie nastąpi wtedy tylko w spoinie, a rachunek da nam wytrzymałość spoiny. Wydłużenie natomiast można mierzyć tylko na próbkach, wykonanych całkowicie z materiału nałożonego. Rynienkę z metalu wypełniamy materiałem, układając elektrodę pasek przy pasku, i potem z tak powstałej bryły wytaczamy próbkę.

Przy tego rodzaju próbkach wielowarstwowych należy jednak brać pod uwagę kolejne wyżarzanie jednych warstw przez następne; podnosi to znacznie własności mechaniczne spoiny.

Dłużej zatrzymał się prelegent nad badaniami mikro i makroskopowymi, ilustrując swoje wywody szeregiem przezroczy.

Badania te pozwalają wniknąć w strukturę spoiny, w układ kryształów, uwidoczniają sfery wpływów poszczególnych warstw.

Po referacie nastąpiła ożywiona dyskusja.

Inż. Pilarczyk zwrócił uwagę na dodatni wpływ Mn i Si, znajdujących się w otulinie elektrody. Odtleniają one spoinę, przechodząc w postaci tlenków do żużla.

Następnie poruszył sprawę wyżarzania drutu, stosowanego na elektrody: wbrew zdaniu prelegenta, faktem jest, że drut niewyżarzony ujawnia zawsze większy rozprysk od żarzonego.

Inż. Bieliński podkreślił duże znaczenie prób udarowości, o których prelegent nie wspominał.

Inż. Kornfeld bronił badań promieniami Roentgen'a oraz polemizował z prelegentem co do ochronnej roli CO₂. Obecność CO₂ nie dowodzi jeszcze, że spoina chroniona jest od utleniania, gdyż czynnikiem niebezpiecznym jest tlen, powstały z dysocjacji. Po dyskusji zabrał znów głos prelegent, udzielając szczegółowych odpowiedzi i broniąc twierdzeń przez siebie wysuniętych.

W prezydium zebrania zasiadali pp.: dyr. M. Gutowski, jako przewodniczący, i inż. S. Szymanowski, jako sekretarz.

*

Dn. 4 listopada 1935 r.

W dniu 4.XI. 1935 r. odbyło się zebranie odczyt. dysk. SIMP, na którym inż. J. Biernacki wygłosił referat na temat:

„Projektowanie oraz wykonywanie konstrukcyj spawanych”.

Referent podzielił poruszane przez siebie zagadnienia na następujące części:

1. Spawanie tworzyw konstrukcyjnych.
2. Analiza spoiny i tworzywa.
3. Spawanie różnych rodzajów stali.

W części pierwszej referatu prelegent wskazał kilka racjonalnych sposobów spawania elementów konstrukcyjnych, (blach, prętów, rur i żelaza profilowego), poczem omówił na kilku przykładach możliwości i zakres stosowania spa-

wania w wykonywaniu części maszyn, jak: koła pasowe, zbiorniki i trójniki rur.

W części drugiej zanalizował spoinę i tworzywo pod względem termicznym i wytrzymałościowym.

W części trzeciej wykazał, jakie stale nadają się do spawania i jak należy je spawać, przechodząc od stali węglowych, poprzez wszystkie stale konstrukcyjne, kończąc na stalach kwasoodpornych i nierdzewnych.

Dyskusję otworzył przewodniczący zebrania, inż. Z. Dobrowolski, który omówił zagadnienie spawania kołnierzy rur.

Następnie inż. Wachniewski poruszył sprawę odporności na gięcie rur spawanych pod kątem. Inż. Jahnś omawiał sprawę kosztów spawania. Inż. Zieleniewski poruszył sprawę naprężeń powstających przy spawaniu i sposobów ich zmniejszenia. Inż. Maliszewski, w związku z powyższym zagadnieniem, wyraził zdanie, że naprężenia w wypadku spawania są naogół mniejsze niż przy nitowaniu.

Prelegent odpowiedział na postawione w dyskusji pytania, poczem zebranie zamknięto.

SKARŻYSKO

Dn. 1 października 1935 r.

W dniu 1.X. b. r. na terenie oddziału SIMP w Skarżysku odbył się odczyt p. inż. T. Kosiewicza p. t.:

„Organizacja i metody pracy fabryki samochodów Fiat w Turynie”.

W zebraniu, którego przewodniczącym był p. dyr. inż. W. Jakubowski, a sekretarzem p. inż. W. Cichecki, wzięło udział 28 członków SIMP i gości.

P. inż. Kosiewicz scharakteryzował na początku swego ciekawego i bogato ilustrowanego przezroczami referatu rozwój historyczny zakładów Fiat. Następnie omówił podział zakładów na poszczególne działy i scharakteryzował obecną produkcję różnych typów samochodów.

W dalszym ciągu szczegółowo opisał budynek, w którym wytwarza się samochody. Budynek ten jest zainstalowany w ten sposób, że obróbka mechaniczna ciężkich części odbywa się na parterze, poczem części i zespoły idą kolejno do góry, aż do czwartego piętra, gdzie odbywa się montaż systemem łańcuchowym; na piątym piętrze budynku mieści się tor do jazdy próbnej, podczas której można rozwijać szybkość do 100 km/godz. Z toru próbnego samochody wykonane zjeżdżają ślimakiem na dół.

Prelegent omówił następnie celowy i bardzo jasno ukształtowany podział funkcji w zakresie odpowiedzialności poszczególnych pracowników w fabryce, który uważa za wzorowy.

Fabryka samochodów Fiat stosuje przy wykonywaniu samochodów pasowania oparte na systemie stałego wałka; poza niektórymi bardziej odpowiedzialne zespoły jeszcze odpowiednio dobiera. Do wykonywania próbnych samochodów fabryka ma specjalny, oddzielony od reszty fabryki, warsztat doświadczalny.

Po odczycie wywiązała się dyskusja, w której zabierali głos pp. dyr. inż. W. Jakubowski, inż. I. Korzeniowski, inż. Tyszko i inż. Godlewski. Mówcy poruszyli wyrób narzędzi, obróbkę termiczną kół zębatych, poziom zarobków robotniczych i ruch zawodowy wśród robotników oraz stosunek procentowy w zakładach Fiat pracowników umysłowych do robotników.

*

Dn. 18 października 1935 r.

Na zebraniu został wygłoszony odczyt kol. inż. Wójcika na temat:

„Przeciąganie drutu i jego czynniki; płynięcie materiału w matrycy a jakość produktu”.

Zebraniu przewodniczył p. inż. M. Tyszko, sekretarzował p. inż. Szawłowski, obecnych było około 25 osób, — członków miejscowego Oddziału SIMP oraz gości ze Starachowic i Skarżyska.

Prelegent wyszczególnił na wstępie czynniki, wpływające na jakość przeciąganego drutu przez matrycę, mianowicie:

- 1) kąt wierzchołkowy matrycy,
- 2) zgniot,
- 3) tarcie,
- 4) szybkość przyciągania,
- 5) twardość materiału wyjściowego,

i zaznaczył, że dziś właściwie można bez wielkiego doświadczenia praktycznego, a tylko dzięki przestudowaniu

literatury w tej dziedzinie przeciągać z dobrym wynikiem.

Na tle szeregu wykresów i zdjęć fotograficznych prelegent szczegółowo omówił wpływ wspomnianych czynników, wskazując, że kąty około 10° — 12° dają najlepsze wyniki; jakość drutu zależy od stopnia zgniotu (im większy zgniot, tem większe R_p). Szybkość przeciągania wywiera wpływ przy szybkościach małych.

Następnie prelegent omówił płynięcie materiału w matryczce i na zakończenie odczytu — kruchość drutu, która jest wynikiem nieodpowiednich zgniotów i nieodpowiednich kątów matrycy.

W dyskusji, w której zabierali głos pp. Wende i Gokieli, poruszono sprawę kalibrowania i łuszczenia się drutu.

W odpowiedzi prelegent wyjaśnił, że kalibrowanie drutu, którego poprzednia obróbka nie jest znana, może dać utwardzenie powierzchniowe, b. niebezpieczne dla wytrzymałości. Przyczyny łuszczenia się drutu należy szukać już przy walcowaniu, a potem przy cięciu blach na druty.

Na tem pierwsza część zebrania została zakończona i przystąpiono do jego drugiej części, wprowadzanej odtań na stałe do programu zebrania; w tej drugiej części zebrania poszczególni sprawozdawcy będą krótko referowali najciekawsze nowości z działu przez siebie obranego. Zapoczątkowując takie referaty, p. Krynicki, jako sprawozdawca z działu ekonomicznego, poruszył parę zagadnień natury ekonomicznej w związku z przemówieniem przez radjo p. Ministra Kwiatkowskiego. Ożywiona dyskusja, jaka się wywiązała po sprawozdaniu p. Krynickiego, świadczyła o ogólnym zainteresowaniu zebranych zagadnieniami ekonomicznymi.

*

Dn. 30 października 1935 r.

Kolejne zebranie odczytowe Oddziału SIMP wysłuchało odczytu kol. inż. M. Tyszko p. t.:

„Wrażenia z wycieczki do fabryk zagranicznych, wytwarzających duże prasy mechaniczne i hydrauliczne”.

Zebraniu przewodniczył p. dyr. W. Jakubowski, sekretarzem był p. inż. Szawłowski. Obecnych było około 30 osób.

Prelegent opisał zwiedzane przez niego fabryki „Atlas” w Kopenhadze i „Eumuco” w Niemczech, w pobliżu Kolonji, poczem szczegółowo omówił (ilustrując fotografiami) produkcję tych maszyn, które prelegenta szczególnie interesowały, a więc akumulatorów hydraulicznych i pneumatycznych, pomp i pras hydraulicznych — wszystko na ciśnienie robocze 200 atm (Atlas) — oraz pras mechanicznych do tłoczenia i przeciągania skorup artyleryjskich mniejszego i większego kalibru (Eumuco).

Wspomniane przez referenta fabryki posiadają urządzenia, budynki i t. p. dalekie od nowoczesnych, jednak wyroby ich stoją na b. wysokim poziomie.

Duża specjalizacja wspomnianych firm pozwoliła na osiągnięcie tak poważnych rezultatów. Organizacja handlowa fabryk jest pierwszorzędną.

W dyskusji zabierali głos pp. dyr. inż. W. Jakubowski i ppłk. Szypowski.

*

Dn. 8 listopada 1935 r.

Zebranie wypełnił odczyt kol. inż. W. Gokieli na temat:

„Wrażenia z wycieczki do paru niemieckich i jednej belgijskiej fabryki obrabiarek oraz do fabryki „Bofors” w Szwecji”.

Zebraniu przewodniczył p. inż. M. Tyszko, sekretarzował p. inż. Szawłowski; obecnych było około 75 osób — członków miejscowego Oddziału SIMP oraz gości ze Starachowic i Skarżyska.

Prelegent omówił najpierw kierunki, w jakich następuje obecnie rozwój obrabiarek produkcyjnych i narzędziowych, poczem szczegółowo opisał zwiedzane przez niego fabryki oraz najciekawsze wytwarzane przez nie obrabiarki.

Omówił przytem prace następujących fabryk: Progrès Industriel w Brukseli, Karlsruher Industrie-Werke w Karlsruhe, Hahn und Kolb w Esslingen pod Stuttgartem, Kärger w Berlinie, Lindner w Wittenau pod Berlinem oraz Loewe w Berlinie.

W dyskusji po odczycie zabierali głos pp. inż.: St. Horodecki, T. Jakubowski, B. Hackiewicz i P. Wrzosek.

Z powodu późnej godziny, druga część odczytu, t. j. opis fabryki „Bofors” w Szwecji, przełożono na następne zebranie.

PROGRAM ZEBRAŃ ODCZYTOWO-DYSKUSYJNYCH SIMP

- 2.XII. 1935 r. Inż. A. Mazurkiewicz: Organizacja bezpieczeństwa pracy w krajach zachodniej Europy.
9.XII. 1935 r. Inż. J. Tuszyński: Nowe drogi w dziedzinie paliw lotniczych.
16 XII. 1935 r. Inż. S. Nowkuński: Nowe kierunki w budowie silników lotniczych.

Następne zebranie odczytowe SIMP odbędzie się dopiero dnia 13.I. 1936 r. W tym dniu p. inż. L. Krauze wygłosi referat, otwierający cykl, poświęcony zagadnieniu tworzyw zastępczych.

INFORMACJE

Poniżej podajemy do wiadomości członków SIMP zgłoszone do Sekretariatu w akujące posady:

Institucja wojskowa poszukuje dwóch inżynierów: inżyniera mechanika, o ile możliwe z praktyką w dziale wyrobu broni, oraz inżyniera metalurga. Pożądana, oprócz wiedzy fachowej, znajomość zasad kalkulacji przemysłowo-handlowej.

Interesujący się powyższą posadą proszeni są o zgłoszenie się do Sekretariatu SIMP.

*

Centrum Wyszkolenia Lotnictwa poszukuje młodego inżyniera mechanika z grupy lotniczej do zajęcia w warsztatach w jednym z miast prowincjonalnych. Szczegóły — w Sekretariacie SIMP.

*

Fabryka maszyn na prowincji poszukuje (narazie na okres 4 mies.) inżyniera lub technika z praktyką w zakresie konstrukcji obrabiarek. Oferty należy kierować za pośrednictwem Sekretariatu SIMP.

WIADOMOŚCI OSOBISTE

Nowoprzybyli członkowie SIMP:

- Arkuszewski Mieczysław, Lubicz, p. Szczerców.
Batawia Henryk, W-wa, Pl. Żelaznej Bramy 8 m. 26.
Bednarczyk Emil, Dziedzice, Kościuszki 300.
Bogusławski Stanisław, Poznań, ul. Ogrodowa 11.
Bornstein Jakób, W-wa, Marszałkowska 90.
Bydliński Kazimierz, Dziedzice, Walcownia Metali, S. A.
Czechowicz Antoni, Dziedzice, Walcownia Metali, S. A.
Cętar Franciszek, W-wa, Mochnackiego 4 m. 8.
Czczott Otton Albert, W-wa, Targowa 70 m. 103.
Czarnecki Piotr, Poznań, Skarbowa 5 m. 6.
Deloff Jerzy, W-wa, Sienna 69 m. 45.
Duchniewski Stefan, W-wa, Sienna 72 m. 9.
Duniewicz Wiktor, W-wa, Al. 3-go Maja 2 m. 127.
Dymecki Jan Lech, W-wa, Grochowska 46 m. 4.
From Bolesław, W-wa, Wawelska 78 m. 9.
Gayczak Stanisław, Poznań, Rolna 19 m. 5.
Golanowski Henryk, W-wa, Wolska 53 m. 49.
Gołębiowski Edward, W-wa, Złota 38 m. 8.
Górecki Józef, Nowy Bytom, Huta Pokój.
Grosser Eugeniusz, Rzeszów — Parowozownia.
Gutowski Wacław, Wielkie Hajduki, Kolejowa 17.
Holenderski Tadeusz, W-wa, Leszno 67 m. 4.
Hrobni Florjan Stanisław, Głowno k/Łowicza, Fabryka „Norblin”. M. S. D. Oddz. VI a.
Jabłoński Lesław, W-wa, Skierniewicka 27/29.
Jagiełłowicz Piotr, Chorzów, Huta Piłsudski.
Jahns Artur, Katowice, Jagiellońska 16 m. 8.
Jarmicki Zygmunt, W-wa, Krucza 42 m. 14.
Jastalski Stanisław, Brześć n/Bugiem — Parowozownia.
Jungier Mieczysław, W-wa, Złota 36 m. 23.
Kamiński Erwin, Głowno k/Łowicza, Fabryka „Norblin”.
Kistelski Leszek, Starachowice, skr. poczt. 8.
Koliński Zbigniew, Łódź, Srebrzyńska 23 m. 47.
Kosewski Eugeniusz, W-wa, Al. Jerozolimskie 93 m. 33.

- Kościcz Stanisław, W-wa, Piusa XI Nr. 47-a m. 8.
Kowalski Adam, W-wa, Chmielna 50.
Kowalski Antoni, Poznań, Niegolewskich 12 m. 4.
Krawczyński Tadeusz, W-wa, Wspólna 17 m. 6.
Księżycy Tadeusz, Starachowice — Hotel Fabryczny.
Kurylas Stefan, W-wa, Hoża 25 m. 7.
Langier Jan, Gołębki p. Włochy, ul. Wiejska 3.
Landau Marja, W-wa, Chocimska 17.
Landau Juliusz, W-wa, Chocimska 17.
Lande Henryk, W-wa, Złota 47 m. 4.
Lech Franciszek, Dziedzice, Mickiewicza 269.
Lubiński Zygmunt, W-wa, Klonowa 5 m. 39.
Lubowicki Zygmunt, W-wa, Sienna 23 m. 7.
Łobocki Aleksander, W-wa, Madalińskiego 42 m. 16.
Małewski Michał, W-wa, Orzechowska 4 m. 7.
Markowski Władysław, Poznań, Lodowa 3.
Mielczarek Stefan, Lublin, Pierackiego 3, m. 22.
Minkiewicz Józef, W-wa, Madalińskiego 91.
Niesyt Jan, Dziedzice, Staszica 136.
Oliński Alojzy, W-wa, Skorupki 5 m. 3.
Orgelbrand Bolesław, Poznań, Matejki 44 m. 5.
Pankiewicz Henryk, W-wa, Chmielna 18 m. 15.
Pawłowicz Władysław, W-wa, Wilcza 28 m. 9.
Podbielski Hieronim, W-wa, Grójecka 39 m. 139.
Prokofjew Jakób, W-wa, Konwiktorska 5 m. 10.
Przanowski Stefan, W-wa, Al. Ujazdowskie 36.
Rozkowski Jerzy, Zawiercie, Paderewskiego 59.
Rzepko-Łaski Jan, Anin p/Warszawą, Al. Krakowska 8.
Rudnicki Władysław, Poznań, Górna Wilda 107 m. 8.
Sobczak Kazimierz, Katowice, Opolska 11, Stow. Doz. Kot-
łów.
Strzeńniewski Lucjan, W-wa, Służewska 5 m. 13.
Szałajko Jan, Poznań, Składowa 12 m. 3.
Szawłowski Kazimierz, Poznań, Kręta 6 m. 6.
Sperling Władysław, W-wa, Mazowiecka 16.
Szulc Józef, Poznań, Słowackiego 42, III p.
Szyller Jan, W-wa, Grotgiera 17 m. 2.
Szwejkowski Janusz, Przemyśl, Dworskiego 45.
Syski Henryk, W-wa, Koszykowa 69 m. 3.
Świątkowski Zdzisław, W-wa, Puławska 39 m. 32.
Tarwacki Jan, Katowice, Huta Baildon.
Trepka Nekanda Leszek, Nowy Dwór — Stocznia Modlińska.
Troniewski Zygmunt, W-wa, Czerniakowska 204 m. 35.
Usakiewicz Stanisław, Chorzów I, Katowicka 35 m. 7.
Wardaszk Wacław, W-wa, Al. 3-go Maja 2 m. 58.
Wiszniewski Tadeusz, W-wa, Krasińskiego 21 m. 28.
Witkowski Stefan, W-wa, Żulińskiego 4 m. 6.
Wolanowski Ludwik, W-wa, Gliniana Nr. 5.
Wolanowski Marcei, W-wa, Prózna 14.
Wróblewski Stefan, Katowice 4, Chorzowska 68.
Zalesiński Edward, Dziedzice, Walcownia Metali, S. A.
Zawadzki Marcei, W-wa, Akademicka 5.
Zemła Bronisław, W-wa, Dworska 25 m. 7.
Zwiagin Sergiusz, W-wa, Szopena 6 m. 9.
Żółtowski Kazimierz, W-wa, Dzielna 82.
Zuczkiewicz Stanisław, W-wa, Mickiewicza 4 m. 17.

Członkowie wspierający:

Do grona członków wspierających zostały przyjęte następujące firmy:

- „Huta Pokój”, Śląskie Zakłady Górniczo-Hutnicze, Sp. Akc., Katowice, Zamkowa 3.
Norblin, Bracia Buch i T. Werner, Sp. Akc., Warszawa, Żelazna 51.
Zakłady Amunicyjne „Pocisk”, Sp. Akc., Warszawa, Mińska 25.

Skreśleni z listy członków SIMP:

Utracili prawa członkowskie zgodnie z § 17 p. 1 Statutu SIMP pp. inż. inż.:

- Acht Wincenty, Radom.
Fuchs Zygmunt, Lwów.
Michalewski Stefan, Siemianowice.

Zgodnie z § 17 p. 2 pp. inż. inż.:

- Komierowski Piotr, Warszawa.
Kozłowski Marjan, Ursus.
Kowalewski Roman, Warszawa.
Kurman Mieczysław, Warszawa.

PODZIĘKOWANIE

Zarząd Główny SIMP pozwala sobie na tem miejscu wyrazić gorące podziękowanie nast. Kolegom:

Dobrowolskiemu Zygmuntowi,
Hackiewiczowi Bronisławowi,
Moszyńskiemu Wacławowi,
Osce Edmundowi,
Stułgińskiemu Aleksandrowi,
Tyszcze Mieczysławowi,
Wójcikowi Andrzejowi,

LISTA INŻYNIERÓW**MECHANIKÓW POLSKICH** Nr. 7

W wyniku żmudnej i długotrwałej pracy grupy naszych kolegów w łonie Komisji Administracyjnej SIMP udało się zebrać kilkaset adresów inżynierów mechaników, wraz z danymi o ich studiach i pracy. Dane te były — w miarę ich opracowywania — ogłaszane na naszych łamach, a następnie ukazały się w wydanej na IX Zjazd IMP „Księżce Inżynierów Mechaników Polskich”.

Poniżej zebrana dotąd lista inżynierów mechaników polskich (należących do SIMP i nie należących do tej organizacji), aczkolwiek zawiera już ok. 1500 nazwisk, nie obejmuje bynajmniej ogółu osób przynależnych do tej grupy inżynierskiej, SIMP prowadzi nadal prace nad wydobyciem danych o pozostałych, nieznanych jeszcze inżynierach mechaników polskich. Dane te będą stopniowo ogłaszane w „Wiadomościach SIMP”, tworząc materiał uzupełniający „Księgę IMP” do czasu ukazania się jej drugiego wydania.

Poniżej rozpoczynamy druk tej listy uzupełniającej.

1. Baranowski Michał, Starszy Odbiorca Techn. Węgla Ministerstwa Komunikacji. Katowice, ul. Głiwicka 12 m. 14, r. ur. 1879, Inst. Techn. w Petersburgu, Wydz. Mechan., r. uk. 1902.
2. Buczyński Włodzisław, Referendarz DOKP Wydz. Mech., Katowice, ul. Słowackiego 41/43 m. 22, r. ur. 1879, Inst. Techn. w Petersburgu, Wydz. Mech., r. uk. 1914.
3. Ciechanowicz - Lewkowicz Wanda, Biblij. Techn. Państw. Zakł. Inż.-Fabr. Metal., Ursus, Milanówek, ul. Skargi 8, Polit. Warszawa, r. uk. 1935.
4. Czajkowski Teodor, Kier. Biura Techn. Państw. Monopoli Spirytusowego, Warszawa, Inflancka 1, r. ur. 1890, Inst. Mech. i Elektrot. w Nancy, Wydz. Mech.
5. Czaykowski Jan, Inż. Ruchu Maszyn. kop. Andaluja, Brzeziński Śląskie, r. ur. 1908, Polit. Związkuwa w Zurychu, Wydz. Bud. Maszyn, r. uk. 1931.
6. Czechowicz Jarosław, Odbiorca Techn. Węgla Ministerstwa Komunikacji, Katowice, ul. Słowackiego 41, r. ur. 1888, Inst. Techn. w Charkowie, Wydz. Mech., r. uk. 1910.
7. Czechowski Jarosław, Radca-Kier. Fabrykacji Warsztatów Portowych Marynarki Wojennej, Pińsk, ul. Franciszkańska 8, r. ur. 1893, Polit. Kijowska, Wydz. Mech., r. uk. 1920, Polit. Warszawska, r. uk. 1921.
8. Dems Alfred, Fabryka Maszyn i Odlewni Żelaza Müller i Seidel w Łodzi, Łódź, ul. St. Zeromskiego 96, r. ur. 1906, Polit. w Gdańsku, r. uk. 1933.
9. Dębski Edmund, Dyrektor Zakładów Tow. Akc. Zawiercie, Zawiercie, ul. Szymańskiego 14, r. ur. 1887, Polit. Lwowska, r. uk. 1912.
10. Dybowski Jan, Radca Ministerstwa Komunikacji, Warszawa, ul. Żorawia 42 m. 15, r. ur. 1878, Inst. Morski Inżynierów, r. uk. 1902.
11. Głowacz Jan, Kontroler służby mechanicznej Polskich Kolei Państwowych, Tarnowskie Góry, ul. Hutnicza 7, Polit. Lwowska, Wydz. Mech., r. uk. 1930.
12. Hentschel Otton, Fabryka Maszyn i Odlewni Żelaza Müller i Seidel w Łodzi, Łódź, ul. St. Zeromskiego 96, r. ur. 1901, Polit. w Gdańsku, r. uk. 1926.
13. Hoffman Eugenjusz, Kier. Działu Zakupów w Wydz. Zasobów Dyrekcji Okręg. Kolei Państw., Katowice, ul. Opolska 5, r. ur. 1883, Inst. w Altenbergu, r. uk. 1905.
14. Hoyer Henryk, Asystent Inst. Metalurgji i Metaloznawstwa Pol. Warsz., Warszawa, Al. Frascati 10, r. ur. 1904, Polit. Lwowska, Wydz. Mechan., r. uk. 1934/35.
15. Ignatowicz Stanisław, P. K. P. Kraków—Płaszów, Parowozownia, r. ur. 1908, Polit. Lwowska, r. uk. 1934.
16. Kliem Adolf, Zastępca Kier. Działu Wagonowego DOKP Katowice, ul. Wojewódzka 22 m. 3, r. ur. 1891, Polit. Lwowska.
17. Kordulasiński Andrzej, Naczelnik Oddziału Mechanicznego Polskich Kolei Państw., Tarnowskie Góry, ul. Nakielska 8, r. ur. 1899, Polit. Warszawska, r. uk. 1928.
18. Kulicki Józef, Naczelnik Służby Mechanicznej DOKP, Katowice, Plac Wolności 10a, r. ur. 1888, Polit. w Kijowie Wydz. Mech.
19. Kwiatkowski Aleksander, Odbiorca Techn. Węgla Ministerstwa Komunikacji, Katowice, ul. Głiwicka 12 m. 15, Polit. w Piotrogradzie, r. uk. 1917.
20. Langier Franciszek Jan, Kierownik Biura Fabrykacji Sp. Akc. Lilpop, Rau i Loewenstein, p. Włochy-Gołąbki, r. ur. 1901, Polit. Lwowska, Wydz. Mechan., r. ur. 1926.
21. Łazarewicz Roman, Z-ca Naczelnika Warsztatów P. K. P., Katowice, ul. Słowackiego 41/43 m. 26, r. ur. 1887, Polit. Lwowska, r. uk. 1912.
22. Olpiński Tadeusz Jul. Winc., Asystent Lab. pomocy ścisłych P. W. U., Warszawa, ul. Leszno 20 m. 1, r. ur. 1909, Polit. Warszawska, Wydz. Mech., r. uk. 1932.
23. Paczkowski Stefan, Naczelnik Służby Zasobów P. K. P., Katowice, ul. Kościuszki 50 m. 8, r. ur. 1883, Wyższa Szkoła Budowy Maszyn w Kolonji, r. uk. 1906.
24. Pawłowski Wiktor, Naczelnik Oddz. Mechan. DOKP Rybnik. Rybnik, ul. Kościuszki 60, r. ur. 1878, Inst. Technolog. w Petersburgu, r. uk. 1902.
25. Piętka Jan, Dyrekcja Okręgowa Kolei Państw., Katowice, ul. Słowackiego 41 m. 20, r. ur. 1885, Instytut Technolog. w Charkowie, r. uk. 1912.

„Przegląd Mechaniczny” wychodzi 2 razy mies. Przedpłata w kraju (z przesyłką): kwart. zł. 10, półr. zł. 20, roczna zł. 40, zagr. (z przesyłką) zł. 60 rocznie
Ceny ogłoszeń podaje Administracja na żądanie.

Wydawca: STOW. INŻ. MECH. POLSKICH
Redaktor odp. Inż. CZESŁAW MIKULSKI, SIMP

Adres Administracji: Warszawa, ul. Czackiego 3 (gmach Stow. Techn.) m. 22, telefon 281-85
Redakcja: (Czackiego 3/5 m. 22) otwarta codziennie od godz. 12-ej do 13-ej (telefon 244-78)

Sp. Akc. Zakł. Graf. „Drukarnia Polska”, Warszawa, Szpitalna 12, telefony: 272-06, 587-98, w dzierżawie Spółki Wydawniczej Czasopism Sp. z o. o.